

LA ROCA DELS BOUS

(CAMARASA, LA NOGUERA)

Memòria campanya 2001

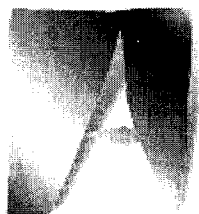
Direcció:

Rafael Mora Torcal
Jorge Martinez Moreno
Ignacio de la Torre Sainz

Autors:

Elisa Bertràn Bellido
Joel Casanova Martí
Jorge Martínez Moreno
Rafael Mora Torcal
Jezabel Pizarro Barberà
Alberto Sánchez Cerrato
Ignacio de la Torre Sainz

Universitat Autònoma de Barcelona, Octubre 2001



**Universitat
Autònoma
de Barcelona**

LA ROCA DELS BOUS

(CAMARASA, LA NOGUERA)

Memòria campanya 2001

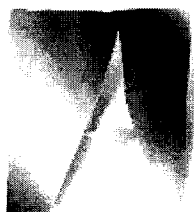
Direcció:

Rafael Mora Torcal
Jorge Martinez Moreno
Ignacio de la Torre Sainz

Autors:

Elisa Bertràn Bellido
Joel Casanova Martí
Jorge Martínez Moreno
Rafael Mora Torcal
Jezabel Pizarro Barberà
Alberto Sánchez Cerrato
Ignacio de la Torre Sainz

Universitat Autònoma de Barcelona, Octubre 2001



**Universitat
Autònoma
de Barcelona**

Índex

1. Les excavacions del 2001 a la Roca dels Bous	4
1.1. <u>Introducció</u>	4
1.2. <u>Objectius</u>	5
1.3. <u>Metodologia</u>	5
2. Excavacions a l'àrea dels "S"	6
2.1. <u>Introducció</u>	6
2.2. <u>Estratigrafia: Descripció de la Secció Est</u>	7
2.3. <u>Els materials arqueològics</u>	9
2.4. <u>Estructura de combustió S3E2</u>	11
2.5. <u>Conclusions</u>	11
3. Excavacions a l'àrea dels "R"	14
3.1. <u>Introducció</u>	14
3.2. <u>Materials arqueològics</u>	15
3.3. <u>Plantes i seccions</u>	15
3.4. <u>Estructures de combustió</u>	17
3.4.1. Estructura de combustió R8E3	19
3.4.2. Estructura de combustió R8E4	20
3.4.3. Estructura de combustió R8E5	20
3.4.4. Estructura de combustió R8E6	21
3.4.5. Estructura de combustió R8E8	23
3.5. <u>Conclusions</u>	23
4. <u>Treballs al testimoni: unitats arqueològiques documentades</u>	26
4.1. <u>Introducció</u>	26
4.2. <u>Estratigrafia de la zona del Testimoni</u>	27
4.3. <u>Unitat Arqueològica N8</u>	29
4.4. <u>Unitat Arqueològica N9</u>	31
4.5. <u>Unitat Arqueològica N10</u>	33
5. <u>Sondeig 1 (Pit 1)</u>	37
5.1. <u>Introducció</u>	37
5.2. <u>Estratigrafia Nord del Pit 1</u>	40
5.3. <u>Nivells arqueològics</u>	42
5.4. <u>Conclusions</u>	42
6. <u>Conclusions</u>	43
6.1. <u>Valoració dels treballs realitzats</u>	43
6.2. <u>Objectius per les properes campanyes</u>	44
7. <u>Bibliografia</u>	45
Annex 1: Base de Dades	46

Índex de figures

Figura 1. 1.-Planta del jaciment de la Roca dels Bous, on es poden apreciar les diferents àrees intervingudes a les excavacions anteriors a l'any 2001.....	4
Figura 2. 1.-Dispersió en planta dels coordenats dels UA S2 (vermell) i S3 (negre).....	6
Figura 2. 2.-Secció transversal dels materials coordinats als UA S2 (vermell) i S3 (negre) on s'observa la pendent cap a l'Est que caracteritza els nivells documentats en aquesta àrea.....	7
Figura 2. 3.-Secció sagital dels materials coordinats als UA S2 (vermell) i S3 (Negre).	7
Figura 2. 4.- Secció Est on es pot observar la posició estratigràfica de les diferents unitats arqueològiques documentades (Casellas et alii, 1992)	8
Figura 2. 5.-Planta del fogar S3E2. En taronja la Planta final, corresponent a l'àrea de combustió, en transparent la planta inicial.	11
Figura 2. 6.- Dispersió de S3 amb els grans clasts i el fogar S3E2.	12
Figura 2. 7.- Bloc diagrama de la topografia de la base de S3 amb la dispersió de coordenats (vermell) i el fogar (blau).....	13
Figura 3. 1.- Localització en planta de la Unitat Arqueològica R8 en relació amb la resta d'àrees excavades.....	14
Figura 3. 2.- Planta amb la dispersió de coordenats de R8.....	16
Figura 3. 3.- Secció transversal de tots els objectes coordinats a la unitat arqueològica R8 a la campanya del 2001.....	16
Figura 3. 4.- Secció sagital de tots els objectes coordinats a la unitat arqueològica R8 a la campanya del 2001.....	17
Figura 3. 5.- Els fogars de R8.....	18
Figura 3. 6.- Secció transversal dels fogars de R8. Part de l'estructura E8 es superposa a E3 per l'efecte pendent de la variable oculta, però es situa estratigràficament por sota de forma clara	18
Figura 3. 7.- Esquema de la posició relativa dels fogars de R8, secció transversal.....	19
Figura 3. 8.-Planta inicial i final del fogar E3.	19
Figura 3. 9.- Planta inicial i final del fogar E4.	20
Figura 3. 10.- Planta inicial i final del fogar E5.	21
Figura 3. 11.- Posició de E6 respecte a E4 i E5.	21
Figura 3. 12.-Secció transversal de la morfologia de les estructures E5, E6 i E4.	22
Figura 3. 13.- Secció sagital de les estructures E4 i E6.....	22
Figura 3. 14.- Planta inicial y final del fogar E6.	22
Figura 3. 15.- Planta inicial i final del fogar E8.	23
Figura 3. 16.- Planta de dispersió dels coordenats de R8, junt als fogars identificats a la campanya del 2001.....	24
Figura 3. 17.-Bloc diagrama de la unitat arqueològica R8 sobre la base del nivell. S'observa la concentració de materials al voltant de la cubeta natural.	25
Figura 4. 1.- Localització de l'àrea del testimoni de la Roca dels Bous.	26
Figura 4. 2.- Situació de les unitats arqueològiques del testimoni excavades al 2001.	26
Figura 4. 3.- Secció transversal de tots els coordenats del Testimoni anteriors a la campanya del 2001 (en negreta) i pertanyents a la present excavació (vermell, blau i verd).....	27
Figura 4. 4.- Estratigrafia de la Secció Oest del Testimoni	28
Figura 4. 5.- Planta de dispersió de N8.	29
Figura 4. 6.- Secció transversal de N8. Els materials dispersos en les cotes més altes hauran d'adscriués junt a 11B a un nivell diferent del que suposa N8.....	30
Figura 4. 7.- Secció transversal de N8 respecte als materials de N9.....	30
Figura 4. 8.- Planta, secció transversal (O-E) i sagital (S-N) dels materials de N9.....	32
Figura 4. 9.- Planta de dispersió de N10.	33
Figura 4. 10.- Secció transversal del nivell 10, 82600-82700 de Y variable oculta	35
Figura 4. 11.- Delineació de la secció sagital del Nivell-10.....	35
Figura 5. 1.- Planta de Pit 1 en relació amb les unitats arqueològiques principals de l'abric (objectes coordinats al 2001).....	37
Figura 5. 2.- Secció transversal de Pit 1 en relació amb les cotes de profunditat dels nivells principals de l'abric, R8 i S3 (objectes coordinats al 2001).....	38
Figura 5. 3.- Secció sagital de les unitats arqueològiques del Pit 1.....	39
Figura 5. 4.- Planta dels coordenats del Pit 1	39
Figura 5. 5.- Esquema de la estratigrafia del Pit 1.....	41

Índex de Taules

Taula 2. 1.-Material arqueològic documentat al S1 durant la campanya del 2001	9
Taula 2. 2.- Percentatges dels materials de S2 de la campanya del 2001	10
Taula 2. 3.- Percentatges dels materials coordinats al S3 durant la campanya del 2001	10
Taula 3. 1.- Recomptes dels materials coordinats a R8.....	15
Taula 4. 1.- Freqüències dels objectes coordinats en N8.....	31
Taula 4. 2.-Freqüències dels objectes coordinats en N9.....	32
Taula 4. 3.- Taula de freqüències absolutes i relatives del Nivell-10.....	34
Taula 5. 1.- Límits de la quadrícula de Pit 1.....	38
Taula 5. 2.- Recomptes d'objectes coordinats al Pit 1.....	42
Taula 6. 1.- Recomptes de coordinats de totes les unitats arqueològiques estudiades a la campanya del 2001.....	43

1. Les excavacions del 2001 a la Roca dels Bous

1.1. Introducció

El jaciment de Paleolític mig de la Roca dels Bous es troba al terme de Sant Llorenç de Montgai (Camarassa, Lleida), a l'anomenat Cingle de la Cascalda, situat a pocs metres per sobre del riu Segre. El jaciment es situa al quadre latitudinal 817 i en el longitudinal 976, segons la projecció UTM Helicoide Hayford del Servei Cartogràfic de l'Exercit, a escala 1: 50.000 amb la referència L'Artesa del Segre 33-13 (328).

Des de l'any 1994 no s'havia tornat a realitzar treballs de camp al jaciment, a excepció d'una petita intervenció de protecció de l'abric a la primavera del 2001, a la qual es va netejar i cobrir les àries excavades, donat que presentaven un pèssim estat de conservació. Aquesta campanya de neteja era molt necessària ja que, degut a la inexistent protecció del jaciment, l'abric és freqüentment objecte d'un ús indegut (realització de fogars, menjars, etc.)

Reemprendre l'excavació suposà elaborar un estat de la situació del mateix. A campanyes anteriors es realitzaren intervencions arqueològiques a tres àrees diferents identificades com S, R, i Testimoni (Figura 1.1). Durant aquestes excavacions s'havia treballar per avaluar la potencialitat del jaciment, però no fou possible establir la correlació estratigràfica i arqueològica dels nivells.

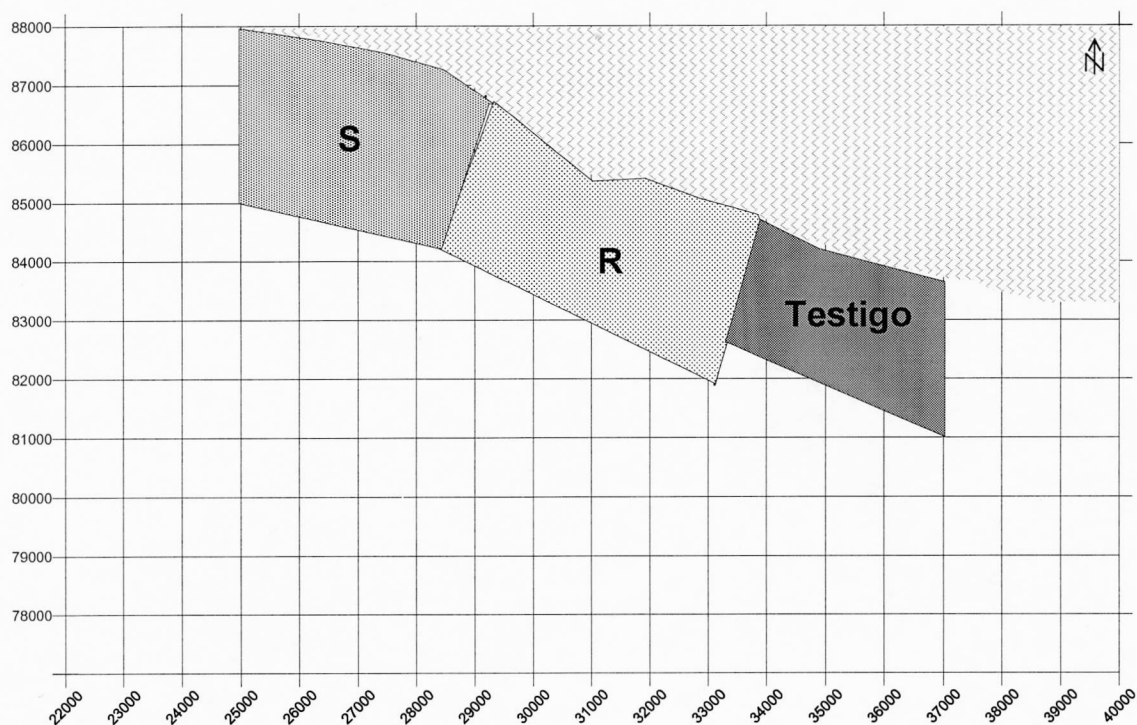


Figura 1. 1.-Planta del jaciment de la Roca dels Bous, on es poden apreciar les diferents àrees intervingudes a les excavacions anteriors a l'any 2001.

1.2. Objectius

Per tot això, ens plantejarem com a un dels primers objectius establir les correlacions estratigràfiques i, en el seu cas, arqueològiques de les diferents unitats que s'havien identificat a les campanyes prèvies. A més, algunes unitats arqueològiques no havien estat excavades en la seva totalitat, per tant es feia necessari seguir intervenint en les mateixes.

La extensió cap a la pendent de l'abric sempre ha estat una de les preocupacions que ha guiat els treballs de camp. Per aquest fet, l'altre gran objectiu que ens vam plantejar per a la campanya del 2001 fou dur a terme sondeigs a la pendent, per tal de confirmar la potència estratigràfica i arqueològica que presenta el jaciment de la Roca dels Bous.

Aquests són els objectius que han guiat els treballs de camp realitzats durant els mesos d'agost i setembre del 2001, duts a terme per l'equip de la UAB que des de fa més d'una dècada manté com a línia prioritària l'estudi dels grups humans que habitaren la Roca dels Bous durant el paleolític mitjà.

1.3. Metodologia

Gràcies al sistema de la estació total i la quadrícula virtual que s'emplenà per treballar al jaciment, la dinàmica de l'enregistrament de dades permet coordinar ràpidament qualsevol resta arqueològica. Això, juntament amb la necessitat de posicionar la major part dels objectes per tal de poder observar correctament la delineació de les unitats, van conduir-nos a prendre la decisió de coordinar totes les restes arqueològiques observables, inclòs els milimètrics.

La preocupació per recuperar tots els materials arqueològics ens ha portat a utilitzar un rigorós sistema de rentat de sediments. Tot el sediment recollit fou passat per una malla de 5 mm.. Però, a més, els nivells més rics del jaciment (N10 i R8) foren també cribats amb aigua; es separava la fracció gruixuda amb la malla de 5 mm, es recollia en bosses el sediment fi i, es cribava després amb aigua utilitzant una malla de 5 mm. Gràcies a aquest sistema, s'han pogut recuperar inclòs les restes de talla més diminutes i petites esquitlles òssies.

Per últim, cal esmentar que s'han pres mostres de sediments per a la realització de diferents analítiques, tant dels nivells més importants (R8 i N10) com dels fons de varis dels fogars recuperats.

2. Excavacions a l'àrea dels "S"

2.1. Introducció

Durant els treballs d'excavació duts a terme a la Roca dels Bous aquest present any, s'ha excavat en la seva totalitat les unitats arqueològiques S2 i S3, que ocupen una àrea aproximadament de 14 m² compresa entre els quadres 25500/29000-85000/88000.

La darrera intervenció en aquesta zona fou al 1991. L'objectiu d'aquella campanya era la millora del coneixement dels nivells inferiors del jaciment i per això, es varen excavar completament les unitats estratigràfiques S1 i S2, deixant la zona en estèril, excepte al sector D del quadre 26000-86000, on es realitzà un sondeig per tal de comprovar que la unitat arqueològica S2 estava realment exhaurida. Es documentà per primera vegada el nivell arqueològic S3 que coincidia amb la profunditat de la línia de cendres que s'observà al quadre 25000-87000 per sota del fogar de S2 (Casellas et alii, 1992).

Per tant, en aquesta campanya vam decidir re-emprendre els treballs en aquesta àrea per poder saber si el que s'havia considerat un nou nivell arqueològic ho era en realitat i, si ho era, veure si seguia la mateixa dinàmica que els altres dos nivells observats anteriorment en aquesta zona.

En aquesta intervenció s'ha excavat el que quedava del S1 a la banda Nord de l'àrea, la base de S2 i la totalitat del S3. Pel que fa al S3, té una potència mitja d'uns 15 cm.

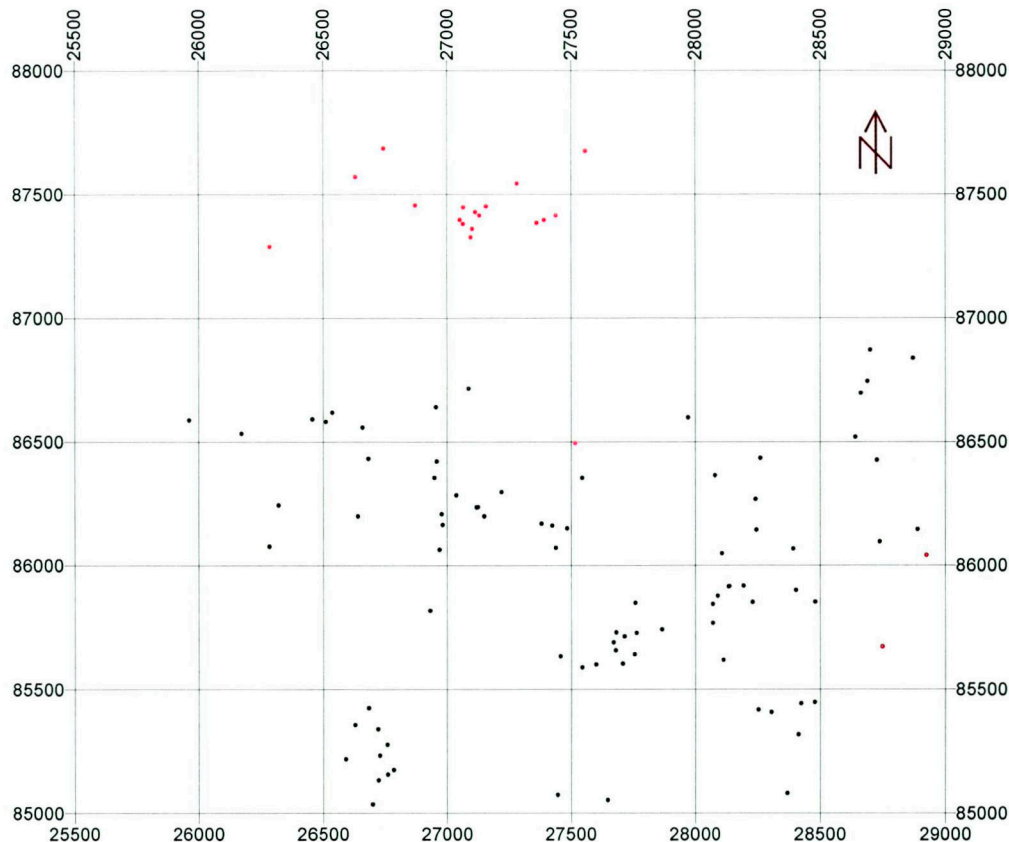


Figura 2. 1.-Dispersió en planta dels coordenats dels UA S2 (vermell) i S3 (negre).

Tot i que a la campanya del 1991 s'havia deixat tota la zona a estèril (Casellas et alii, 1992) es van documentar algunes peces que es van adscriure a la base de S2. Després d'aquests primers treballs es va començar a excavar S3 en tota la seva extensió seguint els nivells naturals i coordinant la totalitat de les restes per tal de poder delimitar el nivell amb un major grau de fiabilitat.

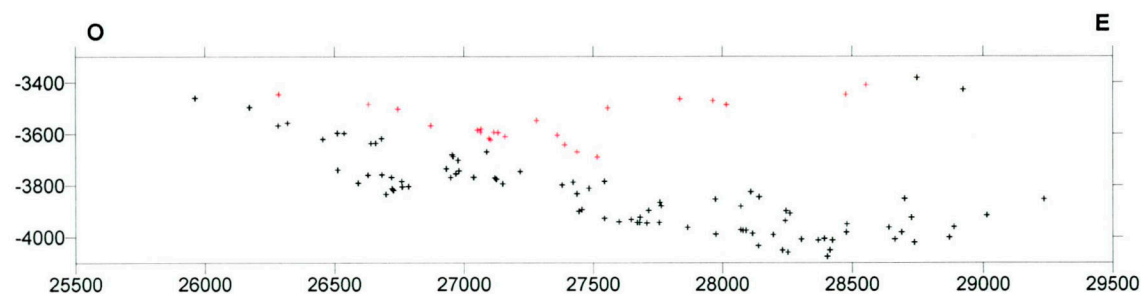


Figura 2. 2.-Secció transversal dels materials coordinats als UA S2 (vermell) i S3 (negre) on s'observa la pendent cap a l'Est que caracteritza els nivells documentats en aquesta àrea

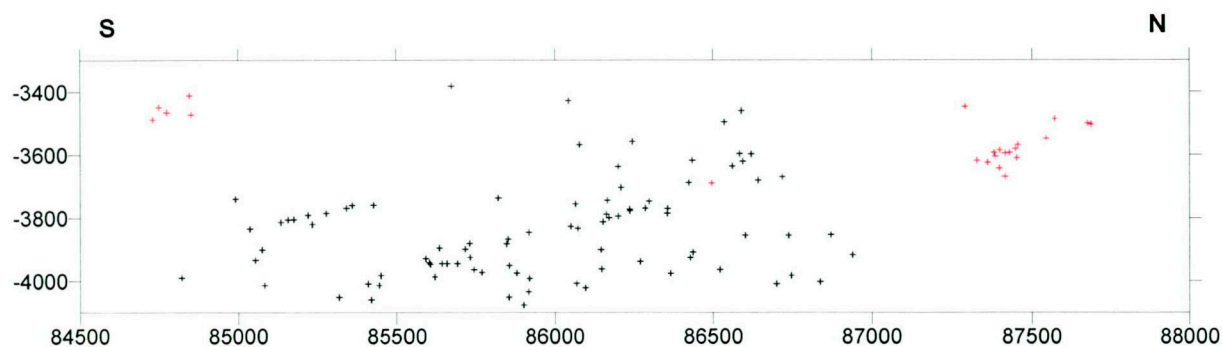


Figura 2. 3.-Secció sagital dels materials coordinats als UA S2 (vermell) i S3 (Negre).

Com es pot veure en aquestes dues seccions, el S3 té una densitat relativament baixa, uns 87 efectius, però s'ha de destacar que s'observa la mateixa pendent que la documentada anteriorment en aquesta àrea. És a dir, el nivell té una pendent accentuada cap a l'Est i fa, també, una petita inclinació cap a l'exterior de l'abric. Aquesta pendent comporta que la secció sagital no sigui útil a l'hora de diferenciar nivells donat que es perd la perspectiva del bussament cap a l'Est. Per tant, sols ens resulta útil la secció transversal.

A l'extrem Est d'aquesta secció transversal s'observa que el nivell inicia un lleuger ascens, però aquesta imatge és falsa donat que coincideix amb la posició d'un fogar (S3E2) en el qual no es van documentar materials.

2.2. Estratigrafia: Descripció de la Secció Est

La Secció Est que es presenta és la que es va documentar al 1991 i, aquest any s'ha excavat amb la seva totalitat els nivells L i K. Per tant, no deixa de ser una secció orientativa on podem observar la dinàmica general dels nivells però no les profunditats reals que seran corregides al llarg del text. A més, a l'estratigrafia d'aquest any s'ha d'afegir un nova unitat, anomenat nivell O, que és on documentem la base de la unitat arqueològica S3.

Donat que aquest any sols hem intervingut en els nivells inferiors d'aquesta secció i que els altres ja han estat descrit a memòries anteriors (Casellas et alii, 1992: 14-16), centrarem la descripció de la secció en els nivells estratigràfics afectats per les intervencions del 2001 a la zona dels nivells S.

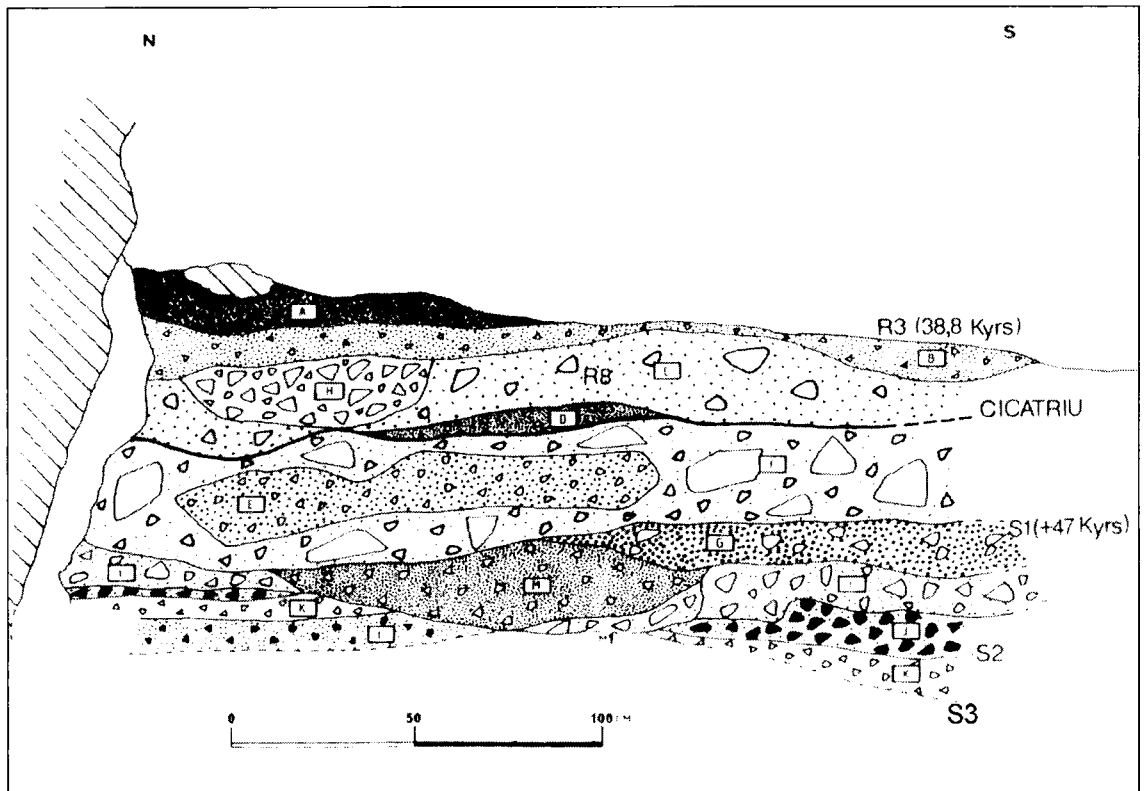


Figura 2. 4.- Secció Est on es pot observar la posició estratigràfica de les diferents unitats arqueològiques documentades (Casellas et alii, 1992)

Nivell G:

-Potència màxima: 9 cm

En aquest nivell es documenta la unitat arqueològica S1. La matriu sedimentària és sorrenca-lulítica d'un color marronós grisenc, tot i que cap a la paret comença a adquirir un color més blanquinós degut a que els processos de carbonatació són més forts en aquesta zona.

Aquest nivell tendeix a desaparèixer cap al nord ja que està erosionada per la base del nivell F i el sostre del nivell M.

Nivell I:

-Potència màxima: 23-30 cm.

La matriu sedimentària és microbretxosa sorrenca lulítica amb petits cantells de color marronós grisenc, molt semblant al nivell G. En aquest nivell, anteriorment no s'havien documentat peces però aquest any s'ha intervingut a les zones més properes a la paret i s'han trobat materials. Aquests s'han atribuït a la unitat arqueològica S1, donat que la seva profunditat coincidien amb aquesta unitat estratigràfica.

Nivell J:

-Potència màxima: 7-14 cm.

Els cantells i blocs de morfologia tabular que caracteritzen aquest nivell estan en una matriu sedimentària de sorrenca-lulítica amb color marronós grisenc. No es documenten unitats arqueològiques en aquest estrat.

Nivell K:

-Potència màxima: 8 cm.

Està format per sorres i lulites de coloració marronosa ataronjada amb abundants cantells intercalats. Aquest nivell té continuïtat des de la banda Nord fins a la banda Sud de l'àrea i s'hi documenta la unitat arqueològica S2.

Nivell L:

-Potència màxima: 30 cm.

La matriu sedimentària és sorrenca-lulítica de color marronós ataronjat amb una lleugera cimentació a la banda nord. Presenta cantells de petit tamany que van augmentant fins a arribar al penyal de la base del nivell. És en aquest contacte entre les sorres i el penyal on es documenta la unitat arqueològica S3.

Nivell M:

-Potència màxima: 26 cm.

Nivell de bretxa o parabetxa de matriu sorrenca lulítica de color marronós ataronjat amb lleugera cimentació. Morfològicament, aquest nivell té una tendència a ser tabular. La base del mateix és erosiva amb forma de cubeta. Aquesta unitat ocupa tot el sector central de la secció i erosiona tots els nivells excavats a la base del nivell G.

Nivell O:

-Potència màxima: desconeguda

És un penyal format per cantells de tamany mig i gran que cobreix tota la superfície de l'àrea fent una pendent molt pronunciada cap a l'Est. La matriu sedimentària és sorrenca de coloració marronosa grisosa que envolta els cantells produeix que sigui una unitat d'escassa cimentació. El sostre d'aquesta unitat correspon amb el final del nivell arqueològic S3.

2.3. Els materials arqueològics

A la banda nord de l'àrea, just en el contacte amb la paret de l'abric una matriu sedimentària de penyal homogeni amb sorres de color marronós grisós, que caracteritzava a la unitat arqueològica S1. En aquesta banda marginal, es van documentar set ossos que es van adscriure a la unitat arqueològica S1 després d'haver-ho comprovat amb projeccions de campanyes anteriors.

MATERIA	DET	NDET	TOTAL
OS	2	5	7
	28,6%	74,4%	100%
TOTAL	2	5	7
	28,6%	74,4%	100,0%

Taula 2. 1.-Material arqueològic documentat al S1 durant la campanya del 2001

Tot i que a la campanya duta a terme al 1991 es va deixar el jaciment en l'estèril entre S2 i S3. A l'inici d'aquesta campanya es van documentar materials arqueològics

que es troben en una matriu sorrenca molt pura de coloració grisosa. Aquesta es van adscriure a la base de la unitat arqueològica S2.

Pel que fa al material coordinat, s'observa una predominància del material ossi front al material lític. Aquesta predominància segueix la tònica observada a les campanyes de 1990 i 1991, on es va excavar amb extensió aquest nivell.

MATERIA	BN1G	BP	BP2G	BPF	BPI	DET	NDET	TOTAL
CALCÀRIA		3 9,4%						3 9,4%
OS						8 25,0%	12 37,5%	20 62,5%
QUARSITA	1 3,1%	3 9,4%		1 3,1%	1 3,1%			6 18,8%
SILEX	1 3,1%		2 6,3%					3 9,4%
TOTAL	2 6,3%	6 18,8%	2 6,3%	1 3,1%	1 3,1%	8 25,0%	12 37,5%	32 100,0%

Taula 2. 2.- Percentatges dels materials de S2 de la campanya del 2001

El UA S3 es va documentar al 1991, però no es van coordinar materials. Per tant, aquest constitueix l'únic nivell excavat amb extensió i en la seva totalitat durant aquesta campanya. El nivell es localitza en el contacte entre les sorres marronoses i ataronjades del nivell estèril i el penyalar.

Pel que fa als materials arqueològics que s'hi han trobat, cal destacar que la presència d'un 47% de restes lítiques de les quals un 80'5% són de quarsita. L'abundància d'aquest material es deu, probablement, a que es troba amb facilitat prop del jaciment donat que els còdols de quarsita són transportats pel riu Segre. Aquesta circumstància comporta que, tot i ser quarsita, no es pugui considerar que totes les peces trobades pertanyen a la mateixa matèria primera.

Per una altra banda, el material ossi està força danyat i es presenta de forma fragmentada, impeding-ne sovint la seva identificació taxonòmica. Tot i això, es varen trobar nou ossos identificables sis dels quals es podrien atribuir a un animal de talla petita, tipus conill.

A la superfície òssia d'un metàpode de cérvol, es documentà la presència de marques d'esquarterament i d'un repiquetejat que interpretem com a un possible retocador. Aquest ós constitueix un dels pocs casos en que s'han documentat retocadors en ós del Paleolític mig català

MATERIA	BN1G	BN2G	BP	BP2G	BPF	BPI	OS DET	OS NDET	TOTAL
CALCÀRIA			1 1,1%			2 2,3%			3 3,4%
OS							9 10,3%	37 42,5%	46 52,9%
QUARSITA		1 1,1%	10 11,5%	10 11,5%	4 4,6%	8 9,2%			33 37,9%
SILEX	2 2,3%			1 1,1%		2 2,3%			5 5,7%
TOTAL	2 2,3%	1 1,1%	11 12,6%	11 12,6%	4 4,6%	12 13,8%	9 10,3%	37 42,5%	87 100,0%

Taula 2. 3.- Percentatges dels materials coordinats al S3 durant la campanya del 2001

2.4. Estructura de combustió S3E2

NOMBRE STRING: PS3E2

A més d'aquests materials arqueològics a S3 es va documentar la presència d'una estructura de combustió i que va rebre el nom de S3E2. Aquesta estructura es troba en una matriu sedimentària composta per sorra fina i pedres del penyalar de tamany mig-petit sobre el qual s'assenta S3.

Es tracta d'una estructura semi-elipsoidal que queda tallada per la secció que separa la zona d'excavació dels unitats S i R (Secció Est) que va documentar-se al quadre 28000-85000.

Aquesta llar no presenta cap element de delimitació i és un fogar pla que segueix la pendent natural de la delineació del estrat. Tot i estar tallada, les dimensions en seu eix transversal són d'uns 50 cm mentre que a l'eix sagital són entorn d'uns 70 cm.

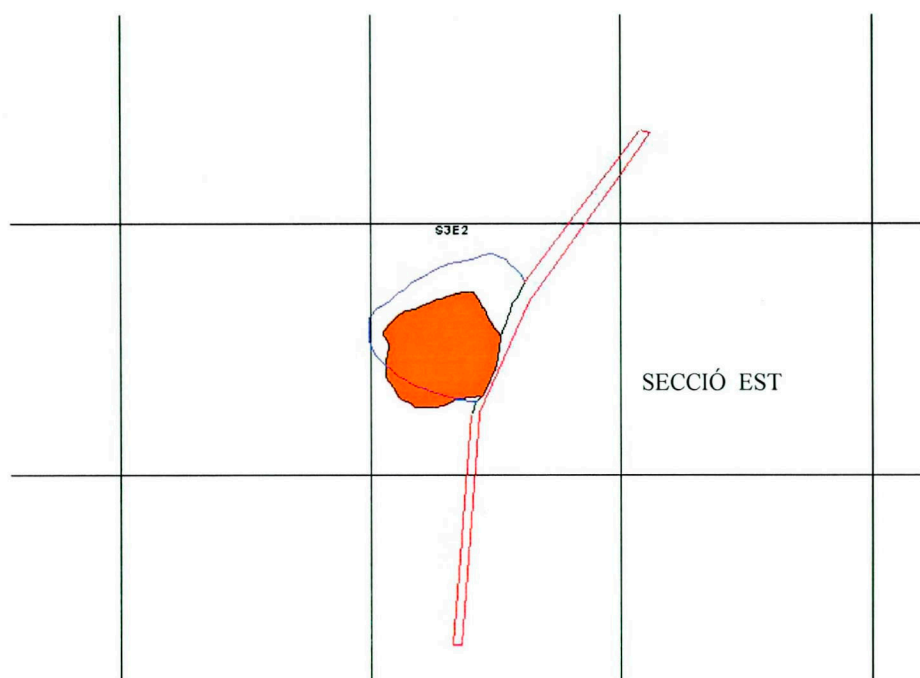


Figura 2. 5.-Planta del fogar S3E2. En taronja la Planta final, corresponent a l'àrea de combustió, en transparent la planta inicial.

2.5. Conclusions

Aquesta àrea es va deixar de treballar un cop es va finalitzar la excavació del nivell S3, donat que resultava interessant deixar d'aprofundir en aquesta àrea i començar a insistir més en la zona de les UA de R. Per aquest motiu, es va topografiar la zona i es dibuixaren les pedres de gran tamany que s'hi documentaren i que s'assentaven sobre el nivell de sorres de S3 i no sobre el penyalar; per comprendre quina era la relació entre aquestes grans roques i els materials arqueològics, si es que n'hi havia alguna.

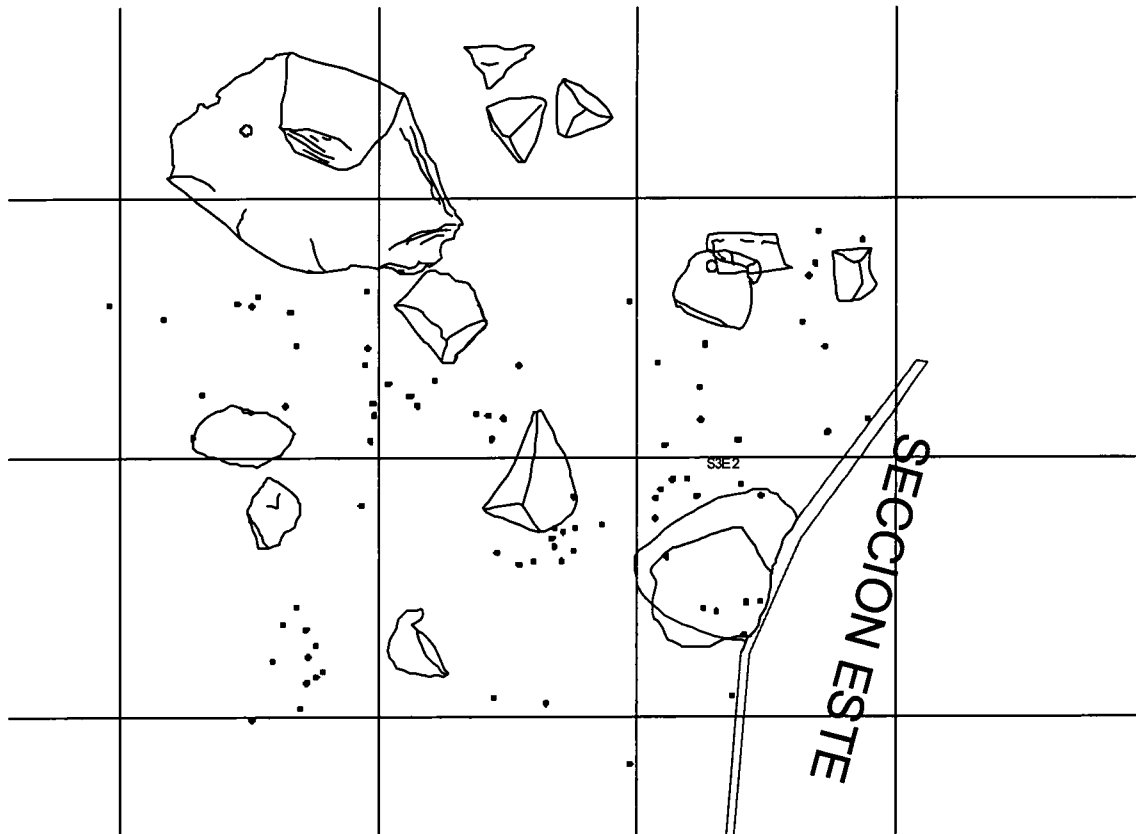


Figura 2. 6.- Dispersió de S3 amb els grans clasts i el fogar S3E2.

Aquest canvi d'estratègia responia a un doble interès: Per una banda, aconseguir tenir tot el jaciment a una mateixa profunditat i, per una altra, saber quina era la relació entre els nivells S i els nivells R.

En aquest sentit, cal assenyalar que un dels problemes als quals ens enfrontem és que els nivells tenen una pendent molt accentuada cap a l'est a la zona dels S; mentre que a l'altre zona de l'abric –la zona “R”– la pendent és suau i cap a l'oest. Aquesta dinàmica diferencial ha dificultat la tasca d'unir les dues àrees i de comprendre la dinàmica general de formació de l'abric.

Per una altra banda, es pot parlar d'una dinàmica de formació de l'abric en aquesta àrea que és recurrent: comença en un nivell de sorres a les que, progressivament, van incrementant-se el nombre i tamany dels cantells, fins a arribar a un nivell de penyalar. És en els contactes entre les sorres i els nivells de cantells on documentem la presència de les unitats arqueològiques S1, S2 i S3.

Actualment, el principal objectiu de les campanyes que es duran a terme ha de ser veure quina és la continuïtat/discontinuïtat entre la zona dels S i la dels R per obtenir una visió clara de quina és la dinàmica de formació de l'abric i de les ocupacions que hi van tenir lloc.

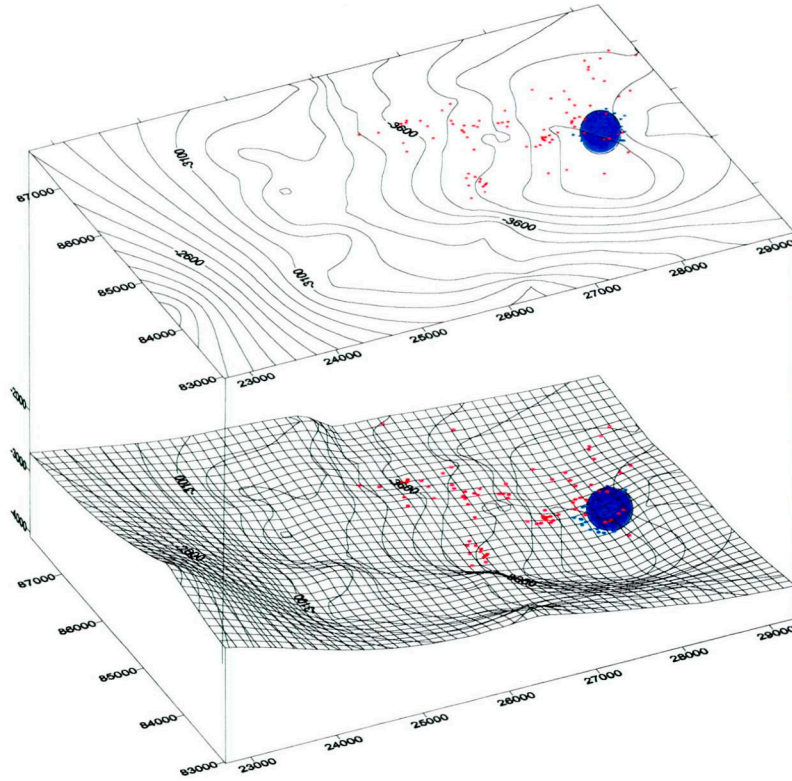


Figura 2. 7.- Bloc diagrama de la topografia de la base de S3 amb la dispersió de coordenats (vermell) i el fogar (blau)

Com que ens vam aturar d'excavar un cop es va finalitzar S3, és possible que en es trobin nous nivells arqueològics per sota del penyal en futures campanyes.

3. Excavacions a l'àrea dels "R"

3.1. Introducció

Donat que al 1991 es va deixar la zona dels R a l'estèril que hi ha per sota de R3, aquest any ens vam plantejar excavar amb extensió la unitat arqueològica R8. Aquesta unitat fou documentada per primera vegada la llarg de la campanya de 1990 en els quadres 30000-81000/82000, mentre es buscava la continuïtat de R3 cap a Sud (Casellas et alii, 1992).

A nivell geològic, aquesta unitat s'insereix dins d'un penyal que es caracteritza per la presència de fragments i blocs heteromètrics, farcit de sorres pures que es van carbonatant cap la banda Sud i adquireixen una tonalitat blanquinosa (Casellas et alii, 1992).

El primer problema amb el que ens vam enfrontar era que just a la meitat de l'àrea s'observava un canvi de coloració del sediment que passava de blanc a marronós i que, en canvi, no s'apreciava una discontinuïtat de material, es va decidir que s'estava excavant la mateixa unitat arqueològica i que aquesta diferencia de coloració responia a que la unitat arqueològica R8 s'assenta sobre dues unitats geològiques diferenciades (nivells B i C de la Secció Est).

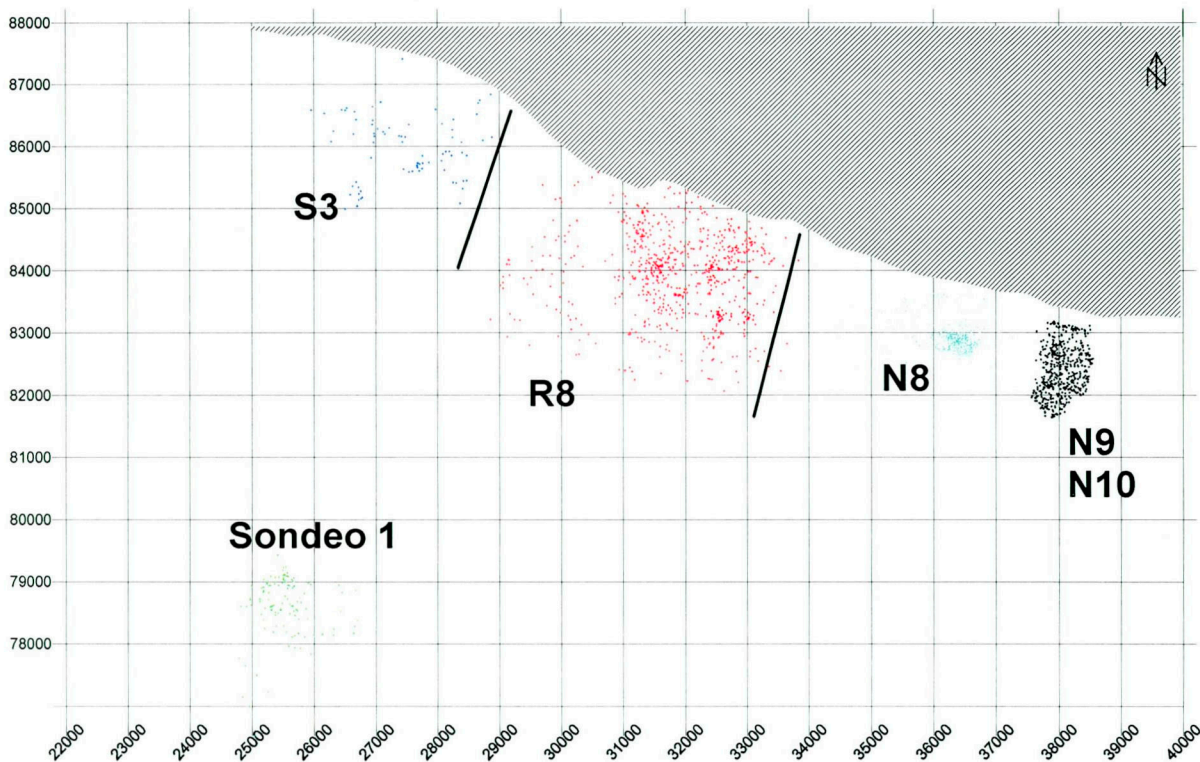


Figura 3. 1.- Localització en planta de la Unitat Arqueològica R8 en relació amb la resta d'àrees excavades.

A les projeccions sagitals i transversals s'observa un hiatus estèril que separa clarament la unitat arqueològica R3 de la R8. En aquestes projeccions també, es va observar que R8 feia una lleugera pendent cap a l'exterior de l'abric, és a dir, cap al Sud.

Per tant, podem afirmar que la diferència de coloració entre el Nord i el Sud no ens està parlant de dos moments diferenciats sinó dels complexos processos de formació dels penyalars que tenen lloc a la Roca dels Bous, concretament es tracta d'una superfície amb una matriu carbonatada producte de l'acció de l'aigua sobre el dipòsit.

3.2. Materials arqueològics

En aquesta unitat arqueològica hem coordinat un total de 529 objectes, dels quals únicament 13 elements corresponen a restes òssies. La resta s'enquadren a la categoria de materials lítics.

La matèria primera dominant és la quarsita (88%), que és obtinguda dels encontorns del jaciment. El sílex, amb un 85%, és la segona matèria primera més utilitzada. Aquelles matèries primeres que no s'han pogut identificar (2) s'han col·locat a la categoria genèrica de LÍTIC.

És de destacar el fet de que no s'hagi documentat cap nucli, tot i que la superfície excavada és bastant ampla. Dominen les restes de talla (BP2G), seguides de la categoria d'esclats (BP) i fragments d'esclat (BPF). Destaquem la presència d'un percutor (BNE) sobre quarsita que presenta superfícies marcadament alterades per accions de repicoteig i talla.

MATERIA	BNA	BNE	BP	BP2G	BPF	BPI	OS DET	OS NDET	Total
CALCÀRIA	1 ,2%			1 ,2%		1 ,2%			3 ,6%
LIDITA									1 ,2%
LÍTIC								2 ,4%	2 ,4%
OS							2 ,4%	9 1,7%	11 2,1%
QUARSITA		1 ,2%	99 18,7%	299 56,5%	58 11,0%	7 1,3%			466 88,1%
SILEX			15 2,8%	17 3,2%	6 1,1%	1 ,2%			45 8,5%
TOTAL	1 ,2%	1 ,2%	114 21,6%	317 59,9%	64 12,1%	9 1,7%	2 ,4%	11 2,1%	529 100,0%

Taula 3. 1.- Recomptes dels materials coordinats a R8.

3.3. Plantes i seccions

La unitat R8 està delimitada a la seva banda nord per la paret de l'abric i conforme ens apropem a l'oest va desapareixent la densitat d'objectes arqueològics. La presència de les unitats S cap a l'oest, amb una marcada pendent cap a l'est, fa impensable que ens plantegem la continuïtat de R8 en aquesta direcció. Per tant, hem decidit buscar aquesta connexió a l'àrea del testimoni que encara resta per excavar. Ha estat l'erosió natural de la cavitat la que no ha permès la conservació de R8 a les zones més occidentals de la superfície que presenta. També es possible que la pròpia dinàmica de les ocupacions generaren superfícies amb materials arqueològics com les que aquí se'ns presenten, taques de 5 o 6 metres de diàmetre amb concentració de material i presència d'estructures (31000/33000-83000/85000), no tenint continuïtat amb d'altres zones properes.

La distribució en planta (Figura 3.2) de tots els objectes coordinats ens mostra una concentració de materials en els quadres 31000/33000-83000/85000. Conforme ens allunyem d'aquesta part central la densitat d'objectes va disminuint fins a arribar a superfícies a les quals no s'ha documentat cap objecte arqueològic.

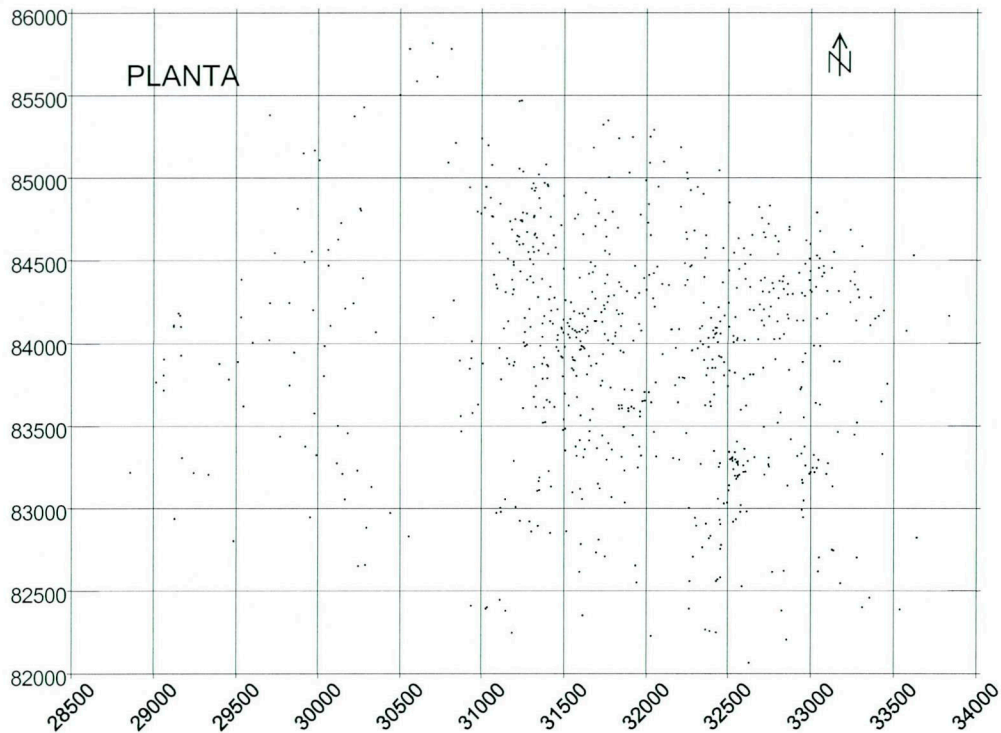


Figura 3. 2.- Planta amb la dispersió de coordenats de R8

Les seccions generals (Figura 4.3.) mostren una concentració al voltant de 31500 i 32500, el que és indicatiu d'una especial acumulació de materials i una dispersió cada cop més gran vers l'oest i el sud. Cap a l'est s'ha de trobar la correlació amb les unitats del testimoni i queda pendent la seva excavació per a futures campanyes. La secció transversal presenta una delineació bastant plana en direcció est-oest.

La secció sagital (Figura 3.4) sembla representar dues unitats arqueològiques diferents, però això és provocat per un defecte d'amplitud de la variable oculta, que desapareix quan treballem amb franges de projeccions menors. Això és indicatiu de que en direcció nord-sud la UA presenta una lleugera pendent que, en aquest cas, es deu a una cubeta natural del paleosòl.

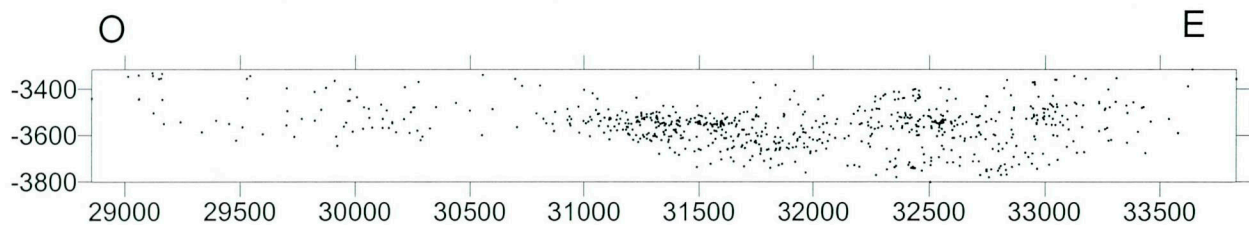


Figura 3. 3.- Secció transversal de tots els objectes coordinats a la unitat arqueològica R8 a la campanya del 2001.

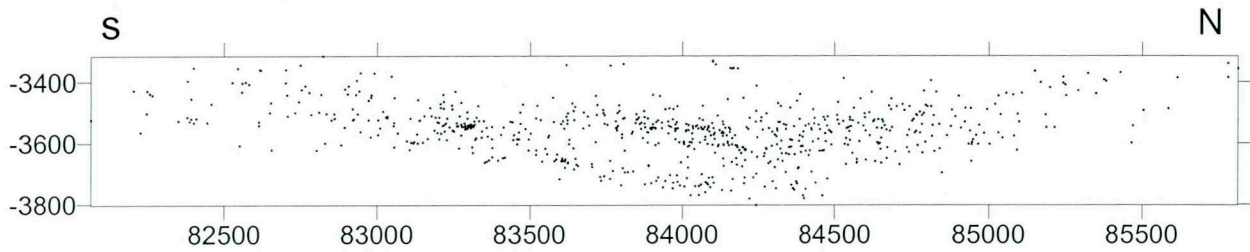


Figura 3. 4.- Secció sagital de tots els objectes coordenats a la unitat arqueològica R8 a la campanya del 2001.

3.4. Estructures de combustió

Cal destacar la presència de cinc estructures de combustió (E3, E4, E5, E6 i E8) a l'àrea excavada de R8. Aquestes es situen a diferents profunditats, esdevenint de moment impossible adscriure materials arqueològics a cadascuna d'elles, tot i que alguns dels objectes trobats junt a R8E5 s'hagin individualitzats com associats a aquests fogar (veure les bases de dades). A la base del paleosòl, justament a les pendents de la cubeta, es troben les estructures E5 i E8, separades ambdues per un parell de metres. A una posició més elevada es localitza E6 que representa una ocupació diferent i, lleugerament més alta, trobem E4 i E3. Ens plantejem que es tracti de tres moments d'ocupació distints dins de la unitat arqueològica R8.

En planta veiem com es localitzen els fogars molt propers els uns a els altres, però sense arribar a tallar-se mai. La seva proximitat a la paret de l'abric, així com la documentació o no de rubefracció a la base dels mateixos, són dades que poden ésser significatives. A més, curiosament, tots els fogars esta dins o molt a prop de la cubeta natural identificada.

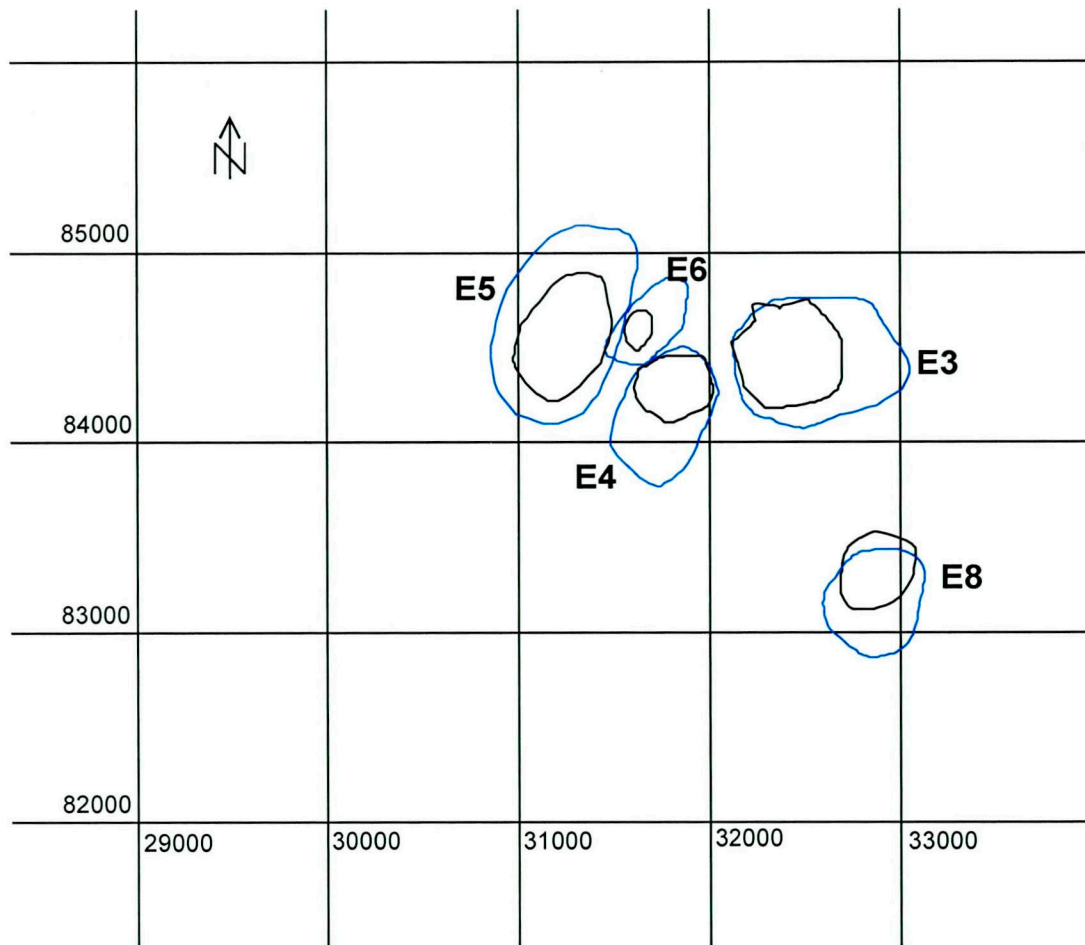


Figura 3. 5.- Els fogars de R8.

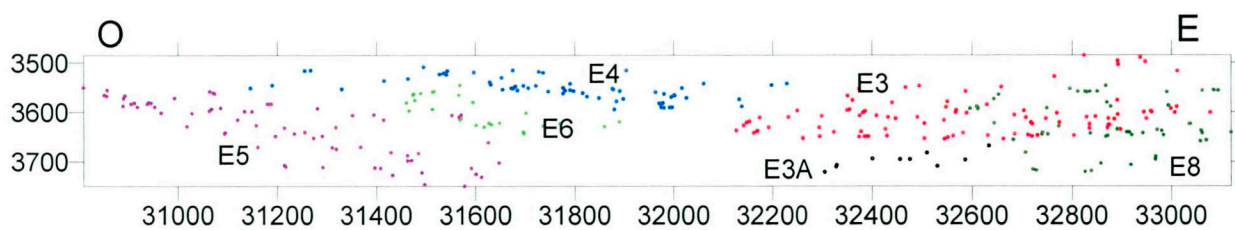


Figura 3. 6.- Secció transversal dels fogars de R8. Part de l'estructura E8 es superposa a E3 per l'efecte pendent de la variable oculta, però es situa estratigràficament por sota de forma clara.

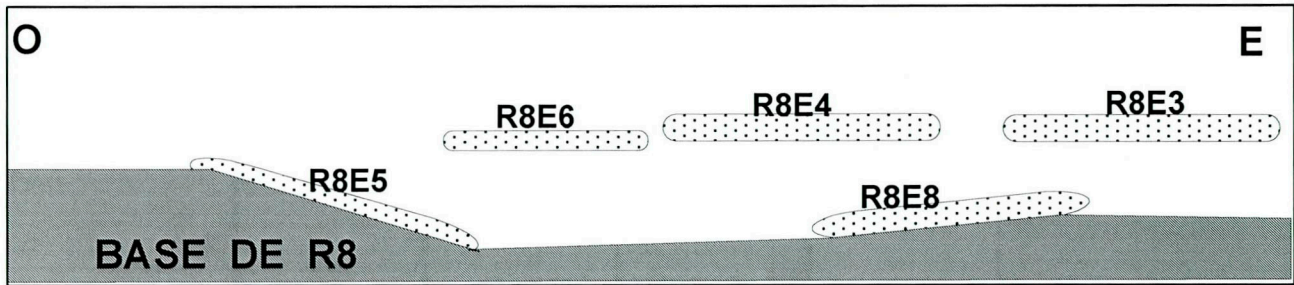


Figura 3. 7.- Esquema de la posició relativa dels fogars de R8, secció transversal.

3.4.1. Estructura de combustió R8E3

És la segona estructura de combustió atribuïble al nivell R-8. La primera va ser excavada en la campanya del 1990-1991 i està referenciada en la memòria del 1991 (Casellas, Martínez et al. 1992).

Es tracta d'una estructura el·lipsoïdal irregular en la seva planta inicial i es converteix en un fogar de forma circular en la seva base. S'ha excavat completament.

És un fogar pla localitzat en pendent que no presenta pedres o d'altres elements de delimitació. El material arqueològic recuperat dins de fogar és escàs.

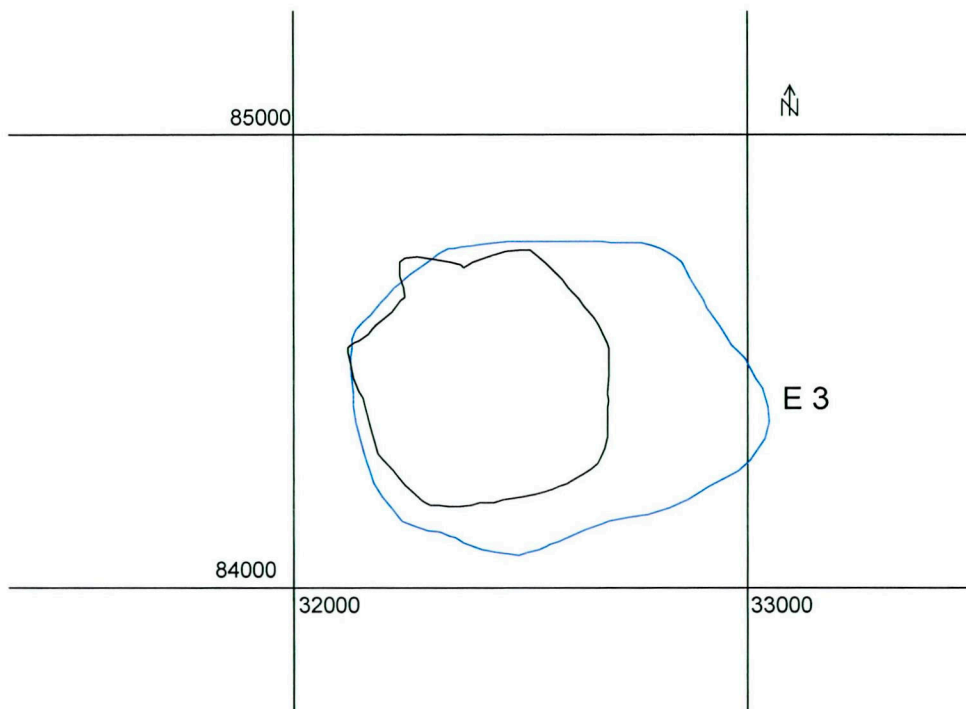


Figura 3. 8.-Planta inicial i final del fogar E3.

S'ha recollit una mostra del sediment que s'ha passat per garbell d'aigua amb una malla de 2 mm, els materials recuperats són pocs, bàsicament BP2G de quarsita i sílex i algunes estelles d'os de petit tamany.

3.4.2. Estructura de combustió R8E4

Tercera estructura de combustió atribuïble al nivell R-8, té una estructura el·lipsoïdal irregular que s'ha excavat completament.

És un fogar pla localitzat en pendent on no s'hi documenten elements de delimitació.

El material arqueològic recuperat és més aviat escàs i les restes òssies superen a les lítiques.

S'ha recollit una mostra de sediment que ha estat passada per garbell d'aigua amb una malla de 2 mm, en general s'ha recuperat pocs materials arqueològics.

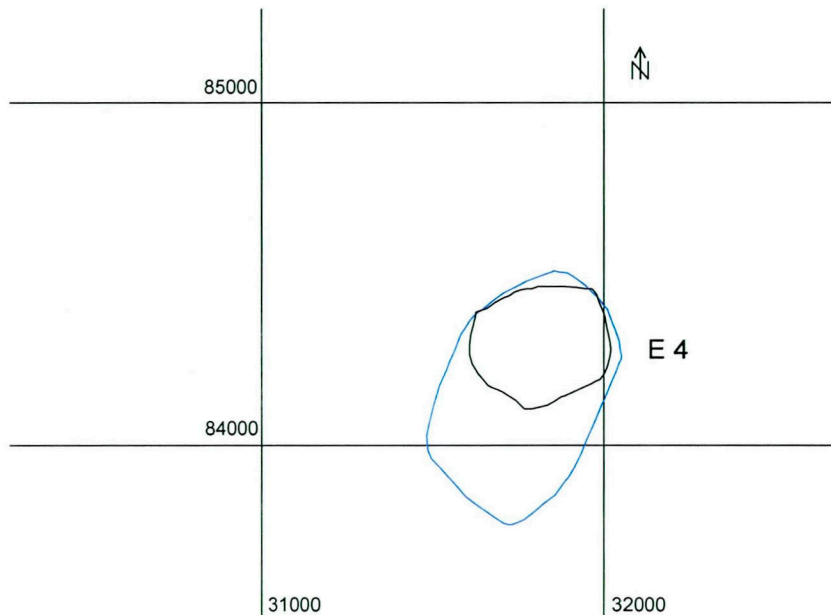


Figura 3. 9.- Planta inicial i final del fogar E4.

3.4.3. Estructura de combustió R8E5

Es tracta d'una estructura el·lipsoïdal-circular excavada en extensió que s'ha localitzat en pendent.

Fogar pla amb molt poc material arqueològic.

S'han guardat mostres de sediment per realitzar analítiques.

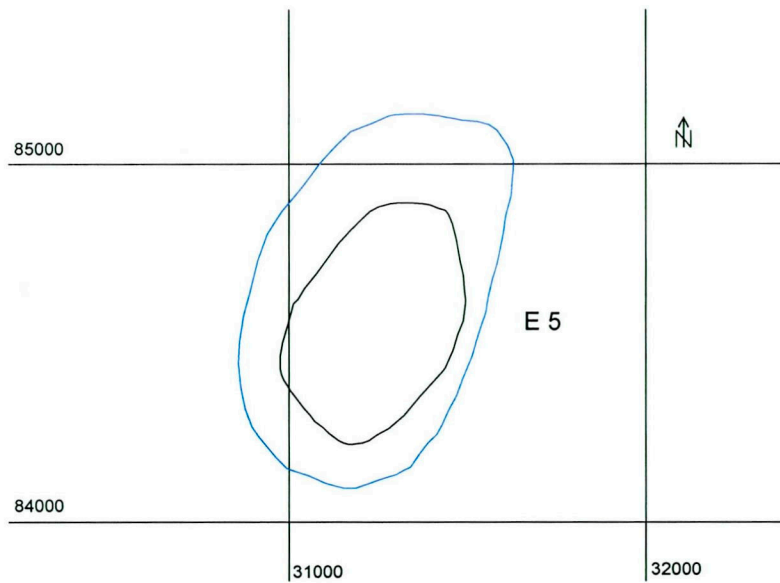


Figura 3. 10.- Planta inicial i final del fogar E5.

3.4.4. Estructura de combustió R8E6

Estructura de combustió el·lipsoïdal atribuïble a la unitat arqueològica R8. Va aparèixer quan estàvem delimitant l'estructura E5 i en una posició lleugerament superior a aquesta (entre 5 i 10 cm més alta).

Fogar pla sobre una superfície plana on no s'aprecien elements de delimitació.

El material arqueològic recuperat és més aviat escàs, amb un predomini de les restes òssies sobre les lítiques.

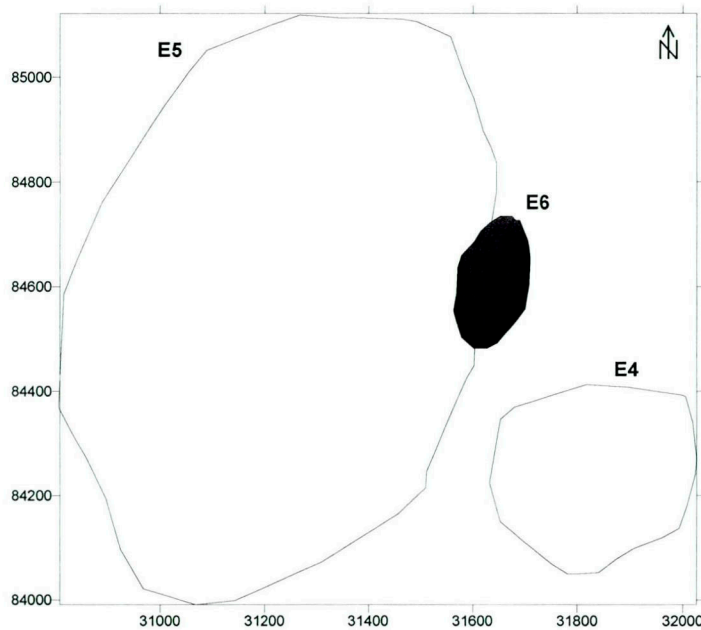


Figura 3. 11.- Posició de E6 respecte a E4 i E5.



Figura 3. 12.- Secció transversal de la morfologia de les estructures E5, E6 i E4.

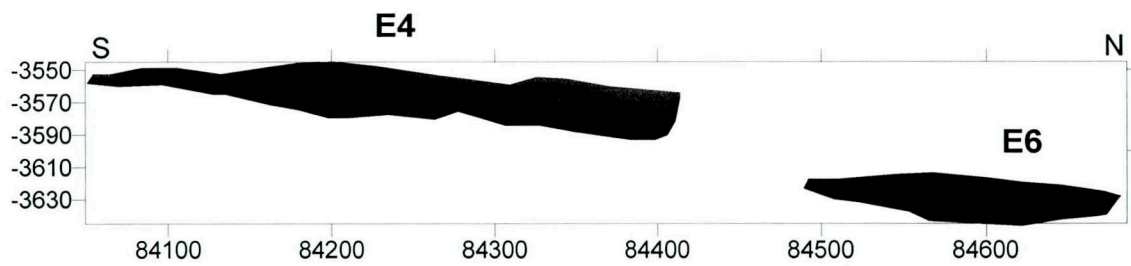


Figura 3. 13.- Secció sagital de les estructures E4 i E6.

Tot i el que s'observa a la figura 4.12. (Secció transversal) que la estructura E6 es situa per sota la E4, quan visualitzem la secció sagital de la morfologia de les dos, tal i com es representa a la Figura 4.13., podem observar que no existeix una superposició entre E4 i E6 .

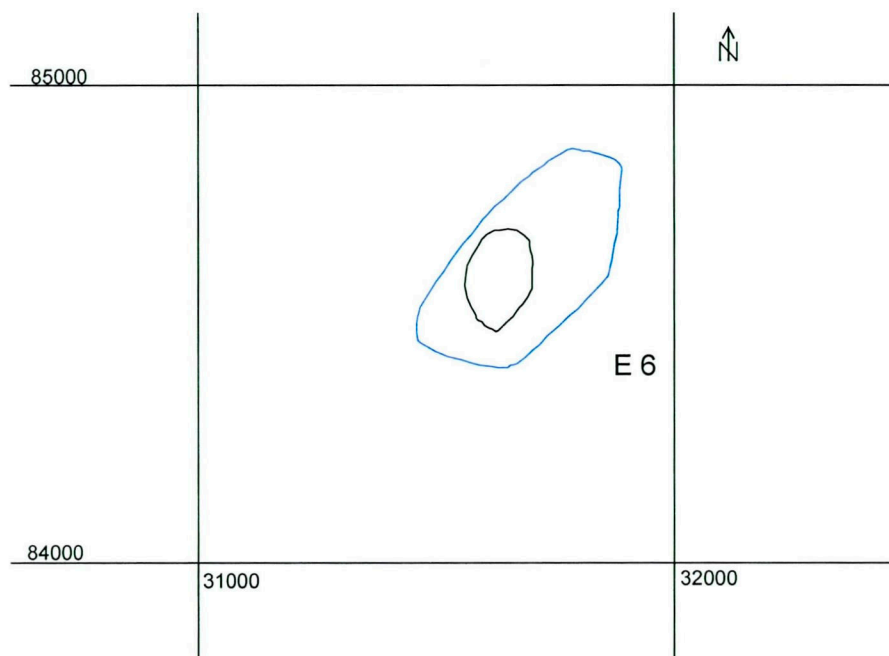


Figura 3. 14.- Planta inicial y final del fogar E6.

3.4.5. Estructura de combustió R8E8

És l'últim fogar excavat en la campanya del 2001, ja que R8E7 no existeix (es va donar aquest nom a una taca que després va resultar ser natural)

És una estructura el·lipsoïdal-circular excavada en extensió.

Fogar pla localitzat en pendent on no s'aprecien pedres o elements de delimitació. No s'han documentat materials arqueològics en el seu interior.

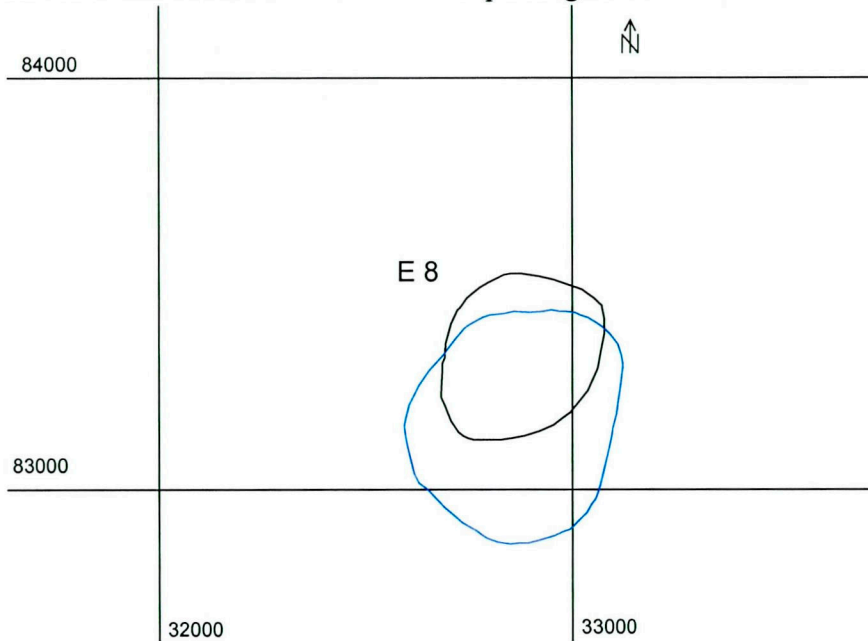


Figura 3. 15.- Planta inicial i final del fogar E8.

3.5. Conclusions

La Unitat Arqueològica R8 és la més important de les excavades durant la campanya del 2001, tant per la superfície en la que s'ha treballat, com per el número d'objectes i fogars coordinats.

Les seccions en les que es projecten els materials ens permeten parlar de R8 com una unitat arqueològica ben definida. A més, la documentació de peces de tamany milimètric, i sobre tot la presència de fogars, suggereixen que les alteracions postdeposicionals d'aquesta unitat han estat molt escasses, per tant ens trobem davant d'un dipòsit que conserva gran part de la integritat original.

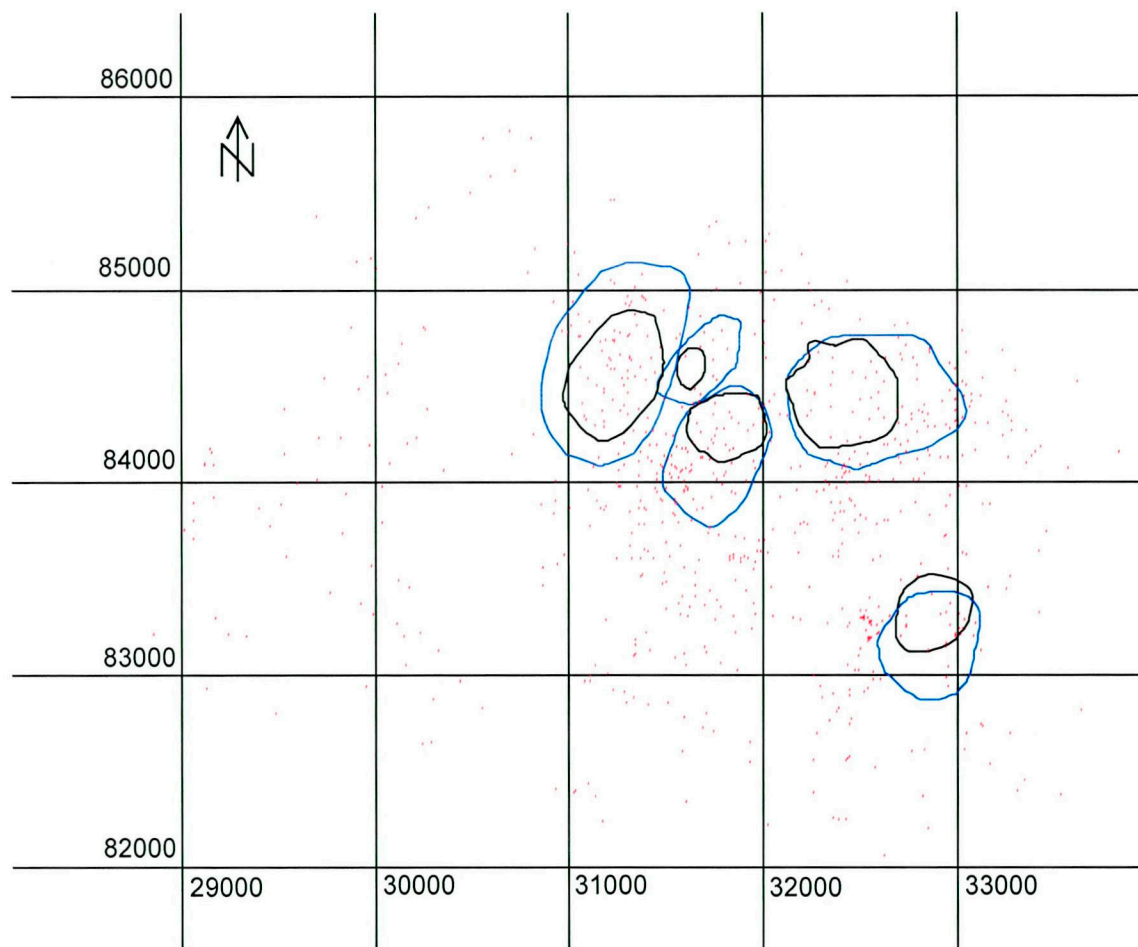


Figura 3. 16.- Planta de dispersió dels coordenats de R8, junt als fogars identificats a la campanya del 2001.

És rellevant senyalar que, tot i la considerable superfície excavada, la majoria dels materials es concentren en una àrea concreta, entre els quadres 31000/33000 i 83000/85000, fet que deu està relacionat amb un criteri arqueològic més que tafonòmic. Els fogars també s'agrupen en aquesta zona propera a la paret de l'abric, i per això ens plantejem la possibilitat que s'estigués aprofitant el resguard que oferia la paret vers els elements, i que el nucli de l'activitat antròpica es desenvolupés allà..

No queda en realitat molta superfície per excavar en R8 i, a excepció dels quadres relacionats amb el Testimoni, tan sols queda una reduïda zona al sud de l'àrea excavada durant aquesta campanya. Per tot això, els futurs treballs s'han de centrar en la correlació de R8 amb l'àrea del Testimoni, i en documentar noves ocupacions per sota del nivell excavat durant aquesta campanya.

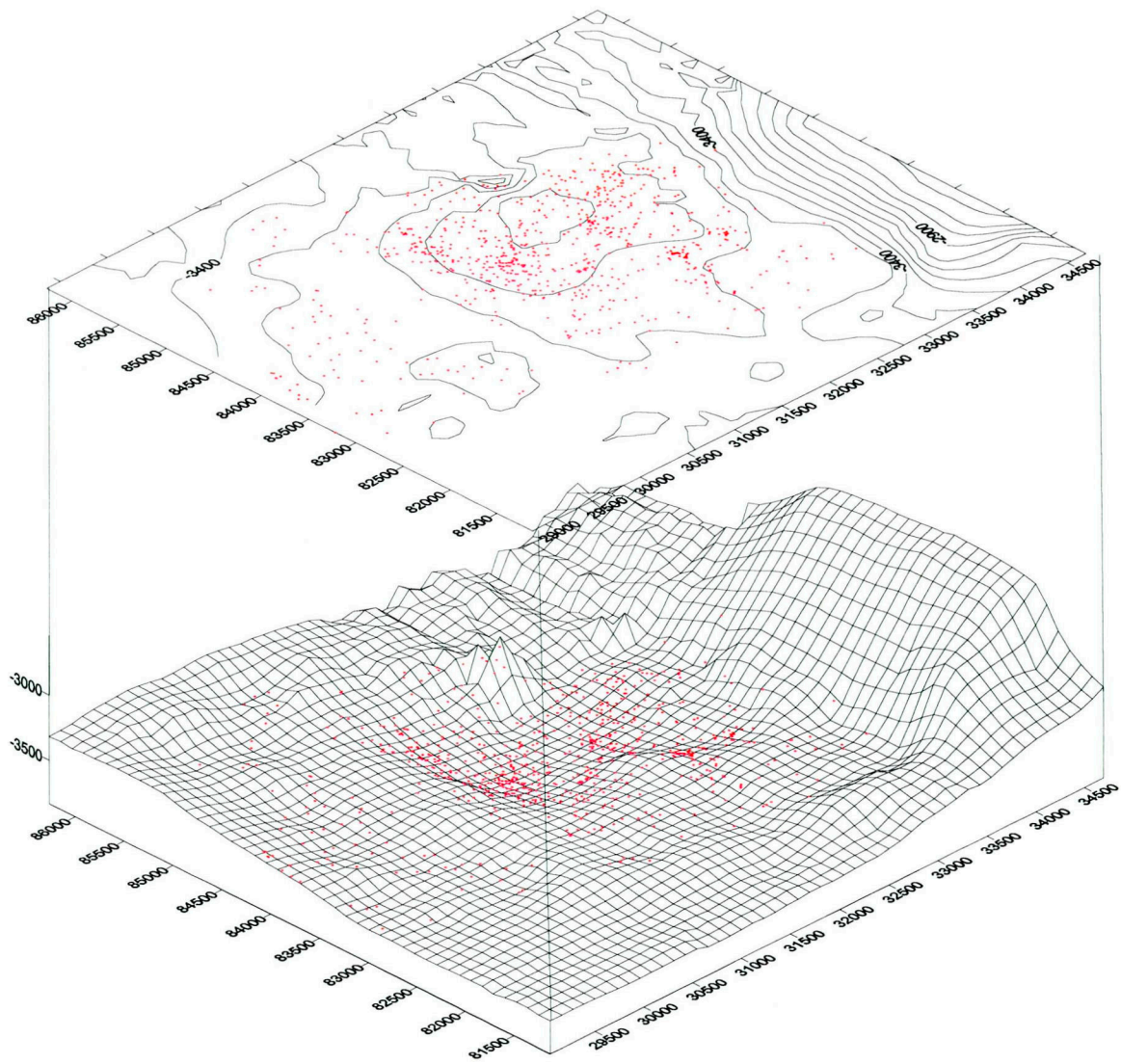


Figura 3. 17.-Bloc diagrama de la unitat arqueològica R8 sobre la base del nivell. S'observa la concentració de materials al voltant de la cubeta natural central.

4. Treballs al testimoni: unitats arqueològiques documentades

4.1. Introducció

El testimoni es troba localitzat a la zona central de l'abric, i ha sigut durant totes les campanyes d'excavació un element referencial. Part dels esforços de les primeres campanyes d'excavació, foren dedicades al estudi de la dinàmica de deposició dels nivells d'aquest testimoni (campanyes de 1987, 1988 i 1994)(Parcerisas i Parpal 1997).

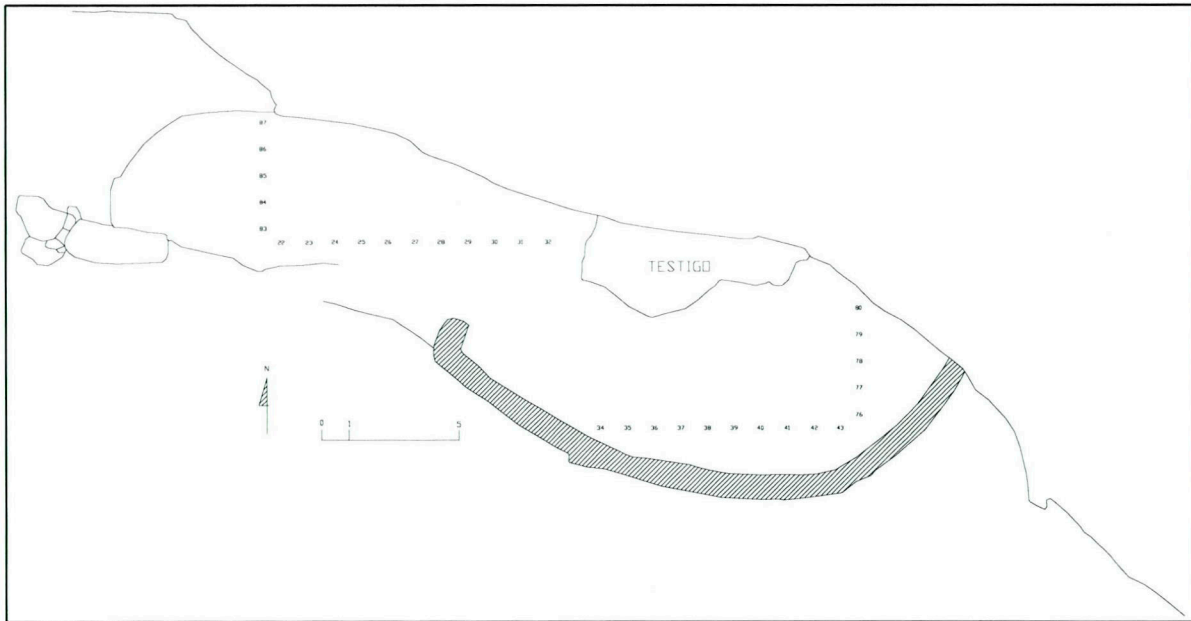


Figura 4. 1.- Localització de l'àrea del testimoni de la Roca dels Bous.

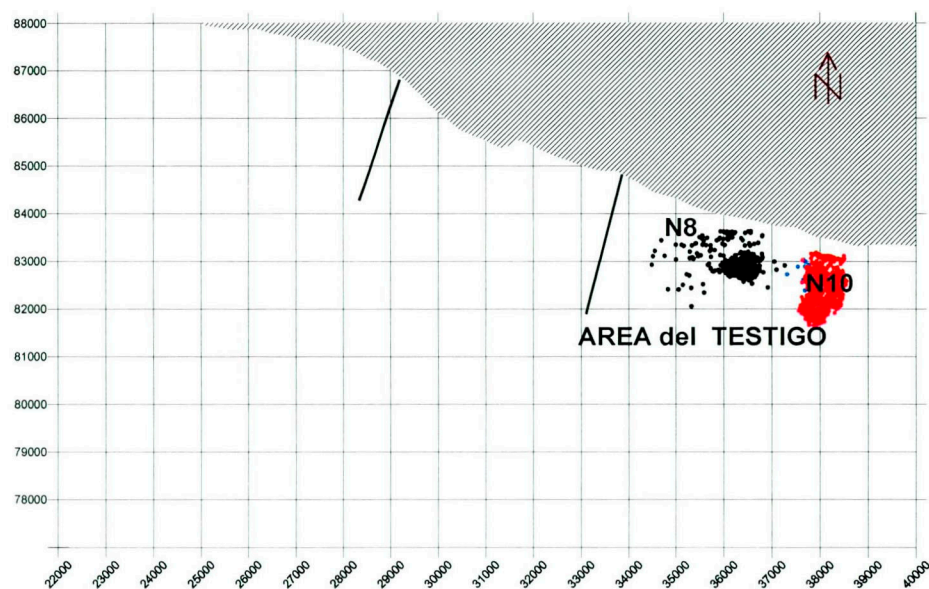


Figura 4. 2.- Situació de les unitats arqueològiques del testimoni excavades al 2001.

Durant la campanya del 2001 s'han continuat els treballs en el testimoni, amb l'objectiu de revisar l'estratigrafia del mateix i intentar connectar aquests nivells amb la zona dels "R". Així, s'ha treballat a la part més oriental del testimoni (quadre 37500-81000/83000), i s'ha excavat en planta en els quadres 34500/37000-82000/82500. En cap de les dos àrees s'ha arribat a la base del testimoni ni s'ha aconseguit correlacionar aquests nivells amb la zona dels "R", és per això que resulta prioritari continuar durant les pròximes campanyes, amb els treballs en el testimoni.

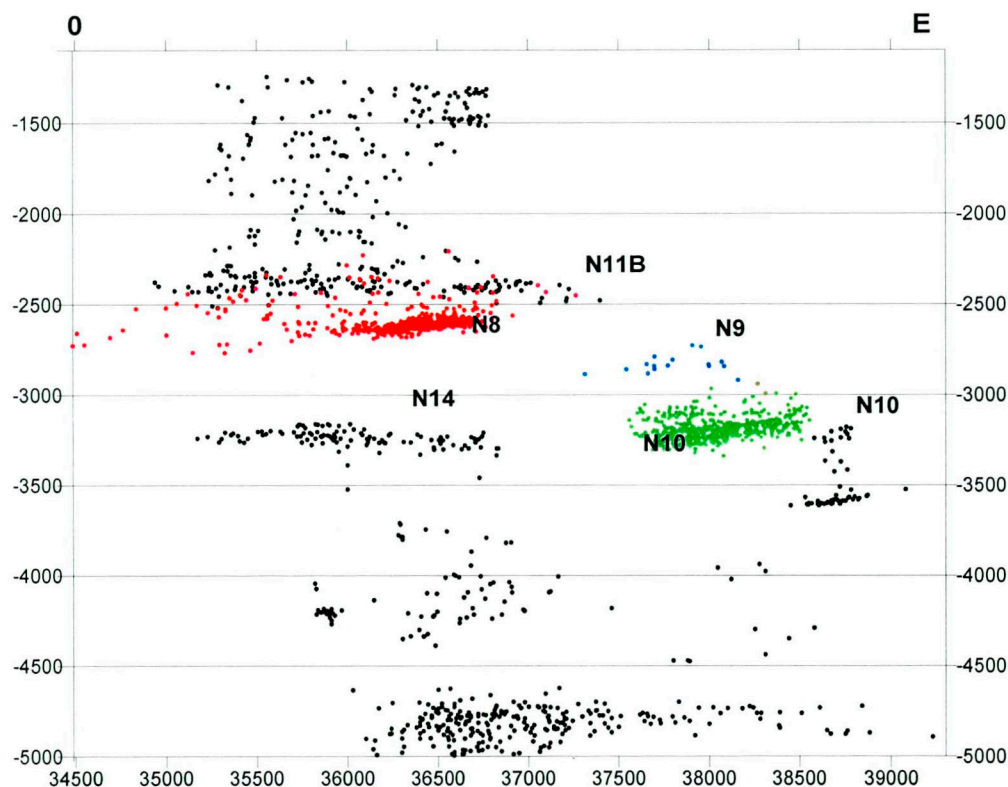


Figura 4. 3.- Secció transversal de tots els coordenats del Testimoni anteriors a la campanya del 2001 (en negra) i pertanyents a la present excavació (vermell, blau i verd)

4.2. Estratigrafia de la zona del Testimoni

L'estratigrafia s'ha aixecat a partir de la secció oest deixada en el quadre 37500-81000/83000. S'identificaren les següents unitats estratigràfiques.

ESTRAT A (Bretxa A):

Té un espessor d'uns 25 cm. aproximadament.

Ha estat rebaiixada al llarg de la campanya d'excavació de l'any 2001 per accedir a les unitats arqueològiques N-9 i N-10. La part Sud de la secció esta molt bretxificada i des de la part central en direcció nord, va perdent consistència. Just per sobre, en planta, es documenta l'acumulació de quarsites del nivell 8, que estan en una posició estratigràfica superior o en mig de, però no per sota. La bretxa està constituïda per calcaries fortament compactades amb una matriu de llims que la cimenta.

ESTRAT B:

Té un espessor d'uns 18 cm. aproximadament.

La part superior esta limitada per l'estrat A i la part inferior per l'estrat C. Té un color blanquinós. Format per una matriu de sorres carbonatades, amb clasts dispersos de tamany mig i petit, amb una cimentació intermitja. Conté la unitat arqueològica N-9.

ESTRAT C (Bretxa C):

Té un espessor d'uns 15 cm. aproximadament.

Lateralment en la secció del testimoni es veu fortament enfortida, mentre que en la secció oest del N-10, en direcció nord perd consistència i homogeneïtat i es caracteritza per la presència de clasts de tamany gran (15-6 cm.) que apareixen de manera puntual.

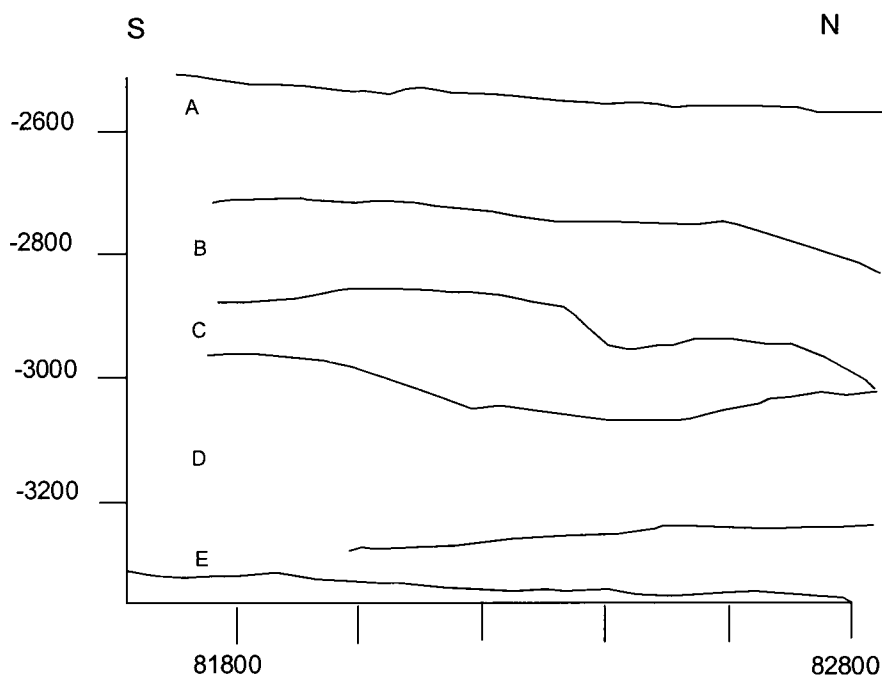


Figura 4. 4.- Estratigrafia de la Secció Oest del Testimoni

ESTRAT D:

Té un espessor de 23 cm. aproximadament.

Constituït per una matriu de sorres amb clasts de petit tamany que s'ordenen de base a sostre presentant en la se base una elevada concentració de clasts (3-5 cm. aprox.) i a mesura que ens acostem al sostre, els clasts augmenten de tamany (6 cm. aprox.), perden densitat i augmenten les sorres carbonatades. Conté la unitat arqueològica N-10.

ESTRAT E:

Té un espessor d'uns 15 cm. aproximadament.

En la seva base presenta una tonalitat fosca producte de les cendres, i a mesura que arribem al sostre va disminuint la intensitat de la tonalitat tornant-se d'un color gris clar. La unitat arqueològica N-10 apareix al sostre d'aquest estrat i dins de l'estrat D,

han quedat algunes peces en secció. Format per una matriu de sorres amb un baix grau de carbonatació, amb clasts de tamany mig i petit no molt densos.

Presenta bioturbació en la seva base, probablement es tracta d'insectes. Al llarg de l'espessor d'aquest estrat no es documenten materials arqueològics.

Possiblement es tracti d'estructures de combustió, que per ara són impossibles de delimitar en l'espai excavat i en el qual s'haurà de treballar en les pròximes campanyes.

En la planta aixecada d'aquest estrat, apareix a la secció nord, una taca de rubefracció que s'ha deixat en planta.

4.3. Unitat Arqueològica N8

La UA N8 s'ha identificat per primer cop en esta campanya. No es va trobar quan començaren els treballs en la part més oriental del testimoni (quadre 37500-81000/83000), sinó al començar l'excavació en el centre del mateix (34500/37000-82000/82500). Es va tenir que rebaixar amb escarpa un nivell fortament carbonatat, en el que es van anar coordinant alguns objectes dispersos. El nivell 11B (excavat al 1994), i amb una màxima densitat entre -2300 i -2400, sembla coincidir amb la part superior del que s'ha coordinat com N8 (veure figura general del testimoni). Per això, seria recomanable que les peces amb les cotes més altes de N8 s'adscriguin al nivell 11B.

El que entenem com N8 és una unitat arqueològica molt definida, tant per les característiques litològiques, com per la seva dispersió en planta i en secció, i per els seus trets arqueològics específics.

Respecte a la litologia, la concentració de N8 va aparèixer després de rebaixar un nivell fortament carbonatat. Les peces es van trobar principalment en un prim (2-3 cms) paquet d'unes sorres fines no consolidades, encara que també es documentaven en sediments bretxificats.

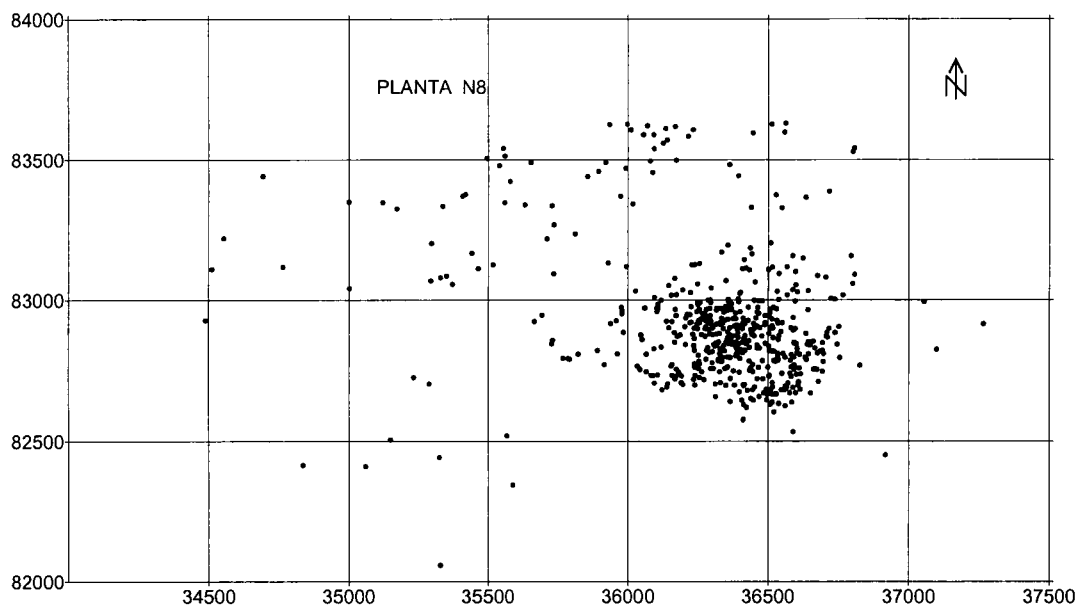


Figura 4. 5.- Planta de dispersió de N8.

La planta també és molt característica (veure Figura 4.5.), ja que N8 no apareix dispers per tot el testimoni, sinó que es concentra en un àrea molt reduïda, entre $x=36000/37000$ i $y=82500/83000$. Això és sorprenent, ja que no es deu a una discontinuïtat estratigràfica en planta, ja que es ressegueix sense problemes la sedimentació en la que s'inclou N8 cap el Nord i l' Oest. Cap a l'Est el Sondeig de N10 realitzat en aquesta campanya no identificà materials de N8, i cap al Sud de la concentració ($x=36000/37000$, $y=82000/82500$) hi ha un gran paquet bretxificat que no conté materials. Per tot això, sembla que la discontinuïtat de materials en la planta de N8 es deu més a causes arqueològiques que sedimentaries.

En secció el nivell N8 també queda perfectament definit; té una lleugera pendent cap a l' oest (veure Figura 4.6.), encara que és bastant pla tant en aquest sentit com en direcció N-S. A més, i és el rellevant, N8 es concentra en molt pocs centímetres de profunditat (3-4 cms), cosa que corrobora la gran homogeneïtat d'aquesta unitat arqueològica.

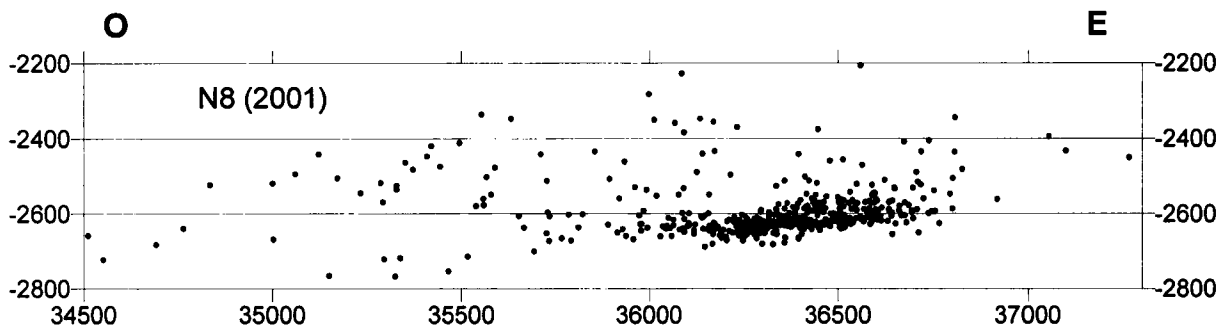


Figura 4. 6.- Secció transversal de N8. Els materials dispersos en les cotes més altes hauran d'adscriués junt a 11B a un nivell diferent del que suposa N8.

No hi ha confusió possible a més entre N8 i els materials coordinats en el Sondeig Est del Testimoni durant aquesta campanya, ja que les cotes de N9 són molt diferents a les que configuren N8, tal i com es pot apreciar en la següent figura:

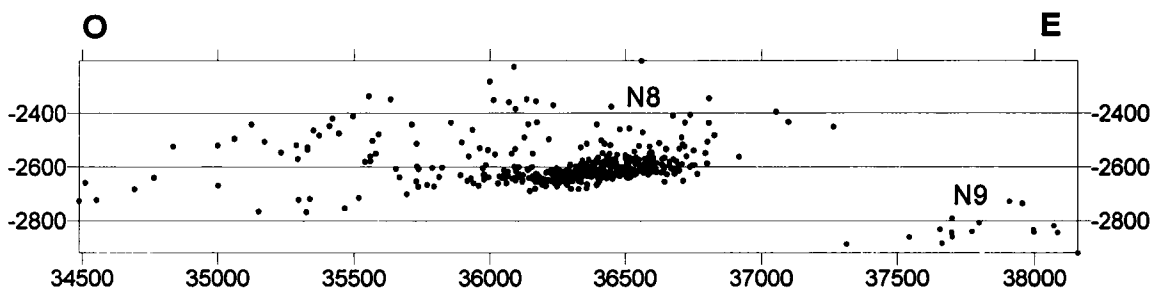


Figura 4. 7.- Secció transversal de N8 respecte als materials de N9.

Respecte a les característiques dels materials arqueològics, N8 també presenta uns trets molt definits. Com es pot observar a la Taula 5.1., la immensa majoria de les peces coordinades són BP2G, moltes d'elles de tamany milimètric. A més, casi el 90% de les peces de N8 són quarsites, que semblen inclòs pertànyer a un mateix nòdul. Per tot això, la impressió inicial es que ens trobem davant les restes d'una zona de talla.

MATERIA	BNA	BNE	BP	BP2G	BPF	BPI	OS DET	OS NDET	Total
CALCÀRIA	1 ,2%			1 ,2%		1 ,2%			3 ,6%
LIDITA									1 ,2%
LITIC								2 ,4%	2 ,4%
OS							2 ,4%	9 ,7%	11 ,1%
QUARSITA		1 ,2%	99 18,7%	299 56,5%	58 11,0%	7 1,3%			466 88,1%
SILEX			15 2,8%	17 3,2%	6 1,1%	1 ,2%			45 8,5%
TOTAL	1 ,2%	1 ,2%	114 21,6%	317 59,9%	64 12,1%	9 1,7%	2 ,4%	11 2,1%	529 100,0%

Taula 4. 1.- Freqüències dels objectes coordinats en N8.

Conclusions:

El nivell N8 sembla haver-se esgotat a la superfície exposada en el Testimoni. Sorprenentment, la concentració principal es delimita en una planta molt reduïda que no té continuïtat cap a d'altres zones. En les cotes de profunditat també està clarament delimitat, existint un important lapse entre N8 i N9. Amb tot, les peces disperses en la zona més alta de N8 corresponen casi amb tota seguretat al mateix nivell identificat com 11B (Parcerisas and Parpal 1997), i per això han de reescriure's quan es treballi en les dispersions del Testimoni.

Respecte a la seva valoració arqueològica, els materials de N8 són molt atractius, ja que disposem d'una bona part dels elements de la cadena operativa; productes acabats (esclats Levallois), BP2G molt nombrosos i BPF que semblen pertànyer a la talla de un mateix nòdul. Per desgràcia, no disposem dels BP1G resultants, i tampoc sembla que disposarem de més superfície per excavar on trobar-los. L'enorme abundància de BP2G milimètrics, la correspondència d'aquests a una quarsita que sembla ser d'un mateix nòdul i la concentració en 3-4 cms de profunditat de tot el material, sembla indicar que ens trobem davant de les restes d'un interessantíssim sòl d'ocupació que va ser desmantellat en les campanyes de Sunyer (1973).

4.4. Unitat Arqueològica N9

La unitat arqueològica N9 es troba en el nivell litoestratigràfic B (veure Figura 5.3.). Un dels aspectes que fan més fàcil identificar aquesta unitat és l'intens color blanc de les sorres fines que componen els seus sediments. La densitat de materials en N9 és molt escassa (veure Taula 4.2.), sobre tot si la comparem amb la mostra de N10, excavat en el mateix quadre. Les seccions sagitals i transversals tampoc indiquen una orientació clara de la UA, ni una homogeneïtat a nivell de cotes que permeti parlar de un sòl d'ocupació.

MATERIA	BN2G	BNA	BP	BP2G	BPF	Total
CALCÀRIA		1 6,3%				1 6,3%
OS						1 6,3%
QUARSITA		1 6,3%	3 18,8%	2 12,5%		6 37,5%
SILEX	2 12,5%		5 31,3%		1 6,3%	8 50,0%
TOTAL	2 12,5%	2 12,5%	8 50,0%	2 12,5%	1 6,3%	16 100,0%

Taula 4. 2.-Freqüències dels objectes coordinats en N9.

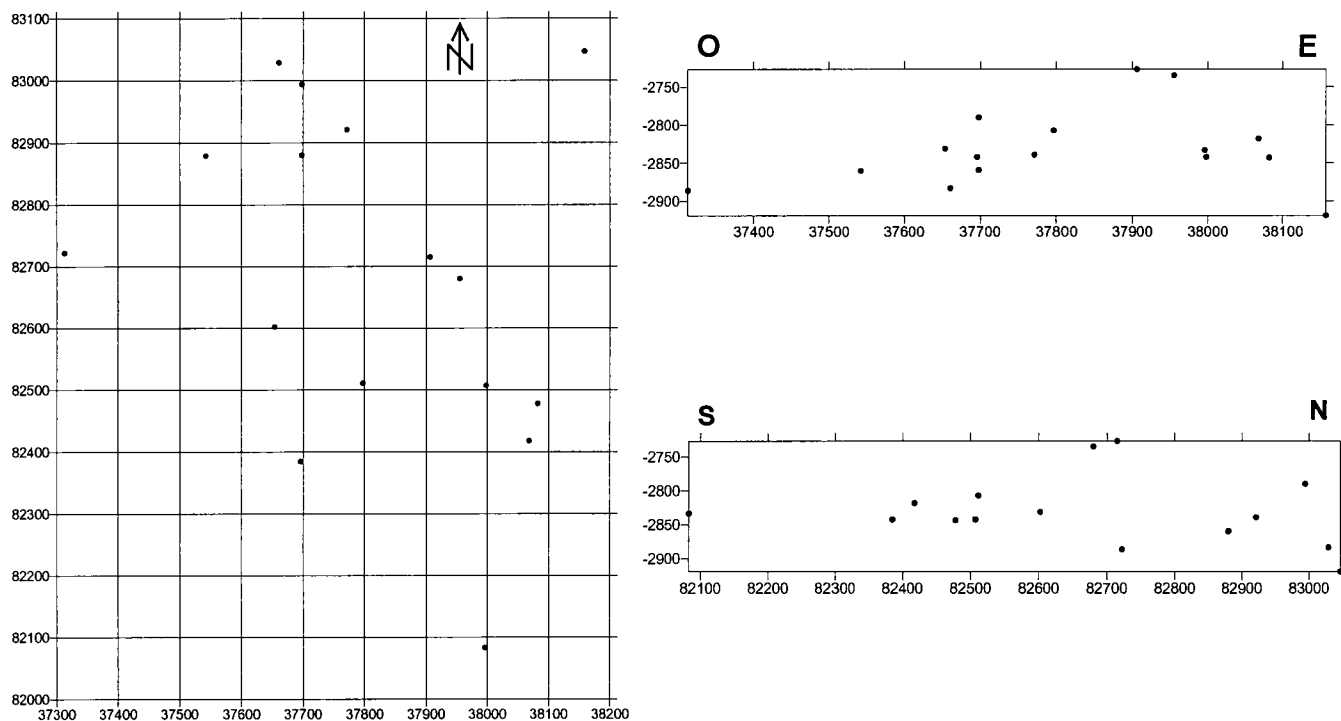


Figura 4. 8.- Planta, secció transversal (O-E) i sagital (S-N) dels materials de N9.

Conclusions:

La mostra de N9 és encara molt escassa, comptant tan sols amb 16 efectius. No obstant, la secció transversal sí deixa clar que es tracta d'una unitat diferent a N10, i també queda ben diferenciat de N8. Per tot això, la classificació d'aquests materials com N9 es perfectament vàlida, i esperem que en la pròxima campanya identifiquem aquesta unitat per sota de la bretxa sobre la que es recolçava N8 en l' àrea central i oest del Testimoni.

4.5. Unitat Arqueològica N10

En la campanya d'excavació de la Roca dels Bous 2001 s'ha excavat una part del nivell 10 que ocupa una àrea aproximada de 2 m² delimitada pels quadres 37400/38600-81600/83200.

La part excavada té una potència mitja d'uns 25 cm, tenint com a z màxima inferior un valor mig de -3300 i una z màxima superior un valor mig de -3000.

El nivell 10 s'insereix dins l'estrat geològic D, descrit en la secció oest del nivell 10.

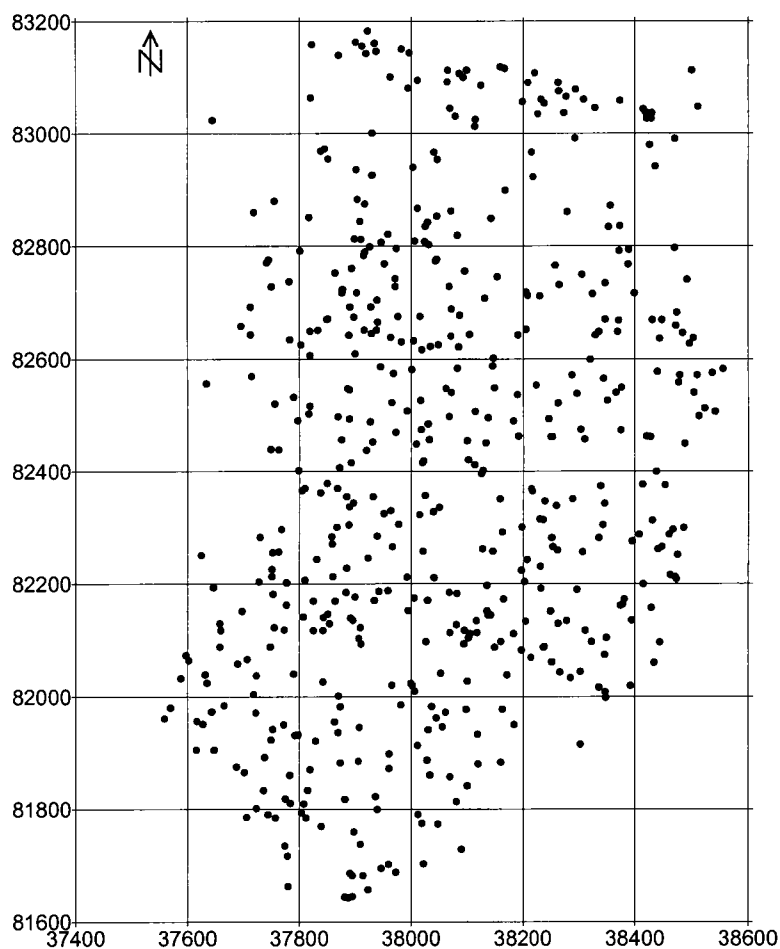


Figura 4. 9.- Planta de dispersió de N10.

El material arqueològic es compon de 512 efectius dels quals 262 són restes arqueofaunístiques, 246 restes lítiques, 1 carbó i 3 restes no categoritzades. La presència d'un sol carbó es deu a que les restes antracològiques del nivell 10 tenien un tamany micromètric que impossibilitava la seva recollida i coordinació, és per aquesta raó que tant sols es va aconseguir recuperar i coordinar només un carbó.

Dins la categoria de restes lítiques, la seva distribució en base a les matèries primes, hi ha un predomini del sílex amb un total de 164 efectius, que representen un 66,6 %, seguit de la quarsita que es comptabilitzen 73 efectius (29,6 %). La resta de roques aportades al jaciment (quars, lidita, calcària i d'altres indeterminades) tant sols representen un 3,6 % del total de restes lítiques coordinades.

A nivell morfològic, en aquest conjunt lític es documenten la majoria de les categories que es poden trobar en la seqüència de talla lítica, exceptuant les BN1G o

Bases Negatives de primera i les BNA o Bases Naturals. Les BP2G o restes de talla són les que representen un major nombre d'efectius, amb un 48,3 % del total de restes lítiques, seguides de les BP o Bases Positives (22,7 %) i les BPI o Bases Positives Informes (15,8 %). La resta de categories estan representades amb percentatges que no arriben al 10 %, que són les BPF o Bases Positives Fracturades (8,1 %), les BN2G o Bases Positives de segona Generació (4,4 %) i les BNE (0.4 %).

MATERIA	BN2G	BNE	BP	BP2G	BPF	BPI	CARBON	OS DET	OS NDET	Total
CALCARIA						1 ,2%				1 ,2%
LIDITA				1 ,2%						1 ,2%
LITIC		1 ,2%								1 ,2%
ORGANIC							1 ,2%			1 ,2%
OS								17 3,3%	245 47,9%	262 51,2%
QUARS				1 ,2%		5 1,0%				6 1,2%
QUARSITA	2 ,4%		13 2,5%	43 8,4%	3 ,6%	12 2,3%				73 14,3%
SILEX	9 1,8%		43 8,4%	74 14,5%	17 3,3%	21 4,1%				164 32,0%
TOTAL	11 2,1%	1 ,2%	56 10,9%	119 23,2%	20 3,9%	39 7,6%	1 ,2%	17 3,3%	245 47,9%	512 100,0%

Taula 4. 3 .- Taula de freqüències absolutes i relatives del Nivell-10.

Les restes faunístiques estan representades per 17 fragments determinables i 245 fragments no determinables. És important remarcar que en el nivell 10 és on s'han recuperat els fragments ossis més grans d'aquesta campanya, i els més ben conservats a nivell de corticals, aquest fet ens indica que la conservació del registre ossi és molt bona, sobretot si ho fem en relació amb la resta de materials recuperats en les altres unitats arqueològiques. Tot i això, l'estat d'aquest material, és, en general, fragmentat i de petit-mitjà tamany, compost essencialment per estelles no determinables. Aquest fet, unit a que la majoria de les restes estan cremades, ens fa pensar en un possible ús com a combustible i a la vegada ens explica l'estat amb el qual es documenten.

En l'observació de les representacions del material en planta no es detecten zones on el material s'acumuli de manera representativa, sinó que més aviat es dispersa homogèniament amb una densitat considerable en tota la seva planta. En la seva secció sagital (Figura 4.11) s'observa que el material arqueològic es concentra en una línia d'uns 10 cm d'espessor ($Z_{inf} = -3250$, $Z_{sup} = -3150$). El material coordinat a la part superior i inferior d'aquests límits, se situa en una àrea de dispersió que correspon a una migració dels materials dins del que són els sediments no consolidats.

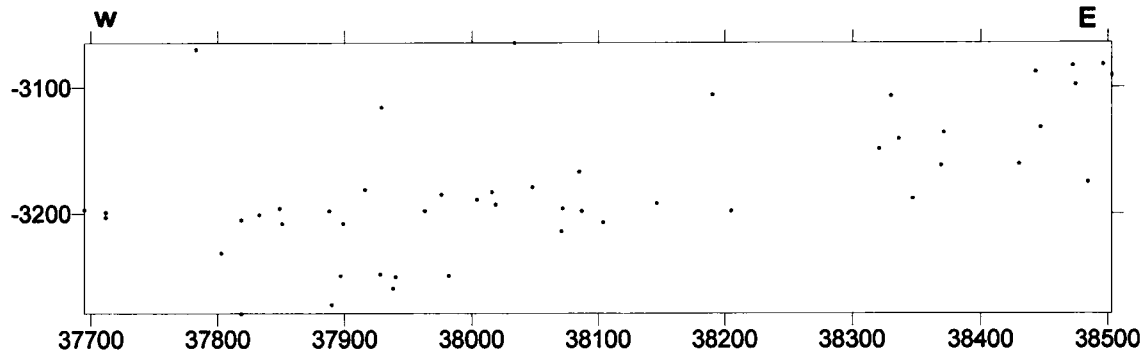


Figura 4. 10- Secció transversal del nivell 10, 82600-82700 de Y variable oculta

Atesa a la poca extensió excavada, podem considerar la densitat d'efectius recuperats com a important, sobretot si ho fem en relació amb la densitat de materials del nivell 9, que és molt menor.

Com a comentari general, cal dir que el material recuperat, en relació als altres nivells, mostra un excepcional estat de conservació sobretot pel que fa al registre lític. Si comparem els materials de N-10 amb els del seu nivell superior N-9, veiem com aquests últims es troben significativament concrecionats, mentre que el registre de N-10, tot i presentar senyals de carbonatació, considerem que el seu estat de preservació és molt superior.

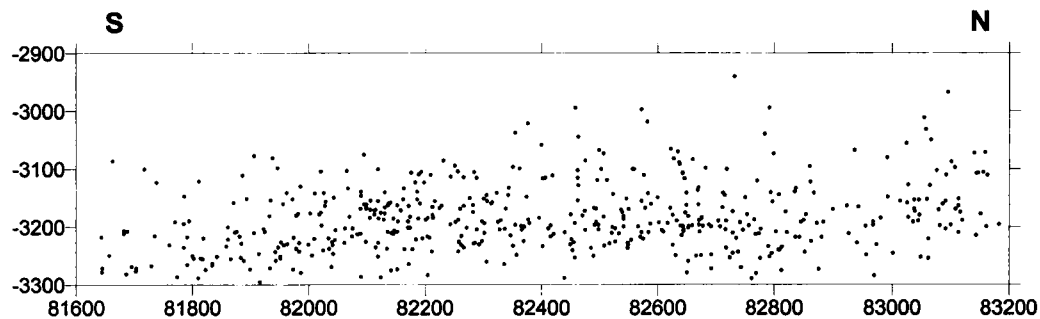


Figura 4. 11.- Delineació de la secció sagital del Nivell-10

Conclusions

Entre els estrats D i E (descrits en la secció oest del testimoni) s'observa que el sediment presenta una tonalitat fosca que està relacionada amb la desaparició del material arqueològic, és a dir, els materials, es posicionen per sobre d'aquesta taca orgànica i va disminuint dràsticament la seva densitat fins desaparèixer del tot a mesura que s'intensifica la tonalitat fosca del sediment. (s'ha recollit una mostra de sediments per realitzar anàlisis)

Quan es va iniciar l'excavació d'aquest nivell, teníem localitzada a la part nord de la secció oest, una estructura de combustió (Parcerisas and Parpal 1997). A mesura que es va anar rebaixant en tota la seva planta, s'ens va fer impossible delimitar i identificar l'estructura en qüestió i va ser rebentada sense aconseguir aclarir de què es tractava. Per altra banda, a l'angle N-O de la base de l'estrat E, es va localitzar una possible zona de rubefacció que presentava un sediment amb una tonalitat ataronjada

que diferia molt en la coloració i textura de la resta del sediment de la base. De cara a les pròximes campanyes, es va optar per prendre la seva forma amb l'estació.

Un aspecte remarcable que hem pogut observar és l'espessor del nivell, que té una potència mitja de 25 cm. Dins d'aquest espai, s'hi identifica al llarg de la seva secció sagital (Figura 4.11.), una línia d'uns 10 cm. d'espessor on s'hi concentra la majoria del material coordinat.

La característica més rellevant d'aquest nivell arqueològic, rau en l'elevada quantitat de materials documentats en una superfície excavada relativament petita, fet que implica una considerable densitat de material arqueològic. Per altra banda, i si comparem els materials del nivell 10 amb la resta dels nivells excavats al llarg de la campanya del 2001, ens trobem davant d'un material arqueològic caracteritzat per un excepcional estat de conservació, sobretot pel que fa al registre lític. Aquestes particularitats fan que el material recuperat en aquest nivell difereixi considerablement als materials dels altres nivells, cosa que ens fa replantejar la possible associació entre N-10 i la unitat arqueològica R8, correlació la qual es pretenia verificar.

Un dels principals objectius per les pròximes campanyes, és el d'excavar en extensió la totalitat del nivell 10 que s'identifica en el testimoni i observar quina és la seva relació amb els nivells de la resta de l'abric. Recordem, a més, que és molt probable que el que aquest any s'ha identificat com N10 correspongui al mateix nivell coordinat com N14 a campanyes anteriors.

5. Sondeig 1 (Pit 1)

5.1. Introducció

La realització del anomenat Sondeig 1 (a partir d'ara Pit1) respon a l'intent de contrastació de la potència del dipòsit arqueològic de la Roca dels Bous. Fins al moment, els nivells arqueològics més profunds documentats en l'abric eren els de l'àrea dels "S". Els estudis geoarqueològics realitzats (Jordá et alii, 1994), no havien pogut senyalar amb precisió quin era la veritable potència del jaciment. Per altra banda, el Sondeig 69-39 està massa allunyat de l'interior de l'abric com per suggerir una connexió sedimentaria amb el mateix, essent molt probable que respongui a una dinàmica independent associada a un altre abric situat en la pendent.

Un dels objectius prioritaris de la campanya de 2001 en la Roca dels Bous era per tant, realitzar una nova estimació del possible espessor dels sediments arqueològics. Per això, es pretenia localitzar la base de la roca mare de l'abric, o almenys conèixer si existien nivells arqueològics en cotes més profundes de les identificades fins el moment, o es tractava de sediments estèrils. El sondeig ha donat resultats positius, i s'han localitzat varies unitats arqueològiques, cosa que implica que la potència de l'abric és molt superior a les estimacions prèvies.

Pit 1 es localitza immediatament fora del mur que delimita la part interior de l'abric, junt al camí que condueix al jaciment. S'ajusta a més a l'àrea dels "S", és a dir, a la part oest de la Roca dels Bous, i va adoptar una direcció nord-sud, tallant la pendent en sentit est-oest.

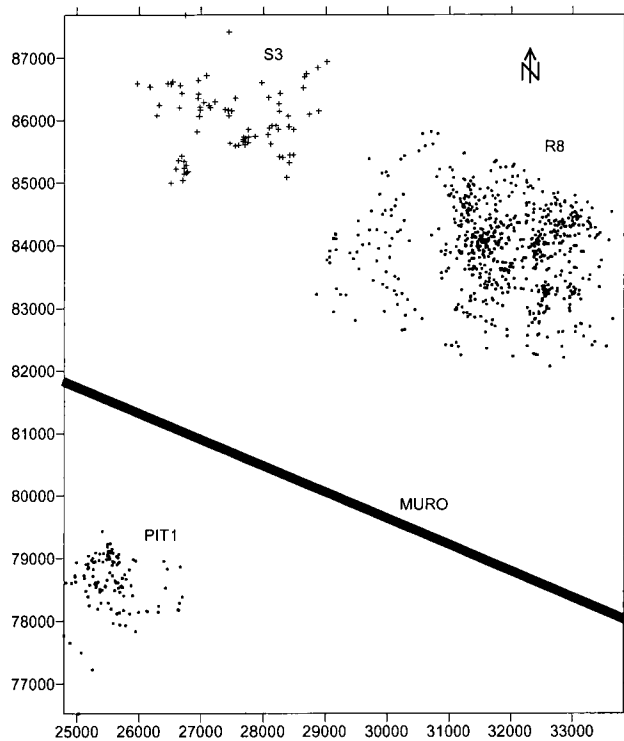


Figura 5. 1.- Planta de Pit 1 en relació amb les unitats arqueològiques principals de l'abric (objectes coordinats al 2001).

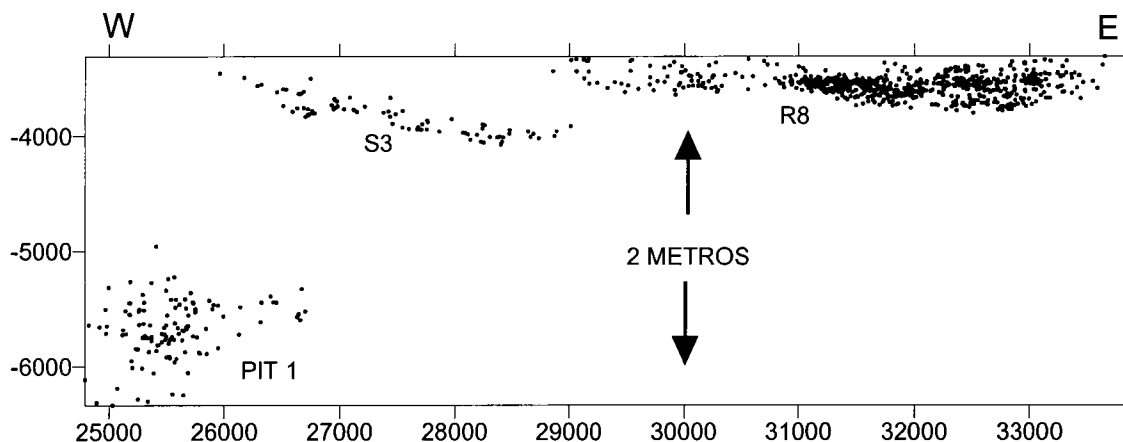


Figura 5. 2.- Secció transversal de Pit 1 en relació amb les cotes de profunditat dels nivells principals de l'abric, R8 i S3 (objectes coordenats al 2001).

La cata del Pit 1 té unes dimensions de 2x1 metres, i arriba a una profunditat entorn als 1'7 metres (veure taula 5.1). Durant el procés d'excavació es distingiren fins a 6 unitats arqueològiques, (P1A, P1B, P1C, P1D, P1E i P1S), que després es van sintetitzar en 4, tal i com es representa a la Figura 5.3.

x	y	z	Id	Còdi
24410	75738	-6775	2	"ARP1"
24462	76985	-6137	3	"ARP1"
25231	79574	-4774	4	"ARP1"
26993	78736	-5079	5	"ARP1"
25409	75535	-6592	6	"ARP1"

Taula 5. 1.- Límits de la quadrícula de Pit 1.

Al realitzar-se els treballs, seguint la pendent natural dels dipòsits, segons anava profunditzant-se en el sondeig, la planta s'ampliava cap al sud. Això explica el perquè els nivells arqueològics superiors (A i C) queden tallats cap el Y=77800, mentre que els inferiors (D i E) adquireixen un major desenvolupament. De mateixa manera, la dispersió de les restes arqueològiques segueix la pendent natural de la vessant, és a dir, en direcció cap al sud.

Respecte a la planta general (Figura 5.4) la dispersió d'objectes es troba molt condicionada per dos elements: en primer lloc, la escassa superfície disponible en els nivells superiors i, en segon, la presència de blocs de derrumbament que arribaren a ocupar gran part de la quadrícula.

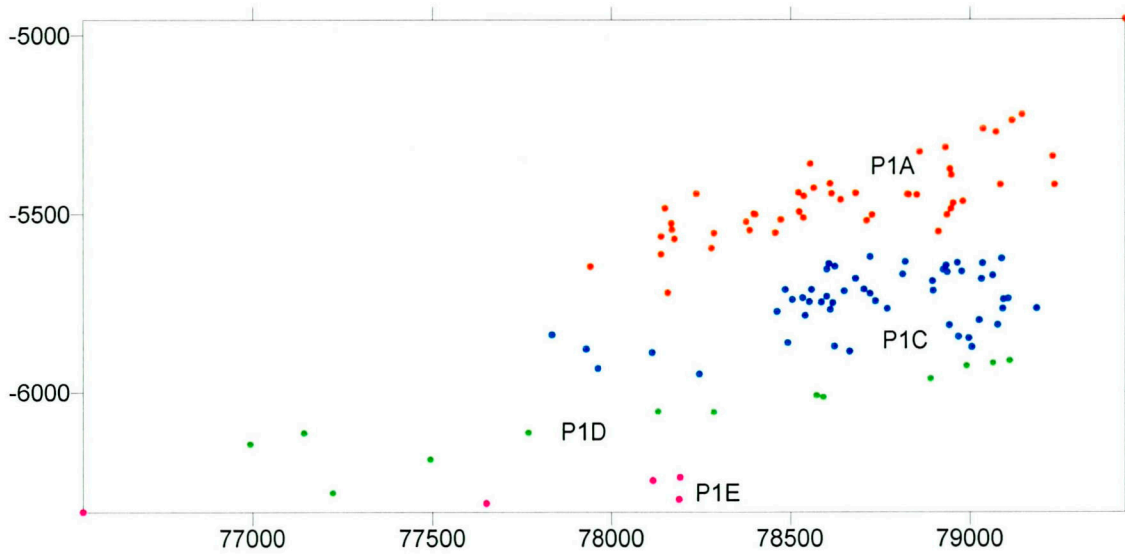


Figura 5. 3.- Secció sagital de les unitats arqueològiques del Pit 1.

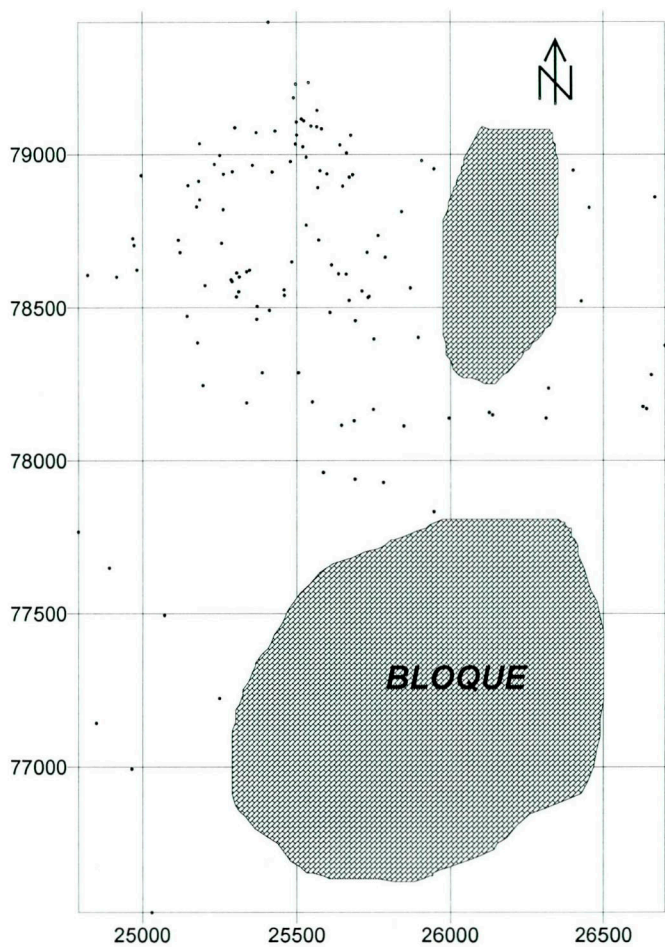


Figura 5. 4.- Planta dels coordenats del Pit 1

De fet, van ser els grans blocs els que finalment impediren la continuació dels treballs en el sondeig ja que, segons es va anant guanyant en profunditat, aquests acabaren per ocupar casi la totalitat de la superfície excavada. No obstant, no sembla

que es tracti de la roca mare, i en el futur podria seguir ampliant-se seguint la pendent de la vessant.

5.2. Estratigrafia Nord del Pit 1

La estratigrafia de referència la constitueix la secció nord del sondeig, on apareixen representats tots els paquets sedimentaris excavats. En aquesta secció els estrats prenen una pendent en direcció a l'oest, acunyant-se cap a l'est dels nivells C1, A1 i C2, i no apareixent el A2 ni el C3 en la part més oriental, degut als derrumbaments que afecten de manera especial a aquesta zona del sondeig. A part del bussament est-oest que s'identifica en la secció nord, existeix un bussament nord-sud que segueix la tendència natural dels dipòsits de la vessant de l'abric.

ESTRAT S:

-Gruix: 10 cms

Nivell superficial, materials no classificats.

ESTRAT C1:

-Gruix: 15 cms

Matriu de sorres gruixudes amb clasts angulosos d'uns 10 cms. Bussament cap a l'oest, s'acunya en la secció est del sondeig. No hi ha materials arqueològics.

ESTRAT A1:

-Gruix: 10 cms

Sorres gruixudes amb detrítics intercalats. Bussament cap a l'oest, s'acunya en la secció est del sondeig. Engloba part dels materials arqueològics de la unitat P1A.

ESTRAT C2:

-Espessor: 19 cms

Clasts angulosos de 10-15 cms. Bussament cap a l'oest, s'acunya en la secció est del sondeig. Engloba part dels materials arqueològics de la unitat P1A.

ESTRAT A2:

-Gruix: 7 cms.

Sorres amb detrítics intercalats. No s'identifica en la part oriental del sondeig. Engloba els materials arqueològics de la unitat P1C.

ESTRAT C3:

-Gruix: 60 cms.

Nivell de clasts angulosos petits-mitjans sense quasi matriu, que augmenten de tamany amb la profunditat. No s'identifica en la part oriental del sondeig. Engloba els materials arqueològics de la unitat P1D, que es localitzen en una cota mitja del nivell C3.

ESTRAT BL1:

-Gruix: 20 cms.

Grans blocs de derrumbament de més de 50 cms. Es localitza la unitat arqueològica P1E

ESTRAT A3:

-Gruix:15 cms

Sorres gruixudes vermelles amb clasts d'entre 10 i 20 cms. Notablement més espès en la secció est del sondeig. No hi ha materials arqueològics.

ESTRAT A4:

-Gruix: >8 cms.

Llims grisos amb detrítics que no arriben a centimètrics i amb clasts intercalats de diferents tamanys (20 – 50 cms). Més espès en la secció oest del sondeig. No hi ha materials arqueològics.

BASE DEL SONDEIG: grans blocs (més de 1 metre) de derrumbament. No hi ha materials arqueològics.

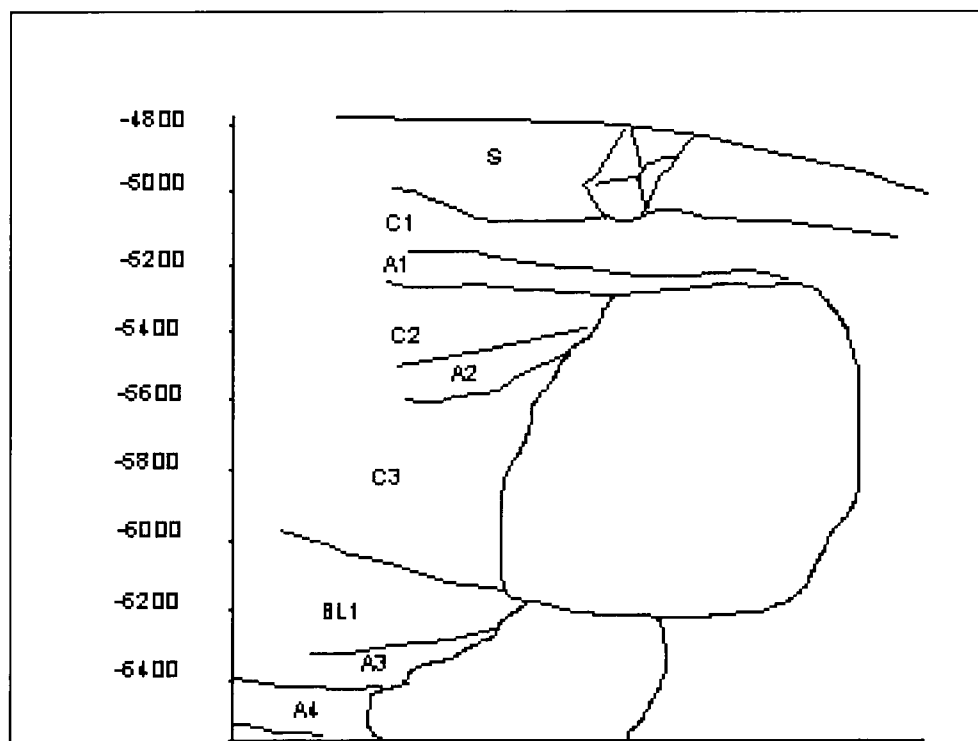


Figura 5. 5.- Esquema de la estratigrafia del Pit 1.

5.3. Nivells arqueològics

Les unitats arqueològiques P1A i P1C mostren les mateixes característiques que trobem en els materials de S3, R3 o R8, amb diferents varietats de sílex, quarsites i ossos de petit tamany, amb bones condicions de preservació per les restes lítiques i dolentes per les òssies. La densitat de materials és bastant alta, sobre tot si tenim en compte el reduït tamany de la superfície excavada de cada una d'aquestes unitats arqueològiques.

Respecte a la unitat P1D, les seves característiques són una mica diferents: en primer lloc, es tracta d'una única línia de materials, molt ben definida en secció (veure Figura 5.3.), fet que contrasta amb la major densitat del nivell A i C. A més, pràcticament totes les peces de P1D són materials lítics d'un tamany superior als 5 cms. Això, junt a unes arestes lleugerament rodades i a un substrat de còdols de gran tamany que configuren el nivell geològic de C3, suggereix que és possible que la unitat arqueològica P1D hagi estat rentada, desapareixent les peces més petites.

Per últim, P1E el configuren unes poques peces poc representatives i sense una coherència excessiva que ens permeti parlar d'una unitat arqueològica clara.

NIVELL	MATERIA	BN2G	BNA	BNE	BP	BP2G	BPF	BPI	OS	DET	OS NDET	TOTAL
P1A	OS										7	7
	QUARSITA	1	2	1	3	3	11	1				22
	SILEX	1			7	3	6	1				20
P1C	OS									7	19	26
	QUARSITA				3	3	2	2				10
	SILEX	1				9	4					14
P1D	LITIC				1							1
	QUARSITA		1		3	2	1					8
	SILEX				3	1						4
P1E	QUARSITA					3						3
	SILEX					2						2
TOTAL		3	3	1	20	26	24	4	7		26	117

Taula 5. 2.- Recomptes d'objectes coordinats al Pit 1.

5.4.- Conclusions

La documentació d'unitats arqueològiques en el Pit 1 permet afirmar que la potència de la Roca dels Bous és bastant gran, i que existeixen varies ocupacions humanes per sota de les identificades fins ara. En el sondeig encara no s'ha arribat a la roca mare, fet que anima a continuar realitzant trinxeres en la pendent de l'abric, en busca d'ocupacions encara més antigues.

A més, si assumim que els nivells documentats en el Sondeig tindran una correlació en l'àrea propera a l'interior de l'abric, comptarem amb estrats arqueològics d'una extensió molt considerable en planta, cosa que ara, degut a diverses causes, no disposem en la zona dels "S" i els "R".

6. Conclusions

6.1. Valoració dels treballs realitzats

Durant la campanya de 2001 s'han coordinat més de 2000 objectes entre les quatre àrees intervingudes (zona dels "R", zona dels "S", Testimoni i Pit 1). La major part d'ells corresponen a la UA R8, ja que és aquí on s'ha obert una major superfície d'excavació. Encara no s'ha esgotat aquesta unitat, quedant sediments de la mateixa en la zona del Testimoni, i cap el sud de l'àrea excavada d'aquest any. No sabem quin serà el comportament d'aquest nivell en les zones que resten per treballar ja que, com ha passat amb altres unitats, és possible que no s'aconsegueixi resseguir en planta per una superfície molt major a la que ara tenim documentada.

El següent nivell amb més coordinats és N8. Aquesta UA té la particularitat de concentrar-se en un àrea molt petita (entorn a 1 m²), i sembla no tenir continuïtat. A més, la major part dels seus coordinats són restes de talla de reduït tamany, i es per això que el seu potencial informatiu és bastant limitat. En addició, l'estructura del Testimoni ens indica que, a excepció de la columna que queda del Testimoni, la UA N8 ha estat esgotada definitivament.

UA	Freqüència	Percentatge
N10	512	25,0
N6	2	,1
N8	529	25,8
N9	16	,8
P1A	49	2,4
P1C	52	2,5
P1D	13	,6
P1E	5	,2
R3	2	,1
R8	736	35,9
R9	13	,6
S1	7	,3
S2	25	1,2
S3	87	4,2
SR3	2	,1
Total	2050	100,0

Taula 6. 1.- Recòmptes de coordinats de totes les unitats arqueològiques estudiades a la campanya del 2001.

N10 es possiblement la UA més interessant excavada durant aquesta campanya, tant per la densitat de materials (500 peces en uns 2 m²), com per la qualitat dels mateixos, amb unes peces lítiques molt fresques i amb fragments ossis en millor estat de conservació que a la resta del abric. Al testimoni encara queda una superfície relativament àmplia per excavar cap al oest, per tant en els pròxims anys s'ha de continuar treballant en l'estudi d'aquesta unitat arqueològica.

A la resta de les UA excavades en 2001 presenten densitats de materials substancialment més baixes. Amb respecte a R3, N6, S1 i S2, això es deu a que només s'ha treballat en ells de forma tangencial, mentre s'excavaven els nivells principals de cadascuna de les àrees (R8, N10 i S3 respectivament). No es aquest el cas de S3, on sí s'ha excavat una superfície àmplia i no obstant contem amb una escassa densitat de peces. No obstant, la rellevància de S3 radica en la homogeneïtat del nivell (els coordinats estan molt agrupats pel que es refereix a les cotes de profunditat) i en la

associació d'una llar (S3E2) aquests objectes. No cal oblidar, a més, que tant S3 com els nivells suprajacents tenen una continuïtat evident cap al est del abric, per lo que en les campanyes futures podrà seguir ampliant-se la mostra d'aquesta unitat arqueològica.

Per últim, les UA representades en Pit 1 (P1A, P1C, P1D y P1E) tampoc presenten una densitat important de materials, encara que s'ha de pensar en la reduïda superfície oberta en el sondeig. A més, el rellevant d'aquestes peces es que demostren que el dipòsits de la Roca dels Bous es molt més potent del que s'havia plantejat.

6.2. Objectius per les properes campanyes

La presència de llars en S3 i R8, i la definició d'agrupacions discretes en planta i secció ens permet continuar parlant de sòls d'ocupació en la Roca dels Bous, que corroboren la reiteració de las visites a l'abric dels grups humans del Paleolític mitjà durant un període dilatat de temps. Per tot això, els objectius de futur en el jaciment passen per:

- La excavació dels nivells del Testimoni (prioritzant els treballs en N10), amb la finalitat de connectar la part oriental del abric amb l'àrea dels "R".
- Finalització dels treballs en R8, dels quals encara quedaria una zona important per excavar vers al Testimoni, i un àrea més reduïda vers al sud.
- Connexió de la zona dels "R" amb l'àrea dels "S", i excavació en extensió d'aquestes superfícies més àmplies.
- Identificar en planta les unitats arqueològiques documentades en Pit 1, i realitzar una correlació amb els nivells de l'interior de l'abric.
- Portar a terme nous sondeigs en cotes més baixes de la pendent de l'abric, a fi de comprovar si existeixen ocupacions encara més antigues de les identificades en Pit 1.

Tot això permetrà continuar profunditzant en la dinàmica dels processos de formació del dipòsit de la Roca dels Bous, i en la comprensió de les comunitats que van habitar el nord-est de la Península Ibèrica durant el Pleistocè superior.

7. Bibliografia

- Casellas, S., J. Martínez, et al. (1992). El jaciment de Paleolític Mig: Roca dels Bous (Camarasa, La Noguera). Bellaterra, Dpt. d'Història de les societats precapitalistes i Antropologia Social. UAB: 132.
- Jordá, J. F.; Martínez, J; Mora, R.; Sánchez, F. L. (1992) "Modelos deposicionales y ocupación antrópica en el NE de la Península Ibérica durante el Paleolítico Medio" *Geoarqueología. Actas de la 2ª Reunión Nacional de Geoarqueología*. Madrid
- Parcerisas, J. i A. Parpal (1997). La Roca dels Bous (Camarassa, Lleida): el concepte de sòl d'ocupació i d'unitat arqueològica en el context del Paleolític Mig català. Memòria d'excavació de la campanya de 1994:. Barcelona, servei d'Anàlisi Arqueològiques: 84.
- Sunyer, E. (1973) Un Nuevo yacimiento musteriense en Cataluña. *Géologie des Pays Catalans*. Barcelona, pp.1-12

Annex 1: Base de Dades

NIVELL	NUMERO	X	Y	Z	MATERIA	OBJECTE	ORI_EMA	PEND	OBS_UA
N10	1	38265	82732	-2940	SILEX	BPF	338	60	
N10	2	38311	82458	-2994	SILEX	BP2G			
N10	3	38011	83095	-2967	SILEX	BP			
N10	4	38001	82582	-3018	SILEX	BP2G			
N10	5	38372	82792	-2994	SILEX	BP			
N10	6	37932	82355	-3037	SILEX	BP2G			
N10	7	37910	82094	-3075	SILEX	BP2G			
N10	8	37909	81738	-3123	SILEX	BPF			
N10	9	38392	82020	-3104	SILEX	BP			
N10	10	38479	82572	-2997	SILEX	BP2G			
N10	11	38239	83054	-3011	SILEX	BP			
N10	12	37869	81937	-3081	SILEX	BP2G			
N10	13	37907	81946	-3098	SILEX	BP2G	208	6	
N10	14	37905	81886	-3111	SILEX	BP			
N10	15	38453	82376	-3021	SILEX	BP2G			
N10	16	37616	81906	-3077	QUARSITA	BP			
N10	17	37780	81663	-3086	SILEX	BPI			
N10	18	37779	81717	-3100	SILEX	BP2G			
N10	19	37784	81811	-3121	SILEX	BPF			
N10	20	37842	82118	-3100	QUARSITA	BP2G			
N10	21	38437	82400	-3058	SILEX	BP2G			
N10	22	38232	82231	-3085	SILEX	BP2G			
N10	23	38191	82463	-3044	QUARSITA	BPI			
N10	24	38198	83057	-3031	SILEX	BP	256	4	
N10	25	37752	82256	-3104	SILEX	BP2G			
N10	26	37625	82251	-3094	OS	NDET	344	14	
N10	27	37602	82065	-3103	SILEX	BP2G			
N10	28	38034	82623	-3065	ORGANIC	CARBO			
N10	29	38006	82010	-3142	SILEX	BP			
N10	30	37705	81786	-3147	SILEX	BP2G			
N10	31	38277	83066	-3049	SILEX	BP	262	4	
N10	32	37783	82635	-3070	SILEX	BP	226	14	
N10	33	37915	82784	-3039	OS	NDET			
N10	34	37819	81871	-3158	OS	NDET			
N10	35	37863	81956	-3160	QUARS	BPI			
N10	36	37738	81893	-3151	SILEX	BP2G			
N10	37	37706	82067	-3133	OS	NDET			
N10	38	37665	81985	-3130	SILEX	BP			
N10	39	37635	82025	-3141	QUARSITA	BPI			
N10	40	38233	82192	-3105	SILEX	BP2G			
N10	41	38513	82499	-3067	QUARS	BP2G			
N10	42	38304	82475	-3085	SILEX	BP2G			
N10	43	38289	82351	-3096	SILEX	BP			
N10	44	37657	82089	-3139	OS	NDET			Q
N10	45	37722	81972	-3152	SILEX	BP			
N10	46	37559	81962	-3141	OS	NDET			Q
N10	47	37657	82130	-3140	SILEX	BP2G			
N10	48	37753	82182	-3123	OS	NDET			Q
N10	49	37958	82188	-3109	SILEX	BP2G			
N10	50	38005	82175	-3106	OS	NDET			
N10	51	38135	82197	-3123	SILEX	BP2G			
N10	52	38239	82089	-3146	OS	NDET			Q
N10	53	38312	82118	-3155	SILEX	BP2G	246	2	
N10	54	37858	82284	-3105	SILEX	BP2G			
N10	55	37838	82362	-3099	QUARSITA	BP	237	0	
N10	56	37817	82503	-3100	SILEX	BP			
N10	57	37901	82936	-3067	SILEX	BP	177	46	
N10	58	37777	82163	-3133	OS	NDET			Q 2 FRAGS
N10	59	38118	81934	-3154	SILEX	BP2G			
N10	60	38100	82028	-3156	SILEX	BP			
N10	61	38159	82098	-3161	OS	NDET			Q
N10	62	37634	82557	-3100	SILEX	BPI	358	2	Q
N10	63	38022	82419	-3111	SILEX	BP2G			
N10	64	38253	82462	-3102	SILEX	BPI	238	226	
N10	65	37926	82799	-3073	SILEX	BP2G			
N10	66	38052	82042	-3149	OS	NDET			
N10	67	38102	82105	-3154	SILEX	BP2G			
N10	68	38148	82088	-3168	OS	NDET			Q

NIVELL	NUMERO	X	Y	Z	MATERIA	OBJECTE	ORI_EMA	PEND	OBS_UA
N10	69	38135	82152	-3162	OS	NDET			2 FRAGS
N10	70	38094	82094	-3161	QUARSITA	BP2G			
N10	71	37718	82860	-3095	SILEX	BP			
N10	72	38190	82643	-3106	SILEX	BPI			
N10	73	38116	82135	-3162	SILEX	BP			
N10	74	38068	82185	-3152	OS	NDET			
N10	75	38026	82098	-3166	OS	NDET			Q
N10	76	38002	82020	-3175	OS	NDET			
N10	77	37870	82002	-3176	QUARSITA	BP2G			
N10	78	37842	82027	-3163	OS	NDET			Q
N10	79	37891	82140	-3158	OS	NDET			
N10	80	37895	82136	-3159	OS	NDET			Q
N10	81	37792	81932	-3181	OS	NDET			
N10	82	37799	82402	-3116	OS	NDET			Q
N10	83	37831	82244	-3113	OS	NDET			
N10	84	37872	82407	-3115	SILEX	BPI			
N10	85	37839	81770	-3191	SILEX	BPF			Q
N10	86	37883	82185	-3139	QUARSITA	BP2G			
N10	87	37896	82344	-3132	QUARSITA	BP2G	193	13	
N10	88	37962	83101	-3087	QUARSITA	BP2G			
N10	89	37804	81794	-3189	QUARSITA	BP2G			
N10	90	37884	82228	-3163	OS	NDET			Q
N10	91	38029	82171	-3163	QUARSITA	BP2G			
N10	92	37854	82130	-3166	SILEX	BP2G			
N10	93	37773	82119	-3185	QUARSITA	BP2G			
N10	94	37909	82123	-3175	QUARSITA	BP2G			2 FRAGS
N10	95	37906	82104	-3184	SILEX	BN2G	188	45	DENTICULAT
N10	96	37992	82212	-3179	QUARSITA	BP2G			
N10	98	38015	82323	-3141	SILEX	BP2G			
N10	99	37929	82646	-3116	LIDITA	BP2G			
N10	100	38205	82719	-3100	SILEX	BP2G			
N10	101	37864	82170	-3190	SILEX	BP2G			
N10	102	37860	82213	-3184	SILEX	BPI			
N10	103	37942	82187	-3185	QUARSITA	BP2G			
N10	104	38182	82112	-3171	QUARSITA	BP2G			
N10	105	37977	82306	-3155	QUARSITA	BP2G			
N10	106	38137	82496	-3119	QUARSITA	BP2G			
N10	107	38541	82507	-3073	SILEX	BP2G			
N10	108	38472	82660	-3083	SILEX	BP2G			
N10	109	38443	82637	-3088	OS	NDET			
N10	110	38330	82643	-3107	OS	NDET			
N10	111	37965	82523	-3143	SILEX	BP			
N10	112	37889	82546	-3151	SILEX	BP			
N10	113	37825	82170	-3201	QUARSITA	BP			
N10	114	37829	81922	-3203	QUARSITA	BP2G			
N10	115	37597	82074	-3216	QUARSITA	BN2G	0	0	
N10	116	38473	82209	-3110	SILEX	BPF	212	17	
N10	117	38460	82288	-3115	SILEX	BP2G	0		
N10	118	38427	82462	-3115	SILEX	BPF	140		
N10	119	38145	82588	-3160	CALCARIA	BPI			
N10	120	38496	82628	-3082	OS	NDET			
N10	121	38231	82315	-3157	OS	NDET			
N10	122	38447	82266	-3114	OS	NDET			
N10	123	37742	82771	-3120	SILEX	BP2G			
N10	124	38196	82224	-3167	OS	NDET			
N10	125	38024	82808	-3144	SILEX	BP2G			
N10	126	38011	82867	-3141	OS	NDET			
N10	127	38477	82559	-3100	OS	NDET			
N10	128	38420	82463	-3128	SILEX	BP2G			
N10	129	38251	82462	-3154	SILEX	BP2G			
N10	130	38346	82343	-3145	SILEX	BPF	130	10	
N10	131	38343	82305	-3145	SILEX	BP2G			
N10	132	38237	82314	-3158	OS	NDET			
N10	133	38254	82266	-3163	OS	NDET			
N10	134	38297	82190	-3159	OS	NDET			
N10	135	38374	82162	-3152	OS	NDET			
N10	136	38339	82374	-3148	SILEX	BP2G			
N10	137	38117	82114	-3170	QUARSITA	BP2G			
N10	138	37646	82194	-3219	QUARSITA	BPI			
N10	139	37996	83144	-3107	OS	NDET			
N10	140	38086	83107	-3097	QUARSITA	BP2G			

NIVELL	NUMERO	X	Y	Z	MATERIA	OBJECTE	ORI_EMA	PEND	OBS_UA
N10	142	38470	82991	-3080	QUARSITA	BP			
N10	143	38474	82683	-3098	OS	NDET			
N10	144	38503	82638	-3091	OS	NDET			
N10	145	38260	82339	-3168	OS	NDET			
N10	146	38252	82282	-3174	QUARSITA	BP2G			
N10	147	38262	82260	-3168	OS	NDET			
N10	148	38336	82282	-3162	OS	NDET			Q
N10	149	38395	82276	-3150	QUARSITA	BPI			
N10	150	38394	82136	-3162	QUARSITA	BP2G			
N10	152	37916	82652	-3181	OS	NDET			Q
N10	154	37951	82325	-3191	OS	NDET			
N10	155	37768	82297	-3224	OS	NDET			
N10	156	37730	82283	-3228	OS	NDET			
N10	158	37588	82033	-3219	QUARSITA	BP2G			
N10	160	37659	82118	-3227	QUARSITA	BP2G			
N10	161	37994	82153	-3190	QUARSITA	BPI			
N10	162	37757	81785	-3194	QUARSITA	BPF	330	0	
N10	164	38064	83092	-3110	QUARSITA	BPI			
N10	166	37912	83156	-3105	QUARSITA	BP			
N10	167	37900	83163	-3110	QUARSITA	BP2G			
N10	169	37822	83159	-3071	OS	NDET			
N10	172	37749	81924	-3208	QUARSITA	BP			
N10	173	37687	81876	-3208	OS	NDET			
N10	174	37570	81981	-3177	QUARSITA	BP2G			
N10	175	38536	82576	-3110	SILEX	BP2G			
N10	176	38371	82669	-3136	OS	NDET			
N10	177	38336	82649	-3141	QUARSITA	BP2G			
N10	178	38321	82600	-3149	SILEX	BP2G			
N10	179	38189	82537	-3170	SILEX	BP2G			
N10	180	38114	82507	-3182	SILEX	BP2G			
N10	181	38202	82204	-3184	OS	NDET			Q
N10	182	37937	83147	-3106	QUARSITA	BPI			
N10	184	37870	83140	-3072	SILEX	BP2G			
N10	185	37644	83024	-3055	SILEX	BP			
N10	186	38081	82128	-3187	OS	NDET			
N10	187	38141	82145	-3185	OS	NDET			
N10	188	38162	81978	-3180	OS	NDET			
N10	189	37960	81873	-3209	SILEX	BPI			Q
N10	190	37965	82021	-3197	QUARSITA	BP2G			
N10	191	37775	81819	-3219	SILEX	BP2G			
N10	192	37744	81791	-3217	OS	NDET			Q
N10	193	37774	81735	-3215	OS	NDET			Q
N10	194	37887	81643	-3217	OS	NDET			PERDUDA
N10	195	37894	81682	-3211	OS	NDET			Q
N10	196	37972	81688	-3207	OS	NDET			
N10	197	37812	81785	-3235	OS	NDET			Q
N10	198	37783	81861	-3221	OS	NDET			FRAGS
N10	199	37914	81682	-3206	OS	NDET			FRAGS
N10	200	37897	81760	-3231	OS	NDET			Q
N10	201	38033	81861	-3200	QUARSITA	BP	160	10	
N10	202	38214	82070	-3182	OS	NDET			Q
N10	203	38105	82112	-3178	QUARSITA	BP2G			
N10	204	38279	82861	-3122	SILEX	BP2G			
N10	205	37820	83064	-3128	SILEX	BP2G			Q
N10	206	38208	82713	-3141	QUARSITA	BP2G			
N10	207	37750	82729	-3173	SILEX	BPF			
N10	208	38263	82130	-3176	OS	NDET			Q
N10	209	38164	82173	-3182	QUARSITA	BP2G			
N10	210	37851	82147	-3206	SILEX	BP			
N10	211	38182	82490	-3167	SILEX	BP2G			
N10	212	38325	82716	-3145	SILEX	BP2G			Q
N10	213	37945	82587	-3194	OS	NDET			Q
N10	214	37807	82142	-3210	OS	NDET			Q
N10	215	37859	82271	-3201	OS	NDET			
N10	216	37777	82203	-3216	SILEX	BP			
N10	217	37850	82379	-3193	OS	NDET			
N10	218	37884	82355	-3196	OS	NDET	320		
N10	219	37867	82301	-3193	OS	NDET			
N10	220	37963	82330	-3188	OS	NDET	68		
N10	221	37892	82416	-3197	OS	NDET			
N10	222	37797	82491	-3196	OS	NDET			

NIVELL	NUMERO	X	Y	Z	MATERIA	OBJECTE	ORI_EMA	PEND	OBS_UA
N10	223	37972	82470	-3180	OS	NDET			
N10	224	37889	82494	-3191	OS	NDET			
N10	225	37875	82457	-3193	OS	NDET			
N10	226	37749	82440	-3209	OS	NDET			
N10	227	38146	82602	-3192	OS	NDET			
N10	228	38072	82541	-3186	OS	NDET			
N10	229	38085	82622	-3167	OS	NDET			
N10	230	38048	82626	-3179					PERDUT
N10	231	37976	82676	-3185	OS	NDET			
N10	232	37833	82652	-3201	SILEX	BPI	334	12	
N10	233	37643	81974	-3218	QUARSITA	BP2G			
N10	235	38016	82676	-3183	OS	NDET			
N10	236	37963	82639	-3198	OS	NDET			Q
N10	237	37939	82705	-3189	OS	NDET			
N10	238	37888	82643	-3198	QUARSITA	BP2G			
N10	239	37849	82671	-3196	OS	NDET			
N10	240	37695	82659	-3197	OS	NDET			
N10	241	37810	82207	-3218	OS	NDET			
N10	242	37628	81952	-3226	SILEX	BP			
N10	243	38231	82712	-3166	OS	NDET			
N10	245	38004	82633	-3189	OS	NDET			Q
N10	246	37902	82718	-3189	QUARS	BPI	292	16	
N10	247	37899	82610	-3208	OS	NDET			
N10	248	37864	82753	-3178	OS	NDET			
N10	249	37756	82521	-3210	SILEX	BP2G			
N10	250	37712	82693	-3199	QUARSITA	BP2G			
N10	252	37632	82040	-3231	SILEX	BPI	358	12	
N10	253	37617	81957	-3231	QUARSITA	BP2G			
N10	254	37647	81906	-3210	OS	NDET			Q
N10	255	37701	81866	-3255	SILEX	BP	285	8	
N10	256	37772	81951	-3251	QUARSITA	BPI	336	26	
N10	257	38420	83027	-3127					PERDUT
N10	258	38293	82992	-3148	SILEX	BP2G			
N10	259	38065	83113	-3151	QUARSITA	BP2G			
N10	260	38113	83013	-3155	OS	NDET	330		
N10	261	38069	83045	-3153	OS	NDET			Q
N10	262	37908	82844	-3191	QUARSITA	BP2G			
N10	264	38019	82617	-3193	OS	NDET			
N10	265	37718	82005	-3249	SILEX	BP			
N10	266	37752	81943	-3258	SILEX	BP			
N10	267	38208	83091	-3155	OS	NDET			
N10	268	38124	83086	-3160	OS	NDET			
N10	269	38114	83025	-3158	OS	NDET			
N10	270	38167	82899	-3169	SILEX	BP2G			
N10	271	38099	83113	-3163	QUARSITA	BP2G			
N10	272	38373	82836	-3133	OS	NDET	280	14	
N10	273	38353	82834	-3139	SILEX	BP2G			
N10	274	38306	82750	-3149	QUARSITA	BP2G			
N10	275	37805	82366	-3204	OS	NDET			
N10	276	37810	82370	-3200	OS	NDET	247	3	
N10	277	37868	82370	-3199	OS	NDET	279	15	
N10	278	38523	82513	-3119	OS	NDET			Q
N10	279	37889	82337	-3203	OS	NDET			2 FRAGS
N10	280	37723	82038	-3269	SILEX	BP			
N10	281	37881	81818	-3255	QUARSITA	BN2G			
N10	282	37939	81800	-3250	OS	NDET			
N10	283	37873	81883	-3253	SILEX	BP2G			
N10	284	37873	81983	-3242	OS	NDET	46		
N10	285	37790	82041	-3246	SILEX	BPF			
N10	286	37825	82118	-3251	OS	NDET			Q
N10	287	37899	82177	-3238	SILEX	BP			
N10	288	37819	82607	-3205	SILEX	BP			
N10	289	38264	83076	-3102	QUARSITA	BP2G			
N10	290	37723	81802	-3254	OS	NDET			
N10	291	37815	81834	-3263	SILEX	BPI			
N10	292	37736	81834	-3266	OS	NDET	230		
N10	294	38083	82819	-3173	SILEX	BP2G			
N10	295	38045	82853	-3178	SILEX	BP2G			
N10	296	37958	82821	-3209	OS	NDET			
N10	297	37903	82883	-3191	SILEX	BN2G	300	8	DENTICULADO
N10	298	37851	82672	-3208	OS	NDET			

NIVELL	NUMERO	X	Y	Z	MATERIA	OBJECTE	ORI_EMA	PEND	OBS_UA
N10	299	37869	82498	-3204	OS	NDET	10	3	
N10	300	38430	82313	-3159	OS	NDET			
N10	301	38486	82300	-3151	SILEX	BP2G			
N10	302	38462	82216	-3155	SILEX	BP2G			
N10	303	38068	82498	-3196	OS	NDET			
N10	304	38018	82475	-3205	OS	NDET			Q
N10	305	37790	82533	-3211	OS	NDET			
N10	306	37819	82517	-3228	SILEX	BPI			
N10	308	38247	82494	-3168	OS	NDET			
N10	309	38323	82098	-3168	OS	NDET			
N10	310	37886	82548	-3227	OS	NDET	206	1	
N10	311	37712	82644	-3203	OS	NDET			
N10	312	37714	82570	-3217	OS	NDET			
N10	313	38125	82396	-3184	OS	NDET	184	16	
N10	314	38039	82328	-3204	OS	NDET			
N10	315	37939	82285	-3227	OS	NDET			Q
N10	316	38349	82105	-3170	OS	NDET			
N10	317	38336	82017	-3178	OS	NDET			
N10	318	37763	82257	-3242	OS	NDET			Q
N10	319	38020	82416	-3216	OS	NDET			
N10	320	38102	82421	-3212	QUARSITA	BP2G			
N10	321	38113	82412	-3202	SILEX	BPI			
N10	322	38217	82365	-3198	OS	NDET			Q
N10	323	38471	82212	-3165	SILEX	BP2G			
N10	324	37966	82266	-3235	OS	NDET			Q
N10	325	38021	82258	-3226	OS	NDET			
N10	326	38082	82183	-3221	OS	NDET			
N10	327	38207	82243	-3195	OS	NDET			
N10	328	38307	82257	-3187	OS	NDET			
N10	329	38428	82158	-3171	SILEX	BP2G			
N10	330	38036	81983	-3227	OS	NDET			
N10	331	38072	82689	-3196	SILEX	BP2G			
N10	332	38369	82649	-3162	SILEX	BP	255	4	
N10	333	38447	82670	-3132	SILEX	BP	260	9	
N10	334	38218	82923	-3163	SILEX	BN2G	280	1	
N10	335	38389	82794	-3140	QUARSITA	BPI			
N10	336	38273	83037	-3153	SILEX	BP	245	5	
N10	337	37994	83081	-3197	SILEX	BP			
N10	338	37930	82926	-3211	QUARSITA	BP			
N10	339	38087	82678	-3198	OS	NDET			
N10	340	38297	82539	-3174	OS	NDET			
N10	341	38375	82474	-3172	OS	NDET			
N10	342	38197	82301	-3210	OS	NDET			
N10	343	38278	82135	-3208	SILEX	BPI			
N10	344	37999	82024	-3240	OS	NDET			
N10	345	38044	81963	-3229	OS	NDET			
N10	346	38069	81858	-3233	QUARSITA	BP			
N10	347	38119	81881	-3216	OS	NDET			
N10	348	38303	82045	-3205	OS	DET	0	0	
N10	349	38414	82200	-3187	OS	DET	280	4	
N10	350	38166	83116	-3174	OS	NDET	202	14	Q
N10	351	37845	82973	-3230	SILEX	BP2G			
N10	352	38040	82967	-3196	OS	NDET			Q
N10	353	38142	82849	-3188	OS	NDET	157	4	
N10	354	38031	82803	-3208	OS	DET			2 FRAGS
N10	355	38068	82729	-3210	SILEX	BP2G			
N10	356	38071	82641	-3214	OS	NDET			FRAGS
N10	357	38258	82766	-3187	OS	NDET			
N10	358	38407	82288	-3204	SILEX	BP			
N10	359	38250	82152	-3208	OS	NDET			Q
N10	360	38137	82145	-3211	OS	NDET			
N10	361	38196	82083	-3212	OS	NDET	40	8	
N10	362	38252	82062	-3202	OS	NDET			
N10	363	38055	81947	-3235	OS	DET		5	3 FRAGS
N10	364	38093	83100	-3196	QUARSITA	BP	316	10	
N10	365	38046	82954	-3198	OS	NDET			
N10	366	38029	82842	-3217	QUARSITA	BPI			
N10	367	38043	82774	-3211	OS	NDET			
N10	368	38045	82777	-3203	OS	NDET			Q
N10	369	38104	82644	-3207	OS	NDET			Q
N10	370	38040	82211	-3242	OS	NDET			Q

NIVELL	NUMERO	X	Y	Z	MATERIA	OBJECTE	ORI_EMA	PEND	OBS_UA
N10	371	38127	82262	-3231	OS	DET			
N10	372	38237	82088	-3211					PERDUT
N10	373	38373	83059	-3152	SILEX	BPF			
N10	374	38294	83079	-3170	OS	NDET			Q
N10	375	38215	82967	-3191	OS	DET	85	10	
N10	376	37917	82790	-3233	SILEX	BPF			
N10	377	37755	82880	-3217	OS	NDET			
N10	378	37876	82718	-3236	QUARSITA	BPF	250	22	
N10	379	38096	82756	-3197	OS	NDET			
N10	380	38131	82708	-3199	OS	NDET			2 FRAGS
N10	381	38083	82584	-3209	OS	NDET	250	11	
N10	382	38430	82670	-3161	OS	DET			
N10	383	38488	82450	-3178	OS	NDET	0		2 FRAGS
N10	384	38413	82377	-3187	SILEX	BP2G			
N10	385	38240	82347	-3214	OS	NDET			
N10	386	38128	82402	-3233	OS	DET			
N10	387	38162	82292	-3230	OS	DET			
N10	388	38025	82357	-3248	OS	NDET			Q
N10	389	37888	82305	-3260	OS	NDET			
N10	390	38145	82258	-3225	OS	NDET			Q
N10	391	38069	82114	-3235	OS	NDET			
N10	392	38381	82173	-3201	OS	NDET			
N10	393	38346	82075	-3202	SILEX	BP	270		
N10	394	38158	83119	-3188	OS	NDET	310	2	
N10	395	38221	83108	-3169	OS	NDET	235	32	
N10	396	37898	82813	-3234	OS	NDET			
N10	397	37973	82796	-3245	SILEX	BP2G			
N10	398	37971	82729	-3245	OS	NDET	218	8	
N10	399	38006	82809	-3239	QUARS	BPI			
N10	400	38153	82746	-3205	SILEX	BPF	400	16	
N10	401	38205	82653	-3198	OS	DET	47	6	2 FRAGS
N10	402	38347	82671	-3188	SILEX	BP2G			
N10	403	38376	82550	-3169	OS	NDET			
N10	404	38263	82522	-3200	OS	NDET			
N10	405	38133	82451	-3221	OS	NDET			
N10	406	38100	82455	-3226	OS	DET	256		2 FRAGS
N10	407	37968	82575	-3220	OS	NDET			
N10	408	37931	82453	-3240	OS	NDET			Q
N10	409	38009	82449	-3230	SILEX	BPF	245	9	
N10	410	38158	82351	-3232	SILEX	BP	240	8	
N10	411	38003	82940	-3227	OS	NDET			
N10	412	37946	82807	-3239	OS	NDET	240	15	2 FRAGS
N10	413	37782	82738	-3243	OS	NDET	382	10	
N10	414	37877	82724	-3253	OS	NDET	336	3	
N10	415	37803	82626	-3231	SILEX	BP			
N10	416	37897	82675	-3249	QUARSITA	BP2G			
N10	417	37928	82693	-3248	SILEX	BPI			Q
N10	418	37940	82666	-3250	SILEX	BP	304	14	
N10	419	37927	82489	-3250	OS	NDET			
N10	420	37992	82508	-3232	OS	NDET			Q
N10	421	38017	82527	-3225	OS	NDET			Q
N10	422	38030	82485	-3236	OS	NDET			2 FRAGS
N10	423	38148	82549	-3230	QUARSITA	BPF	200	26	
N10	424	38288	82572	-3209	SILEX	BP			
N10	425	38366	82541	-3181	OS	NDET			
N10	426	38439	82578	-3167	SILEX	BP2G			
N10	427	38510	82572	-3155	OS	NDET			
N10	428	38475	82252	-3191	OS	NDET	248	26	
N10	429	38025	82835	-3217	QUARS	BPI			
N10	430	38470	82797	-3156	OS	NDET			
N10	431	38555	82583	-3142	OS	NDET			
N10	432	38351	82527	-3202	SILEX	BP2G			
N10	433	38062	82548	-3236	OS	NDET			
N10	434	37934	82171	-3264	SILEX	BN2G	308	25	
N10	435	38170	82039	-3226	OS	NDET			
N10	436	38098	81978	-3237	SILEX	BN2G	270	30	
N10	437	38224	82554	-3222	SILEX	BN2G			
N10	438	38032	82457	-3253	SILEX	BP2G			PERDUDA
N10	439	38050	82336	-3264	OS	NDET			
N10	440	38215	82369	-3224	SILEX	BP2G			
N10	441	38030	81942	-3243	SILEX	BPI	255	7	

NIVELL	NUMERO	X	Y	Z	MATERIA	OBJECTE	ORI_EMA	PEND	OBS_UA
N10	442	38011	81914	-3246	SILEX	BP2G			
N10	443	38159	81884	-3228	OS	NDET			
N10	444	37851	82955	-3248	SILEX	BN2G			
N10	445	37801	82792	-3251	OS	NDET			
N10	446	38071	82862	-3224	SILEX	BP2G			
N10	447	38227	83035	-3191	OS	NDET			
N10	448	38344	82566	-3199	OS	NDET			
N10	449	38467	82297	-3190	OS	DET			
N10	450	38440	82262	-3215	OS	NDET			Q
N10	451	37748	82089	-3286	OS	NDET	282	12	Q
N10	452	37798	81933	-3271	QUARSITA	BPI	266	8	
N10	453	37923	81657	-3249	QUARS	BPI	268	16	
N10	454	38329	83046	-3179	OS	NDET			Q
N10	455	37930	83001	-3245	OS	NDET			
N10	456	37817	82851	-3243	SILEX	BN2G			
N10	457	38399	82717	-3204	OS	NDET			
N10	458	38266	82044	-3222	OS	NDET			
N10	459	38095	82118	-3251	OS	NDET			
N10	460	38028	81888	-3258	SILEX	BP	308	26	
N10	461	37745	82776	-3254	OS	DET	248	3	
N10	462	37938	82652	-3259	QUARSITA	BP2G			
N10	463	37982	82631	-3249	QUARSITA	BP2G			
N10	464	38100	81842	-3251	OS	NDET			
N10	465	37934	83161	-3199	SILEX	BN2G	360	18	
N10	466	37919	83143	-3214	OS	NDET			
N10	467	37890	82693	-3272	SILEX	BPI			
N10	468	37763	82439	-3288	SILEX	BPI			
N10	469	38204	82134	-3237	OS	DET			
N10	470	38418	83038	-3172	OS	NDET			
N10	471	38429	83037	-3168	OS	NDET			
N10	472	38435	82942	-3165	SILEX	BPI			
N10	473	38347	82009	-3220	OS	NDET			
N10	475	37843	82141	-3275	QUARSITA	BP2G			
N10	477	38414	83044	-3189	OS	NDET			
N10	478	38428	83027	-3183	OS	NDET			PERDUDA
N10	479	38425	82980	-3184	OS	NDET			
N10	480	38356	82872	-3193	OS	NDET			
N10	481	38443	82097	-3225	OS	NDET			
N10	482	38433	82061	-3227	SILEX	BPF			
N10	483	38348	81999	-3230	OS	NDET			
N10	484	38285	82034	-3237	OS	NDET			
N10	485	38081	81814	-3254	OS	NDET			
N10	486	37960	81899	-3273	SILEX	BP	335	15	
N10	487	37755	82123	-3287	SILEX	BPI	338	26	
N10	488	37922	83183	-3195	OS	NDET			
N10	489	37982	83151	-3177	OS	NDET			
N10	490	37971	82743	-3270	OS	DET			
N10	491	38388	82768	-3212	OS	NDET			
N10	492	38347	82735	-3219	OS	NDET			
N10	493	38484	82647	-3175	OS	NDET			
N10	494	38378	82164	-3238	SILEX	BPI			
N10	495	38183	81951	-3254	OS	NDET			
N10	496	37923	82246	-3301	OS	NDET			
N10	497	37981	81986	-3279	OS	NDET			
N10	498	38012	81791	-3265	OS	NDET			
N10	499	37751	82226	-3303	OS	NDET			
N10	500	38263	83091	-3203	QUARSITA	BPI			
N10	501	37917	82875	-3273	OS	NDET			
N10	502	38309	83061	-3220	OS	NDET			
N10	503	38504	82541	-3199	OS	NDET			
N10	504	37751	82213	-3303	OS	NDET			
N10	505	37936	81823	-3274	SILEX	BP			
N6	1	35536	83223	-2396	SILEX	BP			
N6	2	36586	83252	-2299	LITIC	NDET			
N8	2	35566	82520	-2502	SILEX	BP			
N8	3	35286	82704	-2518	SILEX	BP2G			
N8	4	35060	82411	-2494	LITIC	NDET			PERDUDA
N8	5	36559	83598	-2206	LITIC	NDET			
N8	6	36807	83091	-2344	SILEX	BP			
N8	7	36086	83454	-2227	SILEX	BP			
N8	8	35632	83339	-2347	CALCÀRIA	BP2G			

NIVELL	NUMERO	X	Y	Z	MATERIA	OBJECTE	ORI_EMA	PEND	OBS_UA
N8	9	35553	83541	-2336	QUARSITA	BP			
N8	11	35420	83376	-2419	SILEX	BP			
N8	12	35122	83347	-2441	OS	DET			
N8	13	35409	83370	-2447	QUARSITA	BP2G			
N8	14	35495	83505	-2411	OS	NDET			
N8	15	35711	83218	-2441	OS	NDET			
N8	16	35855	83440	-2434	CALCARIA	BPI			
N8	17	36012	83606	-2350	SILEX	BP2G			
N8	18	36068	83621	-2358	SILEX	BP2G			
N8	19	36134	83611	-2347	SILEX	BP2G			
N8	20	36092	83539	-2383	SILEX	BP2G			
N8	21	36169	83618	-2355	SILEX	BP			
N8	22	36447	83595	-2375	QUARSITA	BP2G			
N8	24	35350	83086	-2463	SILEX	BP2G			
N8	25	35443	83167	-2474	SILEX	BP2G			
N8	26	35371	83057	-2482	SILEX	BP			
N8	27	37054	82995	-2394	QUARSITA	BP			
N8	28	37098	82826	-2432	QUARSITA	BPI			
N8	29	36738	82885	-2405	QUARSITA	BPI			
N8	30	36673	82755	-2408	QUARSITA	BP2G			
N8	31	37265	82916	-2450	SILEX	BP2G			
N8	32	36172	83498	-2433	SILEX	BP			
N8	33	35728	83336	-2512	QUARSITA	BP2G			PERDUDA
N8	35	36478	82873	-2459	SILEX	BN1G			
N8	36	36140	83570	-2440	SILEX	BPF			
N8	37	36394	83442	-2441	SILEX	BP			
N8	38	35232	82727	-2545	QUARSITA	BP	320	10	
N8	39	35588	82345	-2477	QUARSITA	BP	250	0	
N8	40	35998	83626	-2282	OS	NDET			
N8	41	36232	83607	-2369	OS	NDET			
N8	42	34836	82415	-2523	QUARSITA	BP2G			
N8	43	35328	83080	-2535	SILEX	BP			
N8	44	35934	83625	-2461	SILEX	BP2G			
N8	45	36806	83542	-2435	SILEX	BP2G			
N8	46	36718	83387	-2434	OS	NDET			
N8	47	35894	83458	-2507	QUARSITA	BP2G			
N8	48	36125	83559	-2489	SILEX	BP2G			
N8	49	35000	83349	-2519	SILEX	BP2G			
N8	50	35171	83325	-2505	SILEX	BP2G			
N8	52	35578	83423	-2549	SILEX	BP			
N8	53	34511	83110	-2658	LIDITA	BN2G			
N8	54	34764	83118	-2639	QUARSITA	BP2G			
N8	55	35558	83347	-2560	QUARSITA	BP2G			
N8	56	36705	83081	-2489	SILEX	BP			
N8	57	35292	83069	-2569	QUARSITA	BPF			
N8	58	36422	83114	-2512	QUARSITA	BP			
N8	59	36444	82877	-2518	QUARSITA	BP			
N8	60	36549	83328	-2521	QUARSITA	BP			
N8	61	36411	82936	-2501	QUARSITA	BP2G			
N8	62	36357	83195	-2512	QUARSITA	BP2G			
N8	63	36623	83149	-2510	QUARSITA	BP2G			
N8	64	35666	82925	-2637	QUARSITA	BP			
N8	65	35730	82858	-2596	SILEX	BN2G			
N8	66	35328	82058	-2525	SILEX	BP2G			FRAG
N8	67	36415	83143	-2547	QUARSITA	BP2G			
N8	68	35002	83042	-2668	SILEX	BN1G			
N8	69	36709	82885	-2515	QUARSITA	BP			
N8	70	36717	82900	-2522	QUARSITA	BP			
N8	71	36826	82770	-2481	SILEX	BPF			
N8	72	36589	82894	-2523	QUARSITA	BP			
N8	73	36596	82899	-2544	QUARSITA	BP	310	32	
N8	74	36532	82928	-2542	QUARSITA	BPF	350	60	
N8	75	36507	82968	-2562	QUARSITA	BPF	310	15	
N8	76	36751	82906	-2538	QUARSITA	BP			
N8	77	36589	82938	-2551	QUARSITA	BPF	220	39	
N8	78	36530	82969	-2571	QUARSITA	BP	232	51	
N8	79	36597	83101	-2546	SILEX	BPF	240	93	
N8	80	36794	83157	-2547	SILEX	BPF			
N8	81	34488	82929	-2726	SILEX	BPI			
N8	82	36550	82920	-2572	QUARSITA	BP2G			
N8	84	36454	83064	-2571	QUARSITA	BP2G			

NIVELL	NUMERO	X	Y	Z	MATERIA	OBJECTE	ORI_EMA	PEND	OBS_UA
N8	85	36501	83108	-2568	SILEX	BP2G			
N8	86	36515	83117	-2564	QUARSITA	BP2G			
N8	87	36335	83170	-2526	QUARSITA	BP2G			
N8	88	36399	83024	-2564	QUARSITA	BP2G			
N8	89	36696	82783	-2531	QUARSITA	BP			
N8	90	34552	83220	-2722	CALCARIA	BNA			
N8	91	36509	83203	-2563	QUARSITA	BPF			
N8	92	36724	83006	-2559	SILEX	BP2G			
N8	93	36592	82848	-2546	QUARSITA	BPF	310	25	
N8	94	36649	82844	-2533	QUARSITA	BP	325	5	
N8	95	36441	83330	-2550	QUARSITA	BP2G			
N8	96	36801	83529	-2505	SILEX	BP			
N8	97	36437	83185	-2575	QUARSITA	BP	300	30	
N8	98	36528	83374	-2571	SILEX	BPF	46	89	
N8	99	36648	82841	-2530	QUARSITA	BPI			
N8	100	36571	82707	-2569	QUARSITA	BPF	30	12	
N8	101	36443	83164	-2587	QUARSITA	BPF	280	28	
N8	102	36393	83004	-2573	QUARSITA	BPF	272	10	
N8	103	36917	82452	-2561	QUARSITA	BP2G			
N8	104	36707	82873	-2588	QUARSITA	BP2G			
N8	105	36513	83626	-2456	QUARSITA	BP2G			
N8	106	36639	82844	-2566	QUARSITA	BP2G			
N8	107	34693	83441	-2682	SILEX	BPF			
N8	108	35559	83513	-2577	QUARSITA	BP2G			
N8	109	35539	83479	-2579					PERDUDA
N8	110	35992	83469	-2536	QUARSITA	BP			BIFACIAL
N8	111	36754	82797	-2592	QUARSITA	BPF			
N8	112	36600	82845	-2561	QUARSITA	BPF			
N8	113	36603	82814	-2565	QUARSITA	BPF			
N8	114	36215	83583	-2496	QUARSITA	BP	262	19	
N8	115	35735	83268	-2606	QUARSITA	BP			
N8	116	35734	83094	-2672	OS	NDET			
N8	117	35653	83490	-2606	QUARSITA	BPF			
N8	118	36018	83342	-2552	QUARSITA	BPI			
N8	119	36078	83495	-2549	QUARSITA	BP2G			
N8	120	36563	83630	-2470	QUARSITA	BP			
N8	121	35920	83490	-2559	OS	DET			DENT
N8	122	35973	83369	-2604	QUARSITA	BPF			SIRET
N8	123	35962	82810	-2529	SILEX	BN2G			
N8	124	36091	82828	-2532	QUARSITA	BP			MOGUDA
N8	125	36157	82924	-2549	QUARSITA	BP			MOGUDA
N8	126	35517	83126	-2714	QUARSITA	BPF			
N8	127	36145	83052	-2605	QUARSITA	BPF			
N8	128	36634	83365	-2588	QUARSITA	BP2G			
N8	129	36055	83589	-2638	SILEX	BP	62	6	
N8	130	36090	83589	-2639	QUARSITA	BP			
N8	131	36363	83482	-2605	QUARSITA	BNE			FRAG
N8	132	36256	82992	-2610	QUARSITA	BP			
N8	133	36331	82971	-2603	QUARSITA	BP			
N8	134	36221	82920	-2618	QUARSITA	BP			
N8	135	36288	82894	-2613	QUARSITA	BP2G			
N8	136	36254	82920	-2622	QUARSITA	BP2G			
N8	137	36347	82963	-2605	QUARSITA	BP			
N8	138	36295	82991	-2595	QUARSITA	BP2G			
N8	139	36223	83027	-2615	QUARSITA	BP2G			
N8	140	35786	82794	-2602	OS	NDET			
N8	141	35984	82886	-2592	QUARSITA	BP2G			
N8	142	35979	82962	-2627	QUARSITA	BP			
N8	143	35823	82809	-2601	OS	NDET			
N8	144	35727	82846	-2652	QUARSITA	BP		34	
N8	145	35890	82822	-2629	QUARSITA	BPF			
N8	146	36387	82810	-2585	QUARSITA	BPF			
N8	147	36469	82831	-2554	QUARSITA	BPI			
N8	148	36430	82928	-2559	QUARSITA	BPF			
N8	149	36514	82909	-2581	QUARSITA	BPF			
N8	150	36296	83043	-2590	QUARSITA	BP	296	90	
N8	151	36155	83017	-2599	QUARSITA	BP	338	89	
N8	152	36137	82925	-2607	QUARSITA	BP2G	0		
N8	153	36105	82985	-2625	QUARSITA	BP			
N8	154	35976	82975	-2628	QUARSITA	BP2G			
N8	155	35994	83119	-2637	QUARSITA	BP	0	90	

NIVELL	NUMERO	X	Y	Z	MATERIA	OBJECTE	ORI EMA	PEND	OBS_UA
N8	156	35929	83132	-2641	QUARSITA	BP	20	4	
N8	157	36442	82889	-2578	QUARSITA	BPF			
N8	158	36259	82933	-2615	QUARSITA	BP2G			
N8	159	36277	82926	-2614	QUARSITA	BP2G			
N8	160	36317	82971	-2596	QUARSITA	BP	214	8	
N8	161	36364	82902	-2572	QUARSITA	BPF		90	
N8	162	36380	82849	-2582	QUARSITA	BPF			
N8	163	36409	82899	-2586	QUARSITA	BP	222	4	
N8	164	36418	82822	-2579	QUARSITA	BP2G			
N8	165	36106	82971	-2630	QUARSITA	BPF			
N8	166	36245	82959	-2603	QUARSITA	BP			
N8	167	36225	82922	-2609	QUARSITA	BPF			
N8	168	36284	82942	-2610	QUARSITA	BP			
N8	169	36335	82935	-2588	QUARSITA	BP2G			
N8	170	36336	82970	-2597	QUARSITA	BP			
N8	171	36341	82899	-2575	QUARSITA	BP		90	
N8	172	36357	82887	-2586	QUARSITA	BPI			
N8	173	36389	82825	-2585	QUARSITA	BP			
N8	174	36418	82851	-2583	QUARSITA	BPF			
N8	175	36418	82874	-2586	QUARSITA	BP2G			
N8	176	36451	82899	-2588	QUARSITA	BPF			
N8	177	36568	83018	-2588	QUARSITA	BP			2 FRAGS
N8	178	36598	83054	-2589	QUARSITA	BPF			
N8	179	36675	83087	-2570	QUARSITA	BPF			
N8	180	36587	83157	-2571	QUARSITA	BP			
N8	181	36745	82844	-2593	QUARSITA	BPF			
N8	182	36385	82851	-2594	QUARSITA	BPF			
N8	183	36462	82722	-2569	QUARSITA	BP			
N8	184	36499	82763	-2556	QUARSITA	BPF			
N8	185	36595	82849	-2571	QUARSITA	BPF			
N8	186	36634	82882	-2569	QUARSITA	BP2G			
N8	187	36643	82810	-2565	QUARSITA	BP			
N8	188	36685	82820	-2577	QUARSITA	BP			
N8	189	36488	82913	-2599	QUARSITA	BP			
N8	190	36446	82747	-2571	QUARSITA	BP2G			
N8	191	36169	82967	-2624	QUARSITA	BP			
N8	192	36088	82733	-2598	QUARSITA	BP			
N8	193	36139	82693	-2610	QUARSITA	BP			
N8	194	36064	82747	-2616	QUARSITA	BPF			
N8	195	36105	82736	-2599	QUARSITA	BPF			
N8	196	36211	82949	-2616	QUARSITA	BPF			
N8	197	36384	82954	-2599	QUARSITA	BP2G			
N8	198	36370	82967	-2598	QUARSITA	BP2G			
N8	199	36343	82957	-2612	QUARSITA	BPF			
N8	200	36328	82920	-2620	QUARSITA	BPF			
N8	201	36316	82915	-2617	QUARSITA	BP2G			
N8	202	36295	82927	-2616	QUARSITA	BP2G			
N8	203	36273	82954	-2622	QUARSITA	BPF			
N8	204	36265	82951	-2622	QUARSITA	BP2G			
N8	205	36254	82966	-2628	QUARSITA	BPF			
N8	206	36225	82977	-2623	QUARSITA	BP2G			
N8	207	36173	83019	-2633	QUARSITA	BPF			
N8	208	36254	83130	-2626	QUARSITA	BPF			
N8	209	36064	82809	-2631	QUARSITA	BPF			
N8	210	36330	82914	-2622	QUARSITA	BP2G			
N8	211	36357	82964	-2611	QUARSITA	BP2G			
N8	212	36504	82734	-2586	QUARSITA	BP2G			
N8	213	36413	82698	-2582	QUARSITA	BP2G			
N8	214	36462	82958	-2596	QUARSITA	BP2G			
N8	215	36408	83111	-2606	QUARSITA	BP2G			
N8	216	36248	82993	-2626	QUARSITA	BP2G			
N8	217	36439	82652	-2589	QUARSITA	BPF			
N8	218	36195	83036	-2643	QUARSITA	BP2G			
N8	219	36349	82978	-2609	QUARSITA	BPF			
N8	220	36582	82730	-2566	QUARSITA	BP			
N8	221	35767	82795	-2665	QUARSITA	BPF			
N8	222	35149	82506	-2765	QUARSITA	BP		85	
N8	223	35812	83235	-2636	QUARSITA	BP2G			
N8	224	35978	82952	-2645	QUARSITA	BP			
N8	225	36118	83000	-2653	QUARSITA	BPF			
N8	226	36101	82971	-2633	QUARSITA	BP2G			

NIVELL	NUMERO	X	Y	Z	MATERIA	OBJECTE	ORI_EMA	PEND	OBS_UA
N8	227	36102	82960	-2633	QUARSITA	BP2G			
N8	228	36167	83077	-2639	SILEX	BP			
N8	229	36228	83125	-2624	QUARSITA	BP2G			
N8	230	36206	82937	-2620	QUARSITA	BP			
N8	231	36287	82921	-2622	QUARSITA	BP2G			
N8	232	36236	82864	-2630	QUARSITA	BP2G			
N8	233	36302	82901	-2624	QUARSITA	BP2G			
N8	234	36339	82919	-2624	QUARSITA	BP2G			
N8	235	36043	82755	-2639	QUARSITA	BP2G			
N8	236	36093	82707	-2614	QUARSITA	BP2G			
N8	237	36157	82772	-2633	QUARSITA	BP2G			
N8	238	36173	82756	-2628	QUARSITA	BP2G			
N8	239	36238	82763	-2617	QUARSITA	BP2G			
N8	240	36249	82759	-2624	QUARSITA	BP2G			
N8	241	36289	82815	-2616	QUARSITA	BP2G			
N8	242	36592	82771	-2551	QUARSITA	BP2G			
N8	243	36172	82945	-2625	QUARSITA	BP			
N8	244	36546	82889	-2576	QUARSITA	BP2G			
N8	245	36460	82908	-2588	QUARSITA				
N8	246	36467	82953	-2615	QUARSITA	BP			
N8	247	36410	82919	-2607	QUARSITA	BPF			
N8	248	36376	82935	-2614	QUARSITA	BP2G			
N8	249	36388	82912	-2615	QUARSITA	BPF			
N8	250	36390	82897	-2614	QUARSITA	BP2G			
N8	251	36392	82884	-2613	QUARSITA	BP			
N8	252	36357	82868	-2616	QUARSITA	BP2G			
N8	253	36355	82862	-2617	QUARSITA	BP2G			
N8	254	36367	82861	-2613	QUARSITA	BP2G			
N8	255	36384	82835	-2610	QUARSITA	BP2G			
N8	256	36397	82846	-2610	QUARSITA	BP2G			
N8	257	36393	82868	-2611	QUARSITA	BP2G			
N8	258	36421	82856	-2589	QUARSITA	BP2G			
N8	259	36432	82856	-2591	QUARSITA	BP2G			
N8	260	36506	82954	-2595	QUARSITA	BP2G			
N8	261	35295	83202	-2721	OS	NDET			
N8	262	35337	83334	-2718	SILEX	BP2G			
N8	263	35465	83112	-2753	QUARSITA	BP2G			
N8	264	35693	82947	-2700	QUARSITA	BP2G			
N8	265	36427	82681	-2616	QUARSITA	BP2G			
N8	266	36452	82693	-2581	QUARSITA	BP2G			
N8	267	36366	82723	-2617	QUARSITA	BP2G			
N8	268	36196	82702	-2643	QUARSITA	BPF			
N8	269	36121	82683	-2629	QUARSITA	BP2G			
N8	270	36081	82734	-2642	QUARSITA	BPI			
N8	271	36142	82704	-2640	QUARSITA	BPF			
N8	272	36154	82767	-2641	QUARSITA	BP			
N8	273	36252	82758	-2644	QUARSITA	BPF			
N8	274	36250	82805	-2639	QUARSITA	BP			
N8	275	36277	82791	-2636	QUARSITA	BP2G			
N8	276	35958	82927	-2668	QUARSITA	BPF			
N8	277	36050	82861	-2611	QUARSITA	BP			
N8	278	36093	83010	-2648	QUARSITA	BPF			
N8	279	36238	83126	-2624	QUARSITA	BP			
N8	280	36247	83057	-2645	QUARSITA	BP			
N8	281	36350	83069	-2619	QUARSITA	BP2G			
N8	282	36467	82997	-2628	QUARSITA	BP			
N8	283	36567	83118	-2620	QUARSITA	BP2G			
N8	284	36316	82880	-2607	QUARSITA	BP2G			
N8	285	36314	82849	-2629	QUARSITA	BP2G			
N8	286	36301	82818	-2619	QUARSITA	BP2G			
N8	287	36539	83094	-2624	QUARSITA	BP2G			
N8	288	36538	83002	-2619	QUARSITA	BP			
N8	289	36434	83107	-2625	QUARSITA	BP2G			
N8	290	36479	82997	-2633	QUARSITA	BPF			
N8	291	36348	82930	-2624	QUARSITA	BP2G			
N8	292	36316	82965	-2616	QUARSITA	BP2G			
N8	293	36291	82971	-2614	QUARSITA	BP2G			
N8	294	36277	82906	-2626	QUARSITA	BP2G			
N8	295	36236	82900	-2640	QUARSITA	BP			
N8	296	36176	82872	-2640	QUARSITA	BP2G			
N8	297	36167	82851	-2633	QUARSITA	BP2G			

NIVELL	NUMERO	X	Y	Z	MATERIA	OBJECTE	ORI_EMA	PEND	OBS_UA
N8	298	36212	82949	-2646	QUARSITA	BP2G			
N8	299	36251	82927	-2631	QUARSITA	BP2G			
N8	301	36249	82984	-2642	QUARSITA	BP2G			
N8	302	36158	82734	-2645	QUARSITA	BP2G			
N8	303	36046	82877	-2632	QUARSITA	BP			
N8	304	36059	82972	-2659	QUARSITA	BPF			
N8	305	36028	83032	-2660	QUARSITA	BP2G			
N8	306	35915	82772	-2650	QUARSITA	BP2G			
N8	307	36181	82745	-2635	QUARSITA	BP2G			
N8	308	36034	82767	-2634	QUARSITA	BP2G			
N8	309	36118	82834	-2644	QUARSITA	BP2G			
N8	310	36231	82879	-2635	QUARSITA	BP2G			
N8	311	36293	83001	-2635	QUARSITA	BP2G			
N8	312	36245	82915	-2627	QUARSITA	BP2G			
N8	313	36269	82933	-2631	QUARSITA	BP2G			
N8	314	36274	82899	-2627	QUARSITA	BP2G			
N8	315	36532	83031	-2611	QUARSITA	BP2G			
N8	316	36596	82996	-2593	QUARSITA	BP2G			
N8	317	36452	82999	-2643	QUARSITA	BP			
N8	318	36514	82933	-2607	QUARSITA	BP			
N8	319	36535	82918	-2587	QUARSITA				
N9	1	37906	82715	-2727	SILEX	BN2G	220	32	
N9	2	37955	82680	-2735	SILEX	BP	247	20	
N9	3	38158	83047	-2919	QUARSITA	BNA	199	18	REDONDEADO
N9	4	37996	82083	-2833	SILEX	BPF			
N9	5	37698	82994	-2790	SILEX	BP	255	12	
N9	6	37797	82511	-2807	SILEX	BN2G	180	6	
N9	7	38068	82418	-2818	QUARSITA	BP	275	4	
N9	8	37696	82385	-2842	QUARSITA	BP	260	2	
N9	9	37654	82602	-2831	SILEX	BP			
N9	10	37771	82921	-2839	QUARSITA	BP	262	0	
N9	11	37698	82880	-2859	SILEX	BP	255	10	
N9	12	37998	82507	-2842	QUARSITA	BP2G	230	10	
N9	13	38082	82478	-2843	QUARSITA	BP2G			
N9	14	37543	82879	-2860	SILEX	BP			
N9	15	37661	83029	-2883	CALCARIA	BNA			
P1A	1	26427	78522	-5442	SILEX	BN1G			
P1A	2	25409	79429	-4957	SILEX	BP			
P1A	3	25711	78555	-5361	SILEX	BP			
P1A	4	25567	79143	-5224	SILEX	BP			LAMINA
P1A	5	25749	78168	-5528	QUARSITA	BP2G			
P1A	6	25689	77940	-5649	SILEX	BP			
P1A	7	25185	79035	-5264	SILEX	BP			
P1A	8	25515	79115	-5241	QUARSITA	BPF			
P1A	9	25178	78386	-5548	QUARSITA	BPF			
P1A	10	25144	78473	-5518	OS	NDET			
P1A	11	25304	78536	-5513	QUARSITA	BPF			
P1A	12	25368	79071	-5273	QUARSITA	BPF			
P1A	13	25506	78288	-5556	SILEX	BPF			
P1A	14	24996	78932	-5316	QUARSITA	BPF			
P1A	15	25305	78614	-5445	QUARSITA	BPF			
P1A	16	25661	78610	-5417	OS	NDET			
P1A	17	25292	78944	-5376	QUARSITA	BNE			
P1A	18	25185	78853	-5449	SILEX	BPF			
P1A	19	25869	78565	-5429	QUARSITA	BPF			
P1A	20	26139	78150	-5486	QUARSITA	BP			
P1A	21	26321	78237	-5445	SILEX	BPF			
P1A	22	25497	79228	-5341	QUARSITA	BP			
P1A	23	25728	78681	-5444	SILEX	BPF			
P1A	24	25735	78537	-5452	OS	NDET			
P1A	25	26454	78827	-5447	QUARSITA	BPF			REVUELTO
P1A	26	25539	79233	-5420	SILEX	BN1G			
P1A	27	25581	79083	-5420	SILEX	BP2G			
P1A	28	25751	78398	-5502	OS	NDET			FRAG
P1A	29	25670	78524	-5496	SILEX	BP			
P1A	30	25895	78403	-5503	SILEX	BP2G			
P1A	31	25612	78640	-5462	OS	NDET			FRAG
P1A	32	25947	78953	-5472	QUARSITA	BPF			
P1A	33	25175	78830	-5448	OS	NDET			
P1A	34	25576	78947	-5488	QUARSITA	BPI			
P1A	35	25264	78936	-5505	SILEX	BP2G			

NIVELL	NUMERO	X	Y	Z	MATERIA	OBJECTE	ORI_EMA	PEND	OBS_UA
P1A	36	26667	78861	-5328	QUARSITA	BN2G			
P1A	37	25258	78711	-5521	OS	NDET			
P1A	38	25907	78980	-5467	QUARSITA	BP2G			
P1A	39	26401	78948	-5393	SILEX	BPF			
P1A	40	25182	78913	-5552	QUARSITA	BNA			
P1A	41	24969	78726	-5505	QUARSITA	BNA			
P1A	42	25690	78458	-5555	QUARSITA	BP			
P1A	43	25995	78139	-5565	SILEX	BPF			
P1C	51	25572	78721	-5623	SILEX	BN2G			
P1A	44	26313	78139	-5615	QUARSITA	BP2G			
P1A	45	26699	78376	-5524	SILEX	BN2G			
P1A	46	26656	78281	-5598	SILEX	BP			
P1A	47	26128	78158	-5723	QUARSITA	BPF			
P1A	48	26641	78170	-5546	QUARSITA	BPF			
P1A	49	26629	78177	-5572	SILEX	BPI			
P1C	1	25356	78965	-5640	OS	NDET			
P1C	2	25682	78934	-5647	OS	NDET			
P1C	3	25480	78977	-5664	SILEX	BPF			
P1C	4	25496	79034	-5641	OS	DET			MICRO
P1C	5	25300	79087	-5628	SILEX	BPF			
P1C	6	25598	78937	-5666	QUARSITA	BPF			
P1C	7	25671	78926	-5659	SILEX	BP2G			
P1C	8	25649	78897	-5691	SILEX	BP2G			
P1C	9	25607	78485	-5715	OS	NDET			
P1C	10	25841	78814	-5672	OS	NDET			
P1C	11	25263	78821	-5637	OS	NDET			
P1C	12	25484	78650	-5719	OS	DET			MAND MICRO
P1C	13	24982	78624	-5650	OS	NDET			
P1C	14	25122	78681	-5684	OS	DET			MICRO
P1C	15	25731	78534	-5738	OS	NDET			
P1C	16	25459	78559	-5715	OS	DET			MICRO
P1C	17	25640	79031	-5685	QUARSITA	BP			LEVALLOIS
P1C	18	25676	79062	-5675	QUARSITA	BPI			
P1C	19	25765	78736	-5747	OS	NDET			
P1C	20	25635	78611	-5771	QUARSITA	BP2G			
P1C	21	25547	79092	-5742	OS	NDET			
P1C	22	25499	79105	-5740	SILEX	BP2G			
P1C	23	25531	78770	-5768	OS	DET			
P1C	24	25117	78721	-5726	OS	DET			
P1C	25	24916	78601	-5658	SILEX	BP2G			
P1C	26	25313	78601	-5734	OS	NDET			
P1C	27	25460	78541	-5787	CERAMICA	CERAMIC			
P1C	28	25291	78586	-5750	OS	NDET			
P1C	29	25371	78505	-5743	OS	DET			
P1C	30	25311	78553	-5749	OS	NDET			MICRO
P1C	31	25336	78618	-5752	QUARSITA	BP2G			
P1C	32	25370	78463	-5776	SILEX	BP2G			
P1C	33	25566	79090	-5768	OS	NDET			
P1C	34	24822	78607	-5642	SILEX	BP2G			
P1C	35	24973	78704	-5714	OS	NDET			
P1C	36	25947	77834	-5840	QUARSITA	BP			
P1C	37	25782	77929	-5880					PERDUDA
P1C	38	25520	79025	-5800	OS	NDET			Q
P1C	39	25147	78899	-5718	OS	NDET			
P1C	40	25421	78943	-5814	SILEX	BP2G			
P1C	41	25430	79076	-5813	OS	NDET			
P1C	42	25234	78968	-5846	OS	NDET			
P1C	43	25848	78114	-5890	QUARSITA	BPI			
P1C	44	25412	78492	-5863	QUARSITA	BP2G			
P1C	45	25586	77962	-5934	SILEX	BP2G			
P1C	46	25346	78623	-5873	SILEX	BPF			
P1C	47	25252	78997	-5850	SILEX	BP2G			
P1C	48	25662	79005	-5875	OS	NDET			
P1C	49	25788	78665	-5887	QUARSITA	BPF			
P1C	50	25196	78246	-5950	SILEX	BPF			
P1D	1	25288	78592	-6015	QUARSITA	BP			
P1D	2	25523	79109	-5913	QUARSITA	BP			
P1C	52	25490	79184	-5767	QUARSITA	BP			
P1D	4	25500	79063	-5920	QUARSITA	BP			
P1D	5	25203	78573	-6010	QUARSITA	BP2G			
P1D	6	25569	78892	-5963	QUARSITA	BPF			

NIVELL	NUMERO	X	Y	Z	MATERIA	OBJECTE	ORI_EMA	PEND	OBS_UA
P1D	7	25531	78991	-5927	SILEX	BP			BP2G?
P1D	8	24791	77768	-6114	QUARSITA	BNA			
P1D	9	25072	77495	-6189	SILEX	BP			
P1D	10	25388	78288	-6057	SILEX	BP2G			
P1D	11	25686	78131	-6055	QUARSITA	BN1G			CHOPPER
P1D	12	25251	77224	-6283	QUARSITA	BP2G			
P1E	5	24892	77650	-6312	QUARSITA	BP2G			
P1E	1	25645	78116	-6248	QUARSITA	BP2G			
P1E	2	25551	78193	-6239	QUARSITA	BP2G			
P1E	3	25030	76526	-6336	SILEX	BP2G			
P1E	4	25336	78190	-6301	SILEX	BP2G			
P1D	15	24850	77143	-6115	LITIC	BP			
P1D	16	24965	76994	-6146	SILEX	BP			
R3	61	31486	84124	-3336	OS	NDET			
R3	143	31338	85242	-3317	SILEX	BP2G			
R8	40	31831	85240	-3384	CALCARIA	BPF			
R8	41	32253	84994	-3491	SILEX	BP2G			
R8	42	32272	84924	-3486	QUARSITA	BPF			
R8	43	31895	85031	-3446	SILEX	BP			
R8	45	32351	84902	-3447	SILEX	BN2G			
R8	46	33034	84789	-3430	ORGANIC	CARBO			
R8	48	32971	84621	-3434	QUARSITA	BP			
R8	49	33834	84165	-3357	QUARSITA	BPF			
R8	50	33621	84529	-3389	SILEX	BN2G			
R8	51	32801	84613	-3501	QUARSITA	BP			
R8	52	33051	84511	-3467	OS	NDET			
R8	53	33165	84313	-3471	SILEX	BPF			
R8	54	31915	85248	-3410	SILEX	BPI			
R8	55	31748	84743	-3481	SILEX	BP2G			
R8	56	31496	84448	-3541	SILEX	BP2G			
R8	57	32749	84830	-3433	OS	DET	65		Q
R8	58	32868	84701	-3481	QUARSITA	BP2G			
R8	59	32741	84720	-3474	OS	NDET			Q
R8	60	31963	84776	-3499	SILEX	BP			
R8	62	31273	84383	-3522	QUARSITA	BP2G			
R8	63	32460	83915	-3532	SILEX	BP			
R8	64	32939	83722	-3476	SILEX	BPI			
R8	65	33053	84676	-3479	OS	DET			TORTUGA
R8	66	32867	84683	-3491	QUARSITA	BP2G			
R8	67	33235	84684	-3456	OS	NDET			
R8	68	33308	84584	-3456	SILEX	BPF			
R8	69	32952	83887	-3520	SILEX	BP	348	1	
R8	70	32632	83811	-3518	SILEX	BP	86	2	
R8	71	32702	84756	-3522	OS	NDET			
R8	72	32643	84653	-3552	OS	DET			EQUUS?
R8	73	32713	84668	-3557	SILEX	BPF			
R8	74	32684	84822	-3510	QUARSITA	BPF	315	38	
R8	75	29909	85149	-3365	OS	DET			
R8	76	29529	84157	-3356	SILEX	BP			
R8	77	29544	83620	-3345	QUARSITA	BP			
R8	78	32552	84332	-3539	SILEX	BP			
R8	79	32544	84157	-3556	SILEX	BP			
R8	80	33029	83639	-3471	SILEX	BP			
R8	81	32425	83851	-3524	QUARSITA	BP			
R8	82	29977	85167	-3402	OS	NDET			Q
R8	83	30276	85429	-3370	OS	NDET			PERDUDA
R8	84	32407	83851	-3524	SILEX	BP	305	21	
R8	85	32380	83849	-3524	SILEX	BP			
R8	86	32532	84044	-3546	OS	NDET	45	58	
R8	87	32454	84131	-3563	SILEX	BP	335	18	
R8	88	32707	84311	-3560	OS	NDET			
R8	89	32372	83806	-3521	SILEX	BP		31	
R8	90	32499	83741	-3492	SILEX	BP			
R8	91	33235	84374	-3463	OS	DET			TORTUGA, Q
R8	92	32199	83793	-3477	SILEX	BP			
R8	93	32222	83794	-3495	SILEX	BN2G	0	0	
R8	94	32362	84514	-3539	QUARSITA	BP	58	20	
R8	95	32535	84545	-3549	SILEX	BP2G			
R8	96	32444	84216	-3555	SILEX	BP			
R8	97	32398	84153	-3550	SILEX	BP2G			
R8	98	32283	83958	-3487	SILEX	BP	85	48	

NIVELL	NUMERO	X	Y	Z	MATERIA	OBJECTE	ORI_EMA	PEND	OBS_UA
R8	99	30352	84067	-3479	QUARSITA	BP2G	31	25	
R8	100	30217	85374	-3393	QUARSITA	BP2G			
R8	102	29873	84812	-3396	OS	NDET			
R8	103	29824	84243	-3413	SILEX	BP2G			
R8	104	29968	84200	-3453	QUARSITA	BPF			
R8	105	32408	83902	-3549	SILEX	BP			
R8	106	30007	85107	-3437	CALCARIA	BNE	270	8	
R8	107	32248	84629	-3525	SILEX	BP			
R8	108	32279	84470	-3569	SILEX	BP			
R8	109	32236	84482	-3559	OS	NDET			Q
R8	110	32295	84679	-3561	OS	NDET			Q
R8	111	30059	84563	-3486	OS	NDET			
R8	112	29531	84384	-3441	OS	NDET			Q
R8	113	29976	83577	-3452	SILEX	BP	103	9	
R8	114	32174	83746	-3509	QUARSITA	BP			
R8	115	32192	83643	-3495	SILEX	BP			
R8	116	32043	84422	-3552	SILEX	BPF			
R8	117	32609	83623	-3537	SILEX	BPF	50	80	
R8	118	32399	83620	-3514	SILEX	BP	140	50	
R8	119	32419	83690	-3513	SILEX	BP		90	
R8	120	32234	83789	-3544	OS	NDET			
R8	121	32049	84220	-3518	SILEX	BP			
R8	122	29705	84242	-3496	OS	NDET			Q
R8	123	29853	83945	-3490	SILEX	BP	32	53	
R8	124	32013	84840	-3539	SILEX	BP			
R8	125	31955	84115	-3511	SILEX	BP			
R8	126	31867	83720	-3508	OS	DET	118	6	
R8	127	32364	83625	-3503	OS	NDET	10	6	Q
R8	128	32394	83646	-3525	SILEX	BP2G			
R8	129	32248	85031	-3567	SILEX	BPF	100	28	
R8	130	30038	83984	-3480	OS	NDET			
R8	131	29599	84005	-3596	OS	NDET			
R8	132	30061	84469	-3525	OS	NDET			
R8	133	30793	85093	-3506	SILEX	BP			
R8	134	32785	83904	-3539	SILEX	BP2G			
R8	135	32711	83852	-3523	SILEX	BP2G			
R8	136	32595	83786	-3550	QUARSITA	BP	298	34	
R8	138	32510	83834	-3570	SILEX	BP2G			
R8	139	32477	83885	-3565	SILEX	BPI			
R8	140	30271	84392	-3580	OS	NDET			Q
R8	141	29960	84553	-3546	OS	NDET			
R8	142	30837	85213	-3549	OS	NDET			
R8	145	32103	85098	-3531	QUARSITA	BP			
R8	146	31315	83677	-3500	QUARSITA	BP2G			
R8	147	31398	83788	-3502	QUARSITA	BP2G			
R8	148	31165	83874	-3496	QUARSITA	BP2G			
R8	149	31316	83857	-3517	QUARSITA	BP2G			
R8	150	31104	83971	-3489	QUARSITA	BP2G			
R8	151	32783	84647	-3601	OS	NDET			Q
R8	152	32722	84639	-3598	SILEX	BP			
R8	153	33137	84550	-3516	QUARSITA	BP	68	10	
R8	154	33075	84465	-3516	OS	DET			TORTUGA
R8	155	32997	84434	-3519	OS	DET			TORTUGA
R8	156	31227	85056	-3438	QUARSITA	BN1G	40	15	
R8	157	32022	85250	-3445	SILEX	BP	68	12	
R8	158	31414	84134	-3540	OS	NDET			Q
R8	159	31262	83982	-3532	OS	NDET			PERDUDA
R8	160	31481	83921	-3526	OS	NDET			
R8	161	31547	83849	-3506	OS	NDET			
R8	162	31367	83876	-3516	QUARSITA	BP2G			
R8	163	31328	83742	-3502	QUARSITA	BP			
R8	164	31251	83609	-3529	QUARSITA	BP2G			
R8	165	31492	83477	-3474	QUARSITA	BP2G			
R8	166	33098	84314	-3532	OS	NDET		36	
R8	167	32995	84319	-3532	OS	DET	340	30	
R8	168	32715	84106	-3587	OS	NDET		10	
R8	169	32991	84510	-3525	OS	NDET	346	24	
R8	170	33004	84310	-3553	OS	DET	20	16	
R8	171	32857	84173	-3576	OS	NDET	30	12	
R8	172	32680	84023	-3609	SILEX	BP2G			
R8	175	31464	83954	-3530	QUARSITA	BP			

NIVELL	NUMERO	X	Y	Z	MATERIA	OBJECTE	ORI_EMA	PEND	OBS_UA
R8	176	31261	84068	-3525	QUARSITA	BP2G			
R8	177	31386	83524	-3478	QUARSITA	BP2G			
R8	179	33078	84424	-3557	OS	DET			TORTUGA
R8	180	33046	84453	-3556	OS	DET			TORTUGA
R8	181	33029	84339	-3555	OS	DET			TORTUGA
R8	182	32965	84478	-3514	QUARSITA	BPF			
R8	184	33066	84402	-3544	OS	NDET			
R8	185	33034	84528	-3529	OS	NDET	0	0	
R8	186	32964	84284	-3552	OS	NDET	352	28	
R8	187	32384	83977	-3561	OS	NDET			
R8	188	32334	84011	-3562	OS	DET			Q
R8	190	31344	85020	-3474	QUARSITA	BP2G			
R8	191	31498	84891	-3514	ORGANIC	CARBO			
R8	192	31677	85184	-3508	QUARSITA	BPF			
R8	193	32043	85291	-3429	OS	NDET			
R8	194	32383	84032	-3569	OS	NDET			
R8	195	31294	84098	-3536	QUARSITA	BP			
R8	196	31157	84133	-3530	QUARSITA	BP			
R8	197	31403	83860	-3538	QUARSITA	BP2G			PERDUDA
R8	199	31372	83520	-3519	QUARSITA	BP			PERDUDA
R8	200	31001	85240	-3404	SILEX	BP			
R8	201	31039	85198	-3419	QUARSITA	BP2G			
R8	202	31059	85078	-3443	SILEX	BP			
R8	203	31629	84909	-3551	QUARSITA	BP	150	10	
R8	204	31735	85323	-3373	OS	NDET			
R8	205	32557	84031	-3599	OS	NDET			
R8	206	32448	83923	-3601	OS	DET			
R8	207	32415	84034	-3587	OS	NDET			
R8	208	32426	84094	-3576	OS	NDET			Q
R8	210	32858	84293	-3610	OS	DET			2 FAL CEEL
R8	211	32995	84598	-3504	OS	NDET			Q
R8	212	31746	84056	-3520	QUARSITA	BP2G	300	4	
R8	213	31508	84260	-3517	QUARSITA	BPI	260	6	
R8	214	31355	83985	-3552	OS	NDET	40	15	
R8	215	31115	83782	-3529	OS	NDET			Q
R8	216	30943	83580	-3531	QUARSITA	BPI			
R8	217	30874	83468	-3500	QUARSITA	BP2G			
R8	218	31657	83536	-3525	OS	DET			ESC ORCU
R8	219	31151	83910	-3551	QUARSITA	BP	60	18	
R8	220	31758	83296	-3520	SILEX	BPI	311	35	
R8	221	32344	84103	-3573	SILEX	BP	310	28	
R8	222	32281	83956	-3544	SILEX	BP2G			
R8	223	32533	84006	-3604	OS	NDET			
R8	224	32456	84058	-3599	OS	NDET			
R8	225	32599	84018	-3612	OS	NDET			
R8	226	31249	85038	-3507	OS	NDET			Q
R8	227	31381	84969	-3542	OS	NDET			FRAGS
R8	228	31765	85349	-3439	OS	NDET			
R8	229	31272	84783	-3510	SILEX	BPF	310	13	
R8	230	31226	84642	-3523	QUARSITA	BP			
R8	231	31318	84654	-3524	SILEX	BP2G			
R8	232	31614	84657	-3531	OS	NDET			Q
R8	233	31565	84752	-3528	OS	NDET			
R8	234	30935	82409	-3520	OS	NDET	330	12	
R8	235	31028	82392	-3521	OS	NDET		40	
R8	236	31183	82247	-3503	SILEX	BP			
R8	237	31248	84789	-3503	OS	NDET			
R8	238	31249	84599	-3517	OS	NDET			
R8	239	31291	84508	-3509	OS	DET	30	4	
R8	240	31314	84550	-3525	OS	NDET	6	52	
R8	241	31343	84559	-3527	OS	NDET	12	75	
R8	242	31402	84539	-3552	OS	NDET			
R8	243	31446	84577	-3535	OS	NDET			
R8	244	32566	84447	-3587	QUARSITA	BP			HOGAR
R8	245	32252	84381	-3594	SILEX	BPF	58	21	HOGAR
R8	246	33036	84149	-3600	OS	NDET			
R8	247	31867	83231	-3520	SILEX	BPF			
R8	248	31319	84922	-3531	OS	DET			
R8	249	31323	84662	-3543	OS	NDET			
R8	250	31332	84637	-3551	OS	DET			MICRO
R8	251	31311	84476	-3544	OS	NDET			

NIVELL	NUMERO	X	Y	Z	MATERIA	OBJECTE	ORI_EMA	PEND	OBS_UA
R8	252	31061	84767	-3510	OS	NDET			
R8	253	31180	84686	-3549	OS	NDET	2	120	
R8	254	32064	84461	-3626	SILEX	BP	266	43	
R8	255	32095	84356	-3612	QUARSITA	BPI		44	
R8	256	32135	84350	-3614	QUARSITA	BPF			
R8	257	32605	84387	-3611	OS	NDET			
R8	258	32954	84136	-3605	OS	NDET			Q
R8	259	31790	83358	-3550	OS	NDET			Q
R8	260	31731	83444	-3532	OS	NDET			
R8	261	31654	83469	-3537	OS	NDET			
R8	262	31053	84880	-3492	SILEX	BP	6	40	
R8	263	30975	84795	-3477	OS	NDET			
R8	264	31065	84764	-3507	OS	NDET			
R8	265	32238	84349	-3637	OS	NDET			Q
R8	266	32653	84199	-3614	QUARSITA	BPF		40	
R8	267	32702	84136	-3607	OS	NDET			
R8	268	32863	84149	-3596	OS	DET			MICRO
R8	269	31674	83603	-3538	OS	NDET			
R8	270	31506	83485	-3554	OS	NDET			
R8	271	32633	84533	-3604	OS	NDET			HOGAR Q
R8	273	32776	84024	-3597	OS	NDET			
R8	274	31191	83865	-3534	OS	NDET		30	
R8	275	31020	84818	-3542	OS	NDET			
R8	276	30998	84783	-3539	OS	NDET			
R8	278	31528	83624	-3526	OS	NDET			
R8	279	30926	84942	-3487	QUARSITA	BP2G			
R8	280	32097	83934	-3552	OS	NDET			
R8	281	31736	83934	-3534	OS	NDET			
R8	282	31622	83969	-3523	SILEX	BPF	326	8	
R8	283	31912	83717	-3597	OS	NDET			
R8	284	31530	84102	-3552	QUARSITA	BP			
R8	285	31485	84086	-3545	QUARSITA	BPI			
R8	286	31460	84049	-3543	QUARSITA	BP			
R8	287	31458	84020	-3542	QUARSITA	BP2G			
R8	288	31598	84012	-3538	QUARSITA	BPI			
R8	289	31347	84877	-3546	OS	NDET	80	10	
R8	290	31314	84760	-3567	SILEX	BP			
R8	291	31243	84742	-3557	OS	NDET	240	8	
R8	292	31595	83415	-3549	OS	NDET			
R8	293	31577	83319	-3540	OS	NDET			
R8	294	31630	84062	-3549	QUARSITA	BP2G			
R8	295	31593	84069	-3555	QUARSITA	BP2G			
R8	296	31573	84035	-3553	SILEX	BP2G			
R8	297	31533	84034	-3545	QUARSITA	BP2G			
R8	298	31605	83983	-3553	SILEX	BP2G			
R8	299	31601	83963	-3548	QUARSITA	BP			PERDUDA
R8	300	31523	84053	-3553	QUARSITA	BP2G			
R8	301	31495	84141	-3551	QUARSITA	BP2G			
R8	302	31565	83895	-3553	QUARSITA	BP2G			PERDUDA
R8	303	31452	83977	-3553	OS	NDET			
R8	304	32060	83315	-3547	OS	NDET			
R8	305	31660	84487	-3563	SILEX	BP2G			
R8	306	31520	84122	-3558	QUARSITA	BP2G			
R8	307	31594	84395	-3563	QUARSITA	BP2G			
R8	308	31502	83978	-3540	QUARSITA	BP2G			
R8	309	31408	84264	-3557	QUARSITA	BP	310	68	
R8	310	31414	84340	-3542	QUARSITA	BP	22	58	
R8	312	31608	84082	-3557	OS	NDET			
R8	313	31503	83695	-3543	OS	NDET			
R8	314	31241	85470	-3544	OS	NDET			
R8	315	31578	83675	-3552	OS	NDET			
R8	316	31955	84302	-3573	SILEX	BP2G			
R8	317	31842	83955	-3569	SILEX	BP2G			
R8	318	31663	83864	-3554	OS	NDET			Q
R8	319	31369	83786	-3559	OS	NDET	280	6	Q
R8	320	31378	83913	-3553	OS	NDET	298	4	2 FRAG
R8	321	31378	83613	-3553	SILEX	BP2G			Q
R8	322	31730	84129	-3568					PERDUDA
R8	323	31325	84939	-3561	OS	NDET			
R8	324	31226	85466	-3600	OS	NDET			
R8	325	31694	84133	-3577	SILEX	BP2G			Q

NIVELL	NUMERO	X	Y	Z	MATERIA	OBJECTE	ORI_EMA	PEND	OBS_UA
R8	326	31557	83837	-3563	OS	NDET			
R8	328	31554	83900	-3555	OS	NDET			
R8	329	31830	84175	-3608	QUARSITA	BP2G			
R8	330	31747	84359	-3591	SILEX	BP2G			
R8	331	31577	84065	-3555	QUARSITA	BP2G			
R8	332	31549	84086	-3550	QUARSITA	BP2G			
R8	333	31673	84428	-3596	OS	NDET	22	3	
R8	334	31642	84074	-3548	QUARSITA	BP2G			
R8	335	31566	84076	-3580	SILEX	BP2G			
R8	336	31537	84146	-3576	QUARSITA	BP2G			
R8	337	31169	84736	-3576	OS	NDET			
R8	338	31398	84959	-3575	OS	NDET			
R8	339	31355	84816	-3578	OS	NDET			Q
R8	340	31417	84764	-3561	SILEX	BPF	80	4	Q
R8	341	31435	84651	-3584	OS	NDET			Q
R8	342	32208	84824	-3627	QUARSITA	BP2G			
R8	343	31996	84984	-3568	QUARSITA	BP2G			
R8	344	31583	84777	-3567	SILEX	BP2G			
R8	345	31773	84537	-3585	OS	NDET			
R8	346	32071	84946	-3598	OS	DET			NUCLI OSSI
R8	347	31397	83870	-3584	QUARSITA	BP2G			
R8	348	31575	83802	-3583	OS	NDET			
R8	349	31600	83564	-3576	OS	NDET			
R8	350	31687	84865	-3576	SILEX	BP			
R8	351	31793	84794	-3597					PERDUDA
R8	352	31616	83978	-3588	SILEX	BP2G			
R8	353	31489	83913	-3607	OS	NDET			
R8	354	31317	84769	-3608	OS	NDET			Q
R8	355	31402	84949	-3589	OS	NDET			Q
R8	356	31244	84735	-3615	OS	NDET			
R8	357	31301	84935	-3604	SILEX	BP2G			
R8	358	31027	84945	-3605	ORGANIC	CARBO			
R8	359	31109	84842	-3618	ORGANIC	CARBO			
R8	360	31235	84742	-3630	SILEX	BP			
R8	361	31311	84966	-3604	OS	NDET			
R8	362	31389	85081	-3577	SILEX	BP2G			
R8	363	30825	84258	-3529	QUARSITA	BPF			
R8	364	31194	83289	-3550	QUARSITA	BP			
R8	365	31407	83227	-3536	SILEX	BP			
R8	366	31869	83035	-3513	SILEX	BP2G			
R8	367	31228	84594	-3544	OS	DET	338	40	MAND ORCU
R8	368	31233	84433	-3537	OS	NDET			Q
R8	369	30939	84012	-3559	OS	NDET	300	6	Q
R8	370	31211	84615	-3576	OS	NDET			Q
R8	371	31103	84548	-3562	OS	NDET			
R8	372	31072	84413	-3539	OS	NDET			Q
R8	373	31191	84490	-3566	OS	NDET			
R8	374	31748	82708	-3512	OS	NDET			
R8	375	31709	82810	-3499	OS	NDET			
R8	376	31694	82732	-3501	OS	NDET			Q
R8	377	31350	83188	-3559	OS	NDET	26	14	
R8	378	30864	83896	-3551	OS	NDET			
R8	379	30926	83846	-3535	OS	NDET			
R8	380	30707	84156	-3565	OS	NDET			
R8	381	31065	84601	-3560	OS	NDET			Q
R8	382	31182	84383	-3576	OS	NDET			Q
R8	383	31273	84671	-3615	OS	DET			
R8	384	31602	82784	-3507	OS	NDET			
R8	385	31300	82860	-3505	OS	NDET			Q
R8	386	31232	82924	-3522	OS	NDET			
R8	387	31281	84550	-3591	SILEX	BPI			
R8	388	31214	84649	-3620	OS	DET			
R8	389	31186	84295	-3564	OS	NDET			
R8	390	31310	84365	-3546	QUARSITA	BP2G			
R8	391	31009	83878	-3549	OS	NDET			
R8	392	30937	83910	-3550	OS	NDET			
R8	393	31947	83248	-3559	OS	NDET			
R8	394	31308	84581	-3595	CALCARIA	BNA			Q
R8	395	31086	84353	-3589	OS	NDET			
R8	396	31142	84308	-3579	OS	NDET			
R8	1105	31131	84089	-3563	OS	NDET			

NIVELL	NUMERO	X	Y	Z	MATERIA	OBJECTE	ORI_EMA	PEND	OBS_UA
R8	1106	31192	84324	-3593	QUARSITA	BPI			
R8	1107	31192	84472	-3595	OS	NDET			Q
R8	1108	31293	84403	-3626	OS	DET			
R8	1109	31770	85002	-3604	OS	NDET			
R8	1110	31985	84392	-3610	OS	NDET			
R8	1112	31754	84643	-3603	OS	DET			MICRO
R8	1113	31929	84466	-3624	SILEX	BP2G			
R8	1114	31669	84310	-3605	SILEX	BP2G			
R8	1115	31845	84340	-3634	QUARSITA	BP2G			
R8	1116	31833	84367	-3637	SILEX	BPI			
R8	1117	31761	84413	-3640	OS	NDET			
R8	1118	31649	84418	-3625	CALCARIA	BP			
R8	1119	31825	84697	-3628	QUARSITA	BP2G			
R8	1120	31707	84785	-3632	OS	NDET			
R8	1121	31747	84558	-3633	OS	NDET			
R8	1122	31365	84387	-3630	OS	DET			METAPODO CARN?
R8	1123	31480	84711	-3670	OS	NDET			
R8	1124	31372	84602	-3655	OS	NDET			
R8	1125	31379	84164	-3605	OS	NDET			
R8	1126	31421	84197	-3614	QUARSITA	BP2G			
R8	1127	31458	84204	-3622	OS	NDET			PERDUDA
R8	1128	31368	84119	-3606	SILEX	BP			
R8	1129	31430	84117	-3611	QUARSITA	BP2G			
R8	1130	31612	84181	-3614	OS	DET			MICRO
R8	1131	31260	84153	-3608	OS	DET			MICRO
R8	1132	31287	84207	-3621	OS	NDET			
R8	1133	31559	84193	-3633	OS	NDET			
R8	1134	31540	84246	-3646	OS	NDET			
R8	1135	32000	84321	-3619	QUARSITA	BPI			VERTICAL
R8	1136	31853	84180	-3609	CALCARIA	BP			
R8	1137	31746	84207	-3624	OS	NDET			
R8	1138	31741	84228	-3630	QUARSITA	BP2G			
R8	1139	31931	84275	-3617	SILEX	BP2G			
R8	1140	32040	84270	-3634	QUARSITA	BPF			
R8	1141	31639	84099	-3606	QUARSITA	BP2G			
R8	1142	31725	84187	-3624	QUARSITA	BPF			
R8	1143	31688	84268	-3644	OS	NDET			
R8	1144	31881	84313	-3654	QUARSITA	BP2G			
R8	1145	31802	84289	-3661	QUARSITA	BP2G			PERDUDA
R8	1146	31769	84282	-3667	QUARSITA	BP2G			
R8	1147	31644	84206	-3656	OS	NDET			
R8	1148	31368	84039	-3620	OS	NDET			
R8	1149	31684	84134	-3651	OS	NDET			
R8	1150	31623	84163	-3662	OS	NDET			
R8	1151	31592	84180	-3671	OS	NDET			
R8	1152	30439	82972	-3461	SILEX	BPF			
R8	1153	31143	82379	-3515	QUARSITA	BP			
R8	1154	31934	82653	-3468	QUARSITA	BP			
R8	1155	31613	82351	-3528	QUARSITA	BP2G			
R8	1156	33282	84322	-3480	SILEX	BP			
R8	1157	33260	84429	-3491	SILEX	BPF			
R8	1158	33263	84353	-3485	OS	DET			MICRO
R8	1162	33385	84149	-3458					
R8	1164	31513	82861	-3520	QUARSITA	BP	24	26	
R8	1165	31289	82921	-3525	OS	NDET			
R8	1166	33359	84276	-3504	QUARSITA	BPI			CR
R8	1168	31416	82851	-3525	OS	DET	361		
R8	1169	30242	82650	-3501	OS	NDET			
R8	1171	31340	82894	-3549	OS	NDET	21		
R8	1174	33124	84452	-3626	OS	NDET	240	12	
R8	1176	32834	84326	-3634	OS	NDET	0		CR
R8	1177	30113	83275	-3468	OS	NDET			CR
R8	1178	31108	82445	-3533	SILEX	BP2G			
R8	1179	31593	82614	-3543	SILEX	BPF			Q
R8	1180	33271	84136	-3568	OS	DET	98	16	FRAGS
R8	1181	29768	83437	-3530	SILEX	BP	234	16	
R8	1182	29950	82946	-3563	SILEX	BP			
R8	1183	30162	83055	-3544	QUARSITA	BNE	302	18	
R8	1184	33405	84164	-3585	OS	NDET			
R8	1185	33235	84246	-3582	CALCARIA	BPI			
R8	1186	33422	83648	-3482	QUARSITA	BNA	60	8	

NIVELL	NUMERO	X	Y	Z	MATERIA	OBJECTE	ORI_EMA	PEND	OBS_UA
R8	1187	31035	82401	-3534	SILEX	BPF	286	90	
R8	1188	30728	85615	-3387	OS	DET			DENT
R8	1189	30699	85817	-3357	OS	NDET			
R8	1190	29826	83746	-3537	SILEX	BP			
R8	1192	30179	83458	-3587	OS	DET			MICRO
R8	1193	29989	83324	-3584	OS	NDET			
R8	1194	30147	83211	-3569	OS	NDET			
R8	1195	30326	83131	-3571	OS	NDET			
R8	1196	30034	83803	-3572	SILEX	BN2G	86	20	
R8	1197	30119	83502	-3569	QUARSITA	BP2G			
R8	1198	30237	83230	-3590	OS	NDET			
R8	1199	30557	85783	-3340	OS	NDET			
R8	1200	32153	84083	-3603	OS	NDET			
R8	1201	30809	85783	-3386	OS	NDET			Q
R8	1202	29921	83377	-3646	SILEX	BPF			
R8	1203	30294	82883	-3606	QUARSITA	BP2G			
R8	1204	30213	84241	-3531	OS	DET			REMONTA CON 1206
R8	1205	30286	82656	-3622	OS	DET			MICRO
R8	1206	30163	84210	-3549	OS	DET			REMONTA CON 1204
R8	1208	30554	82830	-3600	OS	NDET			
R8	1209	32208	85186	-3549	QUARSITA	BP2G			
R8	1210	32019	85091	-3623	SILEX	BPI			
R8	1211	32798	84537	-3669	OS	NDET			
R8	1212	32244	84669	-3650	QUARSITA	BP2G			
R8	1213	32470	84573	-3653	QUARSITA	BP2G			
R8	1214	30253	84813	-3481	SILEX	BPF		30	
R8	1215	30138	84726	-3493	SILEX	BP2G	350	20	
R8	1217	32595	84572	-3665	QUARSITA	BP2G			
R8	1218	32562	84632	-3660	QUARSITA	BP2G			
R8	1219	32369	84573	-3663	QUARSITA	BP2G			
R8	1220	29126	82937	-3505	OS	NDET	254	4	
R8	1221	30258	84801	-3481	OS	NDET			
R8	1222	32368	84651	-3665	QUARSITA	BP2G			
R8	1223	30120	84626	-3530	SILEX	BP2G			
R8	1224	29015	83765	-3347	QUARSITA	BP2G			
R8	1225	29060	83807	-3342	QUARSITA	BP2G			
R8	1227	32447	85044	-3583	OS	NDET			
R8	1228	28856	83218	-3442	OS	NDET			
R8	1229	32508	84849	-3697	OS	DET			DIENTE MICRO
R8	1230	32316	84944	-3659	OS	NDET			
R8	1231	29163	84100	-3335	OS	NDET			
R8	1232	29121	84100	-3332	OS	NDET			
R8	1233	29149	84182	-3357	OS	NDET			
R8	1234	29122	84109	-3344	OS	NDET			
R8	1235	29159	84168	-3355	OS	NDET	180	28	
R8	1236	29242	83216	-3544	OS	NDET			
R8	1237	29165	83927	-3447	OS	NDET			
R8	1238	29171	83307	-3551	OS	NDET			
R8	1239	29061	83717	-3446	OS	NDET			
R8	1240	29063	83904	-3443	OS	NDET			
R8	1241	29334	83205	-3587	OS	NDET			
R8	1242	30599	85586	-3488	OS	NDET			
R8	1243	30499	85504	-3494	QUARSITA	BP2G			
R8	1244	32929	84424	-3694	OS	NDET			
R8	1245	31111	83004	-3525	OS	NDET			Q
R8	1246	29735	84544	-3607	SILEX	BN2G			FRAG
R8	1247	29916	84490	-3606	OS	NDET			
R8	1248	29397	83876	-3537	OS	NDET			
R8	1249	29454	83782	-3551	OS	DET			
R8	1250	31140	83056	-3534	OS	NDET			
R8	1251	31088	82972	-3525	OS	NDET			Q
R8	1253	29701	84020	-3558	QUARSITA	BPF			
R8	1254	31206	83010	-3551	OS	NDET			Q
R8	1255	29510	83888	-3566	OS	DET			
R8	1256	31273	83990	-3598	OS	NDET			Q
R8	1257	31255	84005	-3599	SILEX	BP			Q
R8	1258	31198	83887	-3599	OS	NDET			Q
R8	1259	31114	82979	-3580	QUARSITA	BP2G			
R8	1260	29483	82802	-3623	OS	NDET			
R8	1261	29702	85381	-3398	OS	NDET			
R8	1262	31421	83133	-3601	OS	DET			VERTEBRA

NIVELL	NUMERO	X	Y	Z	MATERIA	OBJECTE	ORI_EMA	PEND	OBS_UA
R8	1263	30073	84106	-3567	SILEX	BP2G	342	20	
R8	1264	31345	83166	-3586	OS	DET			REMONTA AMB 1262
R8	1265	31349	83111	-3598	OS	DET			
R8	1268	33289	84276	-3620	OS	NDET			
R8	1269	31336	83106	-3622	OS	DET			ESCAPULA
R8	1270	33357	84107	-3632	SILEX	BP2G			
R8	1271	31795	83996	-3663	OS	DET			VTBR MTM FRAG Q
R8	1272	31766	84019	-3681	OS	NDET			Q
R8	1273	31811	84064	-3702	OS	NDET			Q
R8	1274	32369	82907	-3414	QUARSITA	BNE	318	17	
R8	1275	32267	82558	-3433	SILEX	BP2G			
R8	1276	32265	82392	-3455	SILEX	BP2G			
R8	1277	31551	83097	-3593	OS	NDET			
R8	1278	33578	84075	-3590	OS	NDET			ORCU
R8	1279	32309	82895	-3424	OS	NDET			
R8	1280	32347	82764	-3413	SILEX	BP			
R8	1281	32288	82706	-3443	SILEX	BP			
R8	1283	33459	83755	-3541	OS	NDET			Q
R8	1284	31717	83122	-3596	OS	NDET			
R8	1285	31609	83057	-3613	OS	NDET			
R8	1286	31597	83119	-3600	OS	DET			
R8	1287	32301	82942	-3430	OS	NDET			
R8	1288	32387	82817	-3441	QUARSITA	BP			
R8	1289	31638	83812	-3696	OS	DET			Q
R8	1290	31731	83773	-3691	OS	DET			Q
R8	1291	31705	83150	-3598	OS	DET			
R8	1292	31788	83068	-3568	SILEX	BP			
R8	1293	33095	84177	-3650	SILEX	BPF	310	6	REMONTA 1310
R8	1294	31650	83922	-3713	OS	DET	328	0	Q
R8	1295	31596	83960	-3705	OS	NDET	0	0	
R8	1297	32441	83058	-3452	SILEX	BP			
R8	1298	31920	84015	-3715	SILEX	BP2G			
R8	1299	31845	84103	-3730	OS	DET			
R8	1300	31860	83945	-3724	OS	DET			
R8	1301	32451	82931	-3442	SILEX	BP	64	10	
R8	1302	31550	83916	-3724	SILEX	BN2G	290	4	Q
R8	1303	32460	82778	-3435	OS	NDET			Q
R8	1304	32455	82753	-3426	OS	NDET			Q
R8	1305	33049	82702	-3360	SILEX	BP2G			
R8	1306	33043	82617	-3360	OS	NDET			
R8	1307	33176	82545	-3356	OS	NDET			Q
R8	1308	32456	82904	-3440	OS	NDET			
R8	1309	32548	82934	-3396	SILEX	BP			
R8	1310	33437	84196	-3677	SILEX	BPF			REMONTA 1293
R8	1311	31809	84043	-3741	SILEX	BP2G			
R8	1312	31967	84076	-3761	OS	DET	172	14	
R8	1313	33170	83889	-3673	OS	NDET	84	20	
R8	1314	33139	83891	-3675	OS	NDET	314	18	
R8	1315	32028	82227	-3565	OS	NDET			
R8	1316	33640	82823	-3316	OS	NDET			
R8	1317	32695	84377	-3683	OS	NDET			
R8	1318	32772	84329	-3659	OS	NDET			
R8	1319	32651	83812	-3625	QUARSITA	BP2G			
R8	1320	33311	82400	-3354	QUARSITA	BPF			
R8	1321	32555	84018	-3646	QUARSITA	BP2G			
R8	1322	32632	84339	-3695	OS	NDET			
R8	1323	32836	82620	-3362	SILEX	BP2G			
R8	1324	32354	84243	-3701	SILEX	BP2G			
R8	1325	32956	83048	-3382	SILEX	BP2G			
R8	1326	32955	82946	-3371	SILEX	BP2G			
R8	1327	32584	82527	-3402	SILEX	BP2G			
R8	1328	32823	82380	-3397	SILEX	BP2G			
R8	1329	32946	82991	-3372	OS	NDET			Q
R8	1330	32440	82570	-3401	OS	NDET			FRAGS
R8	1331	32601	84477	-3717	OS	NDET			
R8	1332	32506	84438	-3730	OS	DET			2 FRAGS
R8	1333	32431	82559	-3404	OS	NDET			2 FRAGS
R8	1334	32456	82581	-3408	SILEX	BP2G			
R8	1335	32479	84166	-3718	SILEX	BP2G			
R8	1337	32431	82249	-3430	QUARSITA	BP2G			
R8	1338	32392	82257	-3439	SILEX	BP2G			

NIVELL	NUMERO	X	Y	Z	MATERIA	OBJECTE	ORI_EMA	PEND	OBS_UA
R8	1339	32366	82266	-3444	SILEX	BP2G	36		
R8	1340	32397	82834	-3504	OS	NDET			
R8	1341	32575	82980	-3451	OS	NDET			Q
R8	1342	32612	82981	-3443	OS	NDET			Q
R8	1343	33127	82749	-3345	SILEX	BP2G			
R8	1344	32746	83256	-3432	SILEX	BP2G			
R8	1345	32508	84099	-3712	QUARSITA	BP2G			
R8	1346	32331	84088	-3714	OS	NDET			
R8	1347	32541	83822	-3695	OS	NDET			
R8	1348	32477	83805	-3682	OS	NDET			
R8	1349	31722	83745	-3708	OS	DET	44	26	
R8	1350	32198	84085	-3736	SILEX	BP2G			
R8	1351	32411	84077	-3728	OS	NDET			
R8	1352	32431	84062	-3736	OS	NDET			
R8	1353	32317	83969	-3748	OS	NDET			
R8	1354	32350	83993	-3739	OS	NDET			
R8	1355	32714	84204	-3713	OS	NDET			
R8	1356	32148	84082	-3732	OS	NDET			
R8	1357	32433	84092	-3744	OS	DET			
R8	1358	32423	84055	-3741	OS	NDET			
R8	1359	32440	84007	-3742	OS	DET	265	8	
R8	1360	32689	84233	-3713	OS	NDET			
R8	1361	32948	83174	-3485	OS	NDET			
R8	1363	32577	83020	-3497	OS	NDET			
R8	1364	32531	82920	-3488	SILEX	BP2G			PERDUDA
R8	1366	32853	82205	-3428	SILEX	BP			
R8	1367	32469	84366	-3753	OS	NDET			
R8	1368	32630	84202	-3732	OS	NDET			
R8	1369	31782	83732	-3711	OS	NDET			
R8	1370	32715	83496	-3588	OS	DET	284	30	
R8	1371	31695	83878	-3735	OS	DET			FRAG CRANEO
R8	1372	31917	83446	-3590	SILEX	BP			
R8	1373	32858	83138	-3527	OS	NDET			
R8	1374	32952	83155	-3512	OS	NDET			
R8	1375	32766	82614	-3531	SILEX	BP			
R8	1376	32045	83464	-3588	OS	NDET			FRAGS MICRO
R8	1377	31956	83376	-3587	OS	NDET			
R8	1378	32916	84136	-3675	SILEX	BP2G			
R8	1379	32946	84302	-3679	OS	NDET			MICRO
R8	1380	32991	84380	-3680	OS	DET			
R8	1382	32550	83179	-3512	OS	NDET			
R8	1383	32503	83109	-3520	OS	NDET			
R8	1384	32495	83035	-3518	OS	NDET			
R8	1385	30979	83630	-3589	QUARSITA	BNA			
R8	1386	31967	83321	-3589	OS	NDET			
R8	1387	32029	83643	-3617	OS	NDET			2 FRAGS
R8	1388	32559	83192	-3517	OS	NDET			
R8	1389	32476	83030	-3516	OS	NDET			
R8	1390	32802	84271	-3743	OS	NDET	166	18	
R8	1391	31617	83311	-3613	OS	DET	344	6	TIBIA
R8	1392	31440	83616	-3659	SILEX	BP2G			
R8	1393	31571	83377	-3616	OS	NDET			
R8	1394	32827	84372	-3726	OS	NDET			
R8	1395	32890	84296	-3726	OS	NDET	16	8	
R8	1396	32746	84307	-3748	OS	NDET			
R8	1397	32766	84362	-3748	OS	NDET			
R8	1398	32808	84375	-3733	OS	NDET			PERDUDA
R8	1399	31831	83625	-3666	OS	NDET			
R8	1400	31852	83607	-3654	OS	NDET			Q
R8	1401	31891	83591	-3637	OS	NDET			
R8	1402	32720	84394	-3772	OS	NDET			
R8	1403	31849	83626	-3663	OS	NDET			
R8	1404	33055	83983	-3706	OS	NDET			
R8	1405	32057	83764	-3658	OS	NDET			
R8	1406	31395	83658	-3675	OS	NDET			
R8	1407	31909	83617	-3653	OS	NDET			
R8	1408	31960	83558	-3636	OS	NDET			
R8	1409	31862	83495	-3624	OS	NDET			
R8	1410	32746	84161	-3756	OS	NDET			
R8	1411	32832	84403	-3750	OS	NDET			
R8	1412	32859	84357	-3737	OS	NDET			

NIVELL	NUMERO	X	Y	Z	MATERIA	OBJECTE	ORI_EMA	PEND	OBS_UA
R8	1413	32796	84131	-3754	OS	NDET			
R8	1414	31834	83604	-3659	OS	NDET			
R8	1415	31924	83607	-3650	OS	NDET			Q
R8	1416	33018	83325	-3517	OS	NDET			
R8	1417	33045	83295	-3499	OS	NDET			
R8	1418	33035	83246	-3477	OS	NDET			
R8	1419	33022	83220	-3465	OS	NDET			
R8	1420	32991	83210	-3485	OS	NDET			
R8	1421	32963	83376	-3547	OS	NDET			
R8	1422	32944	83333	-3528	OS	NDET			
R8	1423	32920	83318	-3529	OS	NDET			
R8	1424	33012	83247	-3489	OS	NDET			
R8	1425	32999	83220	-3487	OS	NDET			
R8	1426	33093	83209	-3472	OS	NDET			
R8	1427	33130	83134	-3459	OS	NDET			
R8	1428	33018	83985	-3727	QUARSITA	BNA			
R8	1429	32014	83704	-3668	OS	NDET			
R8	1430	31975	83650	-3651	OS	DET			DIENTE
R8	1431	32756	84220	-3782	SILEX	BP2G			
R8	1432	31990	83653	-3670	OS	DET			DIENTE
R8	1433	31961	83588	-3653	OS	NDET			
R8	1434	31890	83608	-3659	OS	NDET			
R8	1435	31699	83367	-3656	SILEX	BPF	22	4	LAMINA
R8	1436	31849	83313	-3632	SILEX	BP2G			
R8	1437	31988	83705	-3678	OS	NDET			
R8	1438	32867	83839	-3693	OS	DET	70	0	FEMUR
R8	1439	31507	83352	-3664	SILEX	BP2G			
R8	1440	31652	83413	-3649	SILEX	BP2G			
R8	1441	31625	83359	-3660	SILEX	BP2G			
R8	1442	32966	83938	-3745	OS	NDET			
R8	1443	32810	84028	-3771	OS	NDET			
R8	1444	32835	84055	-3770	OS	NDET			
R8	1445	32558	83199	-3532	OS	NDET			
R8	1446	32507	83140	-3526	OS	NDET			
R8	1447	33276	82701	-3403	SILEX	BP2G			
R8	1448	31769	83397	-3657	OS	NDET			
R8	1449	31413	83645	-3686	SILEX	BP2G			
R8	1450	31498	83541	-3660	SILEX	BP2G			
R8	1451	32162	83306	-3550	OS	DET		90	VERTICAL MAND MICRO
R8	1511	31687	84465	-3693	OS	DET			
R8	1512	31762	84247	-3679	OS	NDET			
R8	1513	32024	84652	-3691	SILEX	BP2G			
R8	1514	32009	84727	-3708	OS	NDET			
R8	1515	31440	84274	-3669	OS	NDET			
R8	1516	31482	84094	-3672	SILEX	BP2G			Q
R8	1517	31688	84706	-3731	OS	DET			MICRO
R8	1518	31494	84064	-3680	SILEX	BP2G			Q
R8	1519	31340	84278	-3648	OS	NDET			
R8	1520	32015	84411	-3692	OS	NDET			Q
R8	1521	31818	84199	-3711	SILEX	BP			Q
R8	1522	31201	84749	-3650	SILEX	BP			
R8	1523	31092	84330	-3617	QUARSITA	BP2G			
R8	1524	31155	84510	-3656	OS	NDET			Q
R9	1	33445	84904	-3542	SILEX	BP			
R9	2	32580	85003	-3575	OS	NDET			
R9	3	33144	84766	-3657	SILEX	BP	0		
R9	4	33533	84742	-3663	SILEX	BPI			FRAG
R9	5	33351	84692	-3676	SILEX	BP2G			
R9	6	33033	84406	-3701	OS	NDET			
R9	7	32975	84835	-3757	OS	DET			DENT
R9	8	33253	84842	-3745	SILEX	BP2G			
R9	9	33190	84751	-3745	QUARSITA	BNA			
R9	10	33343	84651	-3730	QUARS	BPF			
R9	11	33517	84762	-3714	SILEX	BP			
R9	12	33422	84686	-3721	SILEX	BP			
R9	13	33326	84669	-3733					PERDUDA
S1	1	26751	87512	-3488	OS	DET			
S1	2	27421	87604	-3467	OS	DET			LLARG
S1	3	27709	87579	-3480	OS	NDET			
S1	33	26557	87668	-3342	OS	NDET			
S1	34	26481	87685	-3334	OS	NDET	9	14	

NIVELL	NUMERO	X	Y	Z	MATERIA	OBJECTE	ORI_EMA	PEND	OBS_UA
S1	35	26521	87681	-3332	OS	NDET			
S1	41	26421	87703	-3364	OS	NDET			
S2	202	28923	86042	-3428	QUARSITA	BP	58	0	
S2	205	28747	85673	-3382	QUARSITA	BPF	24	80	
S2	208	28553	84847	-3413	OS	NDET	88	14	
S2	209	28477	84750	-3450	QUARSITA	BN1G	32	14	
S2	210	27964	84852	-3473	SILEX	BP2G	70	6	
S2	211	28015	84731	-3489	SILEX	BP2G	24	6	
S2	212	27836	84775	-3466	CALCARIA	BP	107	12	
S3	94	28109	86049	-3825	OS	NDET	24	14	
S3	95	28140	85917	-3845	OS	NDET	39	10	
S3	96	28070	85845	-3881	OS	DET			FEMUR DIST ORCU
S3	97	27974	84821	-3989	QUARSITA	BP	230	10	
S3	98	27446	85075	-3900	SILEX	BN1G	142	9	
S2	219	27516	86496	-3690	CALCARIA	BP			
S3	99	27647	85054	-3933	CALCARIA	BP	290	34	
S2	221	27096	87327	-3619	OS	DET			
S2	222	27065	87381	-3594	OS	DET	28	14	TIB CEEL REM 223,225,226
S2	223	27132	87415	-3596	OS	DET	62	8	TIB CEEL REM 222,225,226
S2	224	27102	87361	-3625	OS	DET			COSTILLA
S2	225	27115	87429	-3594	OS	DET	38	20	TIB CEEL REM 222,223,226
S2	226	27052	87398	-3586	OS	DET	38	20	TIB CEEL REM 222,223,225
S2	227	26632	87571	-3487	OS	NDET			
S2	228	26873	87456	-3569	OS	NDET			
S2	229	27066	87448	-3582	OS	NDET			
S2	230	27159	87452	-3611	OS	NDET			
S2	231	27362	87385	-3606	OS	NDET			
S2	232	27391	87397	-3643	OS	NDET	48	8	
S3	100	28725	86427	-3925	QUARSITA	BP	352	4	
S2	236	26287	87289	-3448	OS	NDET			
S3	101	28699	86872	-3852	QUARSITA	BPI			
S3	102	29233	86737	-3854	OS	DET			PELVIS ORCU
S2	239	27282	87544	-3549	OS	NDET	344	14	
S2	240	27558	87675	-3501	OS	NDET			
S3	1	26954	86642	-3680	OS	NDET	80	10	VERTICAL DE LADO
S3	2	26957	86422	-3687	QUARSITA	BP	100	18	
S3	4	27086	86717	-3669	QUARSITA	BP2G			
S3	5	26683	86433	-3617	QUARSITA	BPI			
S3	6	26977	86209	-3702	QUARSITA	BPI	76	2	
S3	8	26641	86200	-3636	OS	NDET	22	33	Q
S3	9	26931	85819	-3735	QUARSITA	BPF			
S3	10	27972	86600	-3854	OS	NDET	104	24	Q
S3	11	26284	86078	-3567	CALCARIA	BPI	360	10	
S3	12	26320	86245	-3557	QUARSITA	BP2G			
S3	13	26660	86560	-3635	QUARSITA	BP2G			
S3	15	27218	86298	-3746	QUARSITA	BPI	106	14	
S3	16	27423	86162	-3787	QUARSITA	BP2G	0		
S3	17	27544	86355	-3784	QUARSITA	BP			
S3	18	28246	86145	-3899	OS	NDET			
S3	19	26537	86620	-3597	QUARSITA	BP	108	19	
S3	20	26981	86165	-3743	QUARSITA	BP	212	15	
S3	21	27758	85850	-3866	OS	DET	116	4	HUESO COOL
S3	22	26511	86583	-3596	QUARSITA	BP	211	21	
S3	23	27763	85729	-3880	QUARSITA	BP2G			
S3	24	28262	86435	-3908	OS	DET			PELVIS ORCU
S3	25	28480	85854	-3950	OS	NDET			
S3	26	28079	86365	-3975	QUARSITA	BP			
S3	27	28243	86269	-3937	OS	DET			VERTEBRA ORCU
S3	28	28091	85878	-3974	OS	NDET			
S3	29	28070	85769	-3972	SILEX	BPI			
S3	30	28393	86068	-4007	OS	NDET	240	13	
S3	36	25962	86589	-3460	SILEX	BP2G	90	1	
S3	37	27865	85743	-3963	QUARSITA	BPF	260	10	
S3	38	28195	85919	-3991	QUARSITA	BP2G			
S3	39	28736	86097	-4021	QUARSITA	BP2G			
S3	40	28887	86147	-3961	OS	NDET	230	12	
S3	42	28115	85620	-3986	QUARSITA	BPF			

NIVELL	NUMERO	X	Y	Z	MATERIA	OBJECTE	ORI_EMA	PEND	OBS_UA
S3	43	26172	86535	-3496	OS	NDET	172	4	
S3	44	28478	85449	-3982	QUARSITA	BPI	330	12	
S3	45	28231	85853	-4051	QUARSITA	BP2G			
S3	46	26457	86593	-3620	OS	NDET			
S3	47	28307	85409	-4009	SILEX	BPI			
S3	48	27715	85715	-3898	OS	NDET	292	16	
S3	49	28424	85444	-4013	CALCARIA	BPI			
S3	50	27708	85605	-3946	OS	NDET	220	12	
S3	51	27755	85643	-3944	OS	NDET			
S3	52	27680	85659	-3944	OS	NDET	210	8	
S3	53	27682	85731	-3924	OS	DET	226	8	FEM DIST I TIB PROX JUV
S3	54	27671	85691	-3944	OS	NDET	340	360	
S3	55	28370	85082	-4013	QUARSITA	BPF			
S3	56	28414	85319	-4051	QUARSITA	BP2G			
S3	57	28254	85419	-4059	QUARSITA	BP2G			
S3	59	27457	85635	-3894	OS	NDET			
S3	60	27544	85590	-3928	OS	DET			VERT ORCU?
S3	61	28137	85916	-4034	OS	NDET			
S3	62	26968	86065	-3754	OS	NDET	314	6	
S3	63	26948	86356	-3769	QUARSITA	BP	68	12	
S3	64	27484	86151	-3811	SILEX	BN1G			FRAG DENT
S3	65	27438	86072	-3832	OS	DET			
S3	66	27380	86170	-3798	OS	NDET	140	12	
S3	68	27119	86236	-3771	QUARSITA	BPI	270	20	
S3	69	27037	86285	-3768	OS	NDET			
S3	70	28404	85901	-4076	OS	NDET			
S3	71	27125	86237	-3776	QUARSITA	BPI			
S3	72	27150	86200	-3793	QUARSITA	BN2G			
S3	73	27600	85602	-3941	OS	DET			FEMUR MICRO?
S3	74	26629	85358	-3759	OS	NDET			
S3	75	26720	85341	-3768	OS	NDET	310	2	
S3	77	26784	85176	-3804	OS	NDET			
S3	78	26760	85158	-3805	OS	NDET			
S3	79	26758	85278	-3784	OS	NDET			
S3	81	26512	84991	-3739	OS	NDET			
S3	82	26591	85220	-3790	OS	NDET			
S3	83	26722	85135	-3813	OS	NDET			
S3	84	26727	85234	-3819	OS	NDET			
S3	85	26684	85426	-3758	OS	NDET			
S3	86	26699	85037	-3834	OS	NDET			
S2	241	26744	87686	-3505	OS	NDET			LLARG
S2	242	27439	87415	-3670	OS	NDET			
S3	89	28640	86521	-3963	OS	NDET	356	8	
S3	90	28688	86746	-3982	QUARSITA	BPI			
S3	91	29013	86939	-3916	QUARSITA	BP			
S3	92	28662	86698	-4009	OS	NDET	64	12	
S3	93	28869	86839	-4002	OS	NDET			Q
SR3	1	33825	83364	-2681	CALCARIA	BP		8	
SR3	2	33803	82866	-2660	SILEX	BP		32	
N10	506	37910	82812	-3275	OS	NDET			
N10	507	37952	82769	-3280	OS	NDET			
N10	508	37689	82059	-3303	QUARSITA	BP			
N10	509	37697	82152	-3273	SILEX	BPF			
N10	510	37728	82204	-3283	SILEX	BPF			
N10	511	38500	83113	-3209	OS	NDET			
N10	512	37894	81645	-3271	SILEX	BP			
N10	513	38090	81729	-3267	OS	NDET			
N10	514	37778	82202	-3303	OS	NDET			
N10	515	38492	82741	-3192	OS	NDET			
N10	516	37881	81644	-3278	QUARSITA	BP			
N10	517	37946	81695	-3268	OS	NDET			
N10	518	38022	81703	-3271	OS	NDET			
N10	519	38047	81774	-3286	SILEX	BPI	44	28	
N10	520	38233	83061	-3254	OS	NDET			
N10	521	38511	83048	-3252	LITIC	BNE			
N10	522	37959	81702	-3276	OS	NDET			
N10	523	37808	81810	-3288	OS	NDET			
N10	524	37890	81686	-3281	OS	NDET			
N10	525	37893	82761	-3289	OS	DET			
N10	526	38019	81775	-3309	SILEX	BP2G			

NIVELL	NUMERO	X	Y	Z	MATERIA	OBJECTE	ORI_EMA	PEND	OBS_UA
N8	321	36800	83059	-2586	SILEX	BN2G	178	26	
N8	322	36448	82646	-2636	QUARSITA	BP			
N8	323	36411	82576	-2636	QUARSITA	BP			
N8	324	36589	82534	-2611	QUARSITA	BP2G			
R8	1452	31327	83616	-3681	OS	NDET			
R8	1453	32177	83971	-3730	OS	NDET			
R8	1454	32357	83899	-3732	OS	NDET			
R8	1455	32968	83261	-3535	OS	NDET			
R8	1456	33429	83331	-3479	OS	NDET			
R8	1457	31941	82551	-3608	OS	NDET			
R8	1458	32264	83003	-3573	SILEX	BP2G	1	6	
R8	1459	33161	83464	-3565	OS	NDET			
R8	1460	33261	83448	-3574	OS	NDET			
R8	1461	33103	83275	-3575	OS	NDET			
R8	1462	32626	82066	-3524	SILEX	BN2G			
R8	1463	33354	82458	-3472	LITIC	BNA			
R8	1464	33137	82744	-3465	LITIC	BNA			
R8	1465	32958	83552	-3618	OS	NDET			
R8	1466	33054	83629	-3603	OS	NDET			
R8	1467	32799	83520	-3638	OS	NDET			
R8	1468	32816	83582	-3659	OS	DET			
R8	1469	33277	83521	-3624	SILEX	BP2G			
N10	527	38061	81973	-3273	SILEX	BPF			
N10	528	38303	81916	-3295	OS	DET			
N10	529	37920	82438	-3323	OS	NDET			
N9	16	37313	82722	-2886	OS	DET			
R8	1470	32246	83458	-3604	OS	NDET			
R8	1471	32200	83296	-3553	OS	NDET			
R8	1472	32337	83270	-3512	OS	NDET			
R8	1473	32417	83349	-3528	OS	NDET			
R8	1474	33539	82387	-3530	SILEX	BP			
R8	1475	32554	83407	-3573	OS	DET	170	26	
R8	1476	32526	83306	-3538	OS	NDET			
R8	1477	32659	83311	-3543	OS	NDET			
R8	1478	32527	83311	-3543	OS	NDET			
R8	1479	32878	83420	-3647	OS	NDET			
R8	1480	32718	83205	-3517	OS	NDET			
R8	1481	32569	83204	-3534	OS	DET	40	6	
R8	1482	32453	83275	-3540	OS	NDET			
R8	1483	32560	83286	-3536	OS	DET		90	
R8	1484	32592	83261	-3545	OS	NDET			
R8	1485	32592	83222	-3541	OS	NDET			
R8	1486	32512	83298	-3542	OS	NDET			
R8	1487	32561	83265	-3545	OS	NDET	18		
R8	1488	32745	83308	-3542	OS	NDET			
R8	1489	32521	83303	-3544	OS	NDET			
R8	1490	32606	83223	-3562	OS	NDET			
R8	1491	32545	83298	-3546	OS	NDET			
R8	1492	32527	83289	-3544	OS	NDET			
R8	1493	32446	83252	-3562	OS	NDET			
R8	1494	32542	83199	-3567	OS	NDET			
R8	1495	32557	83277	-3547	OS	NDET	100		
R8	1496	32533	83238	-3548	OS	NDET			
R8	1497	32619	83288	-3555	OS	NDET	300		
R8	1498	32742	83268	-3617	PIZARRA				
R8	1499	32552	83280	-3547	OS	NDET			
N10	530	37819	82650	-3279	SILEX	BP2G			
N10	531	37838	82969	-3284	OS	NDET			
N10	532	38079	83031	-3339	QUARSITA	BP			
N8	325	36549	82741	-2590	QUARSITA	BP			
N8	326	36532	82790	-2614	QUARSITA	BP2G			
N8	327	36520	82786	-2616	QUARSITA	BP2G			
N8	328	36536	82861	-2618	QUARSITA	BP			
N8	329	36397	82816	-2612	QUARSITA	BP2G			
N8	330	36441	82885	-2621	QUARSITA	BPF			
N8	331	36517	82901	-2604	QUARSITA	BP2G			
N8	332	36376	82848	-2621	QUARSITA	BP2G			
N8	333	36503	82882	-2606	QUARSITA	BP2G			
N8	334	36582	82764	-2585	QUARSITA	BP2G			
N8	335	36578	82742	-2593	QUARSITA	BP			
N8	336	36490	82847	-2620	QUARSITA	BP			

NIVELL	NUMERO	X	Y	Z	MATERIA	OBJECTE	ORI_EMA	PEND	OBS_UA
N8	337	36461	82841	-2623	QUARSITA	BP			
N8	338	36515	82819	-2626	QUARSITA	BP2G			
N8	339	36535	82788	-2615	QUARSITA	BP2G			
N8	340	36466	82762	-2585	QUARSITA	BP2G			
N8	341	36480	82786	-2600	QUARSITA	BP2G			
N8	342	36414	82864	-2617	QUARSITA	BP2G			
N8	343	36423	82845	-2616	QUARSITA	BP2G			
N8	344	36433	82785	-2569	QUARSITA	BP2G			
N8	345	36438	82760	-2565	QUARSITA	BP2G			
N8	346	36351	82851	-2623	QUARSITA	BP2G			
N8	347	36503	82731	-2571	QUARSITA	BP			
N8	348	36606	82700	-2590	QUARSITA	BP			
N8	349	36471	82902	-2623	QUARSITA	BP2G			
N8	350	36449	82917	-2627	QUARSITA	BP2G			
N8	351	36561	82696	-2614	QUARSITA	BP			
N8	352	36501	82670	-2605	QUARSITA	BP2G			
N8	353	36516	82693	-2603	QUARSITA	BP2G			
N8	354	36415	82853	-2619	QUARSITA	BP2G			
N8	355	36493	82684	-2605	QUARSITA	BP2G			
N8	356	36379	82908	-2614	QUARSITA	BP2G			
N8	357	36359	82847	-2622	QUARSITA	BP2G			
N8	358	36342	82839	-2619	QUARSITA	BP2G			
N8	359	36495	82647	-2609	QUARSITA	BP2G			
N8	360	36496	82667	-2602	QUARSITA	BP2G			
N8	361	36485	82672	-2603	QUARSITA	BP2G			
N8	362	36446	82683	-2604	QUARSITA	BP2G			
N8	363	36417	82702	-2598	QUARSITA	BP2G			
N8	364	36515	82639	-2609	QUARSITA	BP2G			
N8	365	36565	82690	-2611	QUARSITA	BP2G			
N8	366	36534	82812	-2627	QUARSITA	BP2G			
N8	367	36171	82730	-2639	QUARSITA	BP2G			
N8	368	36329	82827	-2627	QUARSITA	BP2G			
N8	369	36328	82811	-2628	QUARSITA	BP2G			
N8	370	36338	82797	-2630	QUARSITA	BP2G			
N8	371	36322	82786	-2625	QUARSITA	BP2G			
N8	372	36347	82758	-2619	QUARSITA	BP2G			
N8	373	36306	82843	-2627	QUARSITA	BP2G			
N8	374	36324	82852	-2623	QUARSITA	BP2G			
N8	375	36503	82837	-2626	QUARSITA	BP2G			
N8	376	36526	82784	-2619	QUARSITA	BP2G			
N8	377	36524	82668	-2621	QUARSITA	BP2G			
N8	378	36561	82626	-2614	QUARSITA	BP2G			
N8	379	36508	82632	-2639	QUARSITA	BP2G			
N8	380	36236	82822	-2629	QUARSITA	BP2G			
N8	381	36310	82837	-2627	QUARSITA	BP2G			
N8	382	36203	82906	-2661	QUARSITA	BP2G			
N8	383	36221	82949	-2650	QUARSITA	BP2G			
N8	384	36261	82878	-2637	QUARSITA	BP2G			
N8	385	36369	82988	-2622	QUARSITA	BP2G			
N8	386	36385	82803	-2614	QUARSITA	BP2G			
N8	387	36409	82814	-2611	QUARSITA	BP2G			
N8	388	36365	82979	-2621	QUARSITA	BP2G			
N8	389	36186	82877	-2657	QUARSITA	BP2G			
N8	390	36372	82844	-2622	QUARSITA	BP2G			
N8	391	36319	82844	-2627	QUARSITA	BP2G			
N8	392	36270	82719	-2648	QUARSITA	BP2G			
N8	393	36291	82880	-2636	QUARSITA	BP2G			
N8	394	36400	82959	-2636	QUARSITA	BP2G			
N8	395	36398	82908	-2630	QUARSITA	BP2G			
N8	396	36356	82799	-2615	QUARSITA	BP2G			
N8	397	36302	82878	-2639	QUARSITA	BP2G			
N8	398	36297	82914	-2648	QUARSITA	BP2G			
N8	399	36278	82967	-2655	QUARSITA	BP			
N8	400	36257	82931	-2656	QUARSITA	BP2G			
N8	401	36366	82875	-2632	QUARSITA	BP			
N8	402	36417	82916	-2627	QUARSITA	BP2G			
N8	403	36262	82746	-2642	QUARSITA	BP2G			
N8	404	36300	82779	-2629	QUARSITA	BP2G			
N8	405	36413	82822	-2614	QUARSITA	BP2G			
N8	406	36515	82667	-2625	QUARSITA	BP2G			
N8	407	36577	82672	-2599	QUARSITA	BP2G			

NIVELL	NUMERO	X	Y	Z	MATERIA	OBJECTE	ORI_EMA	PEND	OBS_UA
N8	408	36547	82683	-2612	QUARSITA	BP2G			
N8	409	36285	83000	-2651	QUARSITA	BP2G			
N8	410	36328	82747	-2651	QUARSITA	BP2G			
N8	411	36234	82720	-2651	QUARSITA	BP2G			
N8	412	36168	82721	-2654	QUARSITA	BP2G			
N8	413	36191	82732	-2664	QUARSITA	BP			
N8	414	36274	82872	-2651	QUARSITA	BP2G			
N8	415	36279	82822	-2649	QUARSITA	BP2G			
N8	416	36254	82775	-2647	QUARSITA	BP2G			
N8	417	36254	82727	-2650	QUARSITA	BP2G			
N8	418	36461	82831	-2625	QUARSITA	BP2G			
N8	419	36401	82825	-2624	QUARSITA	BP2G			
N8	420	36324	82792	-2633	QUARSITA	BP2G			
N8	421	36503	82943	-2620	QUARSITA	BP			
N8	422	36237	82775	-2658	QUARSITA	BP2G			
N8	423	36312	82703	-2639	QUARSITA	BP2G			
N8	424	36313	82658	-2628	QUARSITA	BP2G			
N8	425	36598	82672	-2614	QUARSITA	BP2G			
N8	426	36559	82683	-2609	QUARSITA	BP2G			
N8	427	36406	82646	-2640	QUARSITA	BP2G			
N8	428	36384	82934	-2628	QUARSITA	BP2G			
N8	429	36439	82895	-2626	QUARSITA	BP2G			
N8	430	36560	82798	-2614	QUARSITA	BP2G			
N8	431	36615	82739	-2584	QUARSITA	BP2G			
N8	432	36335	82783	-2645	QUARSITA	BP2G			
N8	433	36345	82820	-2630	QUARSITA	BP2G			
N8	434	36354	82762	-2607	QUARSITA	BP2G			
N8	435	36375	82873	-2635	QUARSITA	BP2G			
N8	436	36409	82822	-2616	QUARSITA	BP2G			
N8	437	36434	82833	-2624	QUARSITA	BP2G			
N8	438	36234	82839	-2652	QUARSITA	BP2G			
N8	439	36252	82784	-2659	QUARSITA	BP2G			
N8	440	36239	82734	-2650	QUARSITA	BP2G			
N8	441	36238	82700	-2634	QUARSITA	BP2G			
N8	442	36356	82764	-2631	QUARSITA	BP2G			
N8	443	36365	82797	-2623	QUARSITA	BP2G			
N8	444	36411	82701	-2628	QUARSITA	BP2G			
N8	445	36592	82757	-2613	QUARSITA	BP2G			
N8	446	36608	82711	-2607	QUARSITA	BP2G			
N8	447	36588	82691	-2616	QUARSITA	BP2G			
R8	1500	32270	84461	-3772	OS	NDET			
R8	1501	32541	83342	-3582	OS	NDET			
R8	1502	32598	83362	-3578	OS	DET	145	26	
R8	1503	32508	83343	-3562	OS	NDET			
R8	1504	32504	84243	-3803	SILEX	BP2G			
R8	1505	32358	84398	-3781	OS	DET			
R8	1506	30870	83561	-3582	OS	NDET			
R8	1507	31490	83800	-3738	OS	NDET			
R8	1508	32415	83764	-3717	OS	NDET			
N8	448	36446	82772	-2626	QUARSITA	BP2G			
N8	449	36399	82794	-2627	QUARSITA	BP2G			
N8	450	36376	82750	-2632	QUARSITA	BP2G			
N8	451	36434	82752	-2631	QUARSITA	BP2G			
N8	452	36380	82700	-2628	QUARSITA	BP2G			
N8	453	36331	82708	-2631	QUARSITA	BP2G			
N8	454	36398	82675	-2638	QUARSITA	BP2G			
N8	455	36365	82641	-2632	QUARSITA	BP2G			
N8	456	36350	82699	-2622	QUARSITA	BP2G			
N8	457	36521	82819	-2621	QUARSITA	BP2G			
N8	458	36413	82630	-2582	QUARSITA	BP2G			
N8	459	36397	82745	-2635	QUARSITA	BP2G			
N8	460	36468	82659	-2615	QUARSITA	BP			
N8	461	36515	82708	-2616	QUARSITA	BP2G			
N8	462	36530	82668	-2619	QUARSITA	BP2G			
N8	463	36424	82620	-2634	QUARSITA	BP2G			
N8	464	36412	82578	-2628	QUARSITA	BP2G			
N8	465	36538	82634	-2564	QUARSITA	BP			
N8	466	36521	82604	-2627	QUARSITA	BP			
N8	467	36294	82758	-2648	QUARSITA	BP2G			
N8	468	36636	82790	-2594	QUARSITA	BP2G			
N8	469	36661	82756	-2579	QUARSITA	BP			

NIVELL	NUMERO	X	Y	Z	MATERIA	OBJECTE	ORI_EMA	PEND	OBS_UA
N8	470	36584	82639	-2627	QUARSITA	BP2G			
N8	471	36408	82851	-2642	QUARSITA	BP2G			
N8	472	36489	82945	-2618	QUARSITA	BP2G			
N8	473	36457	82937	-2624	QUARSITA	BP2G			
N8	474	36430	82975	-2641	QUARSITA	BP2G			
N8	475	36489	82920	-2617	QUARSITA	BP2G			
N8	476	36539	82874	-2624	QUARSITA	BP2G			
N8	477	36451	82874	-2626	QUARSITA	BP2G			
N8	478	36507	82900	-2612	QUARSITA	BP2G			
N8	479	36482	82722	-2617	QUARSITA	BP			
N8	480	36604	83029	-2615	QUARSITA	BP2G			
N8	481	36642	83033	-2597	QUARSITA	BP2G			
N8	482	36693	82748	-2596	QUARSITA	BP2G			
N8	483	36594	82768	-2611	QUARSITA	BP2G			
N8	484	36693	82850	-2591	QUARSITA	BP2G			
N8	485	36693	82822	-2596	QUARSITA	BP2G			
N8	486	36675	82813	-2604	QUARSITA	BP			
N8	487	36631	82798	-2619	QUARSITA	BP2G			
N8	488	36592	82851	-2598	QUARSITA	BP2G			
N8	489	36612	82808	-2606	QUARSITA	BP2G			
N8	490	36666	82758	-2601	QUARSITA	BP			
N8	491	36591	82799	-2603	QUARSITA	BP2G			
N8	492	36603	82829	-2610	QUARSITA	BPF			
N8	493	36582	82807	-2610	QUARSITA	BP			
N8	494	36611	82760	-2610	QUARSITA	BP2G			
N8	495	36518	82867	-2636	QUARSITA	BP2G			
N8	496	36504	82821	-2636	QUARSITA	BP2G			
N8	497	36534	82798	-2614	QUARSITA	BP2G			
N8	498	36601	82738	-2606	QUARSITA	BP2G			
N8	499	36579	82788	-2605	QUARSITA	BP2G			
N8	500	36679	82712	-2623	QUARSITA	BP			
N8	501	36553	82811	-2611	QUARSITA	BP2G			
N8	502	36737	83003	-2598	SILEX	BN2G			
N8	503	36660	82855	-2591	QUARSITA	BP2G			
N8	504	36614	82685	-2618	QUARSITA	BP2G			
N8	505	36651	82671	-2626	QUARSITA	BP			
N8	506	36366	82974	-2633	QUARSITA	BP2G			
N8	507	36641	82966	-2605	QUARSITA	BP2G			
N8	508	36581	82902	-2594	QUARSITA	BP2G			
N8	509	36666	82831	-2604	QUARSITA	BP			
N8	510	36697	82811	-2612	QUARSITA	BP2G			
N8	511	36765	83018	-2625	QUARSITA	BP2G			
N8	512	36293	82945	-2652	QUARSITA	BP2G			
N8	513	36336	82917	-2654	QUARSITA	BP2G			
N8	514	36587	83037	-2624	QUARSITA	BP2G			
N8	515	36247	82899	-2671	QUARSITA	BP2G			
N8	516	36464	82974	-2629	QUARSITA	BP2G			
N8	517	36519	82975	-2619	QUARSITA	BP2G			
R8	1509	32944	83735	-3723	OS	DET			
N8	518	36711	82869	-2650	QUARSITA	BP			
N8	519	36402	83028	-2654	QUARSITA	BP2G			
N8	520	36358	83002	-2663	QUARSITA	BP2G			
N8	521	36327	82882	-2681	QUARSITA	BP			
N8	522	36284	82832	-2665	QUARSITA	BP2G			
N8	523	36305	82758	-2652	QUARSITA	BP			
N8	524	36190	82708	-2649	QUARSITA	BP2G			
N8	525	36146	82902	-2688	QUARSITA	BP			
N8	526	36166	82885	-2680	QUARSITA	BP2G			
N8	527	35938	82917	-2659	QUARSITA	BP2G			
N8	528	35792	82791	-2671	QUARSITA	BP			
N8	529	35324	82443	-2767	SILEX	BP	174	22	
N8	530	36643	82853	-2654	QUARSITA	BP2G			
N8	531	36510	82685	-2618	QUARSITA	BP2G			
N8	532	36394	82844	-2666	QUARSITA	BP2G			
N8	533	36205	82843	-2670	QUARSITA	BP2G			
N8	534	36299	82908	-2680	QUARSITA	BP2G			
N8	535	36357	82932	-2677	QUARSITA	BP2G			
N8	536	36359	82996	-2665	QUARSITA	BP2G			
N8	537	36395	82994	-2663	QUARSITA	BP2G			
R8	1510	32577	83598	-3718	SILEX	BP	250		

